

# UNIVERSIDAD TÉCNICA DE MANABÍ

# FACULTAD DE CIENCIAS MATEMÁTICAS, FÍSICAS Y QUÍMICAS ESCUELA DE INGENIERÍA QUÍMICA

## TESIS DE GRADO

# PREVIO A LA OBTENCIÓN DEL TÍTULO DE: INGENIERO QUÍMICO

# MODALIDAD: TABAJO COMUNITARIO

## **TEMA:**

"REDISEÑO DE LOS SISTEMAS HIDRODINÁMICOS DIDÁCTICOS DEL LABORATORIO DE OPERACIONES UNITARIAS DE LA ESCUELA DE INGENIERÍA QUÍMICA, DE LA FACULTAD DE CIENCIAS MATEMÁTICAS, FÍSICAS Y QUÍMICAS, DE LA UNIVERSIDAD TÉCNICA DE MANABÍ"

### **AUTORES:**

Anchundia Anchundia Diego Alfredo Mora Suárez Emilia Nathaly

DIRECTOR: Ing. Rodolfo Rivadeneira Zambrano

PORTOVIEJO – MANABÍ – ECUADOR 2015

#### **DEDICATORIA**

"El futuro tiene muchos nombres. Para los débiles es lo inalcanzable. Para los temerosos, lo desconocido. Para los valientes es la oportunidad"

Víctor Hugo

El presente trabajo de tesis está dedicado:

A Dios, por regalarme la oportunidad de vivir, y fortalecerme cuando he estado a punto de caer. Quien a través del tiempo por medio de su presencia no tangible nunca me abandonó y hoy se hace presente con la culminación de un logro más.

A mis padres TOMÁS ANCHUNDIA y MERCEDES ANCHUNDIA, por darme la vida, creer en mí, apoyarme incondicionalmente en todo momento, ejemplos de superación, perseverancia y sacrificio, y por convertirse en los artífices de mi vida.

A mis hermanos MAURICIO y ADRIÁN, por estar conmigo y apoyarme siempre en cada una de mis decisiones.

A mi Familia en general por el apoyo incondicional brindado a través de los años.

A Emilia, mi amiga y compañera de tesis por brindarme su amistad sincera, su apoyo incondicional en todo el tiempo de mi formación profesional y por la confianza depositada en mi persona.

A mis Amigos y Compañeros, presentes y pasados, quienes sin esperar nada a cambio compartieron conocimientos, alegrías y tristezas; y a todas aquellas personas que estuvieron a mi lado apoyándome y lograron que este sueño se haga realidad.

Diggo Anchundia A.

#### **DEDICATORIA**

"El mundo te exige resultados. No le cuentes a otros tus dolores de parto... muéstrales al niño". Indira Gandhi

El presente proyecto de tesis se lo dedico en primer lugar a Dios, el creador, Todopoderoso y mi guía espiritual, por darme toda la salud, fuerza, paciencia y sabiduría en cada una de las adversidades y así lograr conseguir una de mis ansiadas metas, además de ponerme en el camino grandes oportunidades.

A mis padres RINA SUÁREZ RENGIFO y LUIS MORA MOREIRA por todo su amor, consejos, comprensión, apoyo y forjar mi camino desde siempre, mis ángeles en la tierra que se han esforzado por darme lo justo y necesario, por darme las herramientas indispensables para luchar en la vida. A mis hermanos por su ayuda y compañía en el momento que la necesité. A ellos mi familia les dedico uno de mis logros.

A mi enamorado JONATHAN MOREIRA, sin saber si pasará el resto de mi vida conmigo hoy le dedico ésta meta, por apoyarme, aconsejarme, comprenderme en toda esta etapa, por darme su amor sincero y absoluto.

A mi compañero de tesis y más que eso amigo por su motivación en ésta etapa de mi vida, su apoyo incondicional, sincero y desinteresado, por esto y más de verdad y sinceramente gracias DIEGO, mi hermano de corazón, además a cada una de las personas que formaron y forman parte de mi vida amigos(as), docentes y familiares, de cada uno de ellos aprendí y aprendo, a todos los que demostraron sinceridad y confianza en mí.

Emilia Mora S.

#### **AGRADECIMIENTO**

Nuestros más sinceros agradecimientos:

A Dios, por iluminar nuestro camino en cada momento, y por brindarnos sabiduría, salud y fuerza para seguir adelante a pesar de los obstáculos encontrados en el camino.

A la Universidad Técnica de Manabí, a través de la Facultad de Ciencias Matemáticas, Físicas y Químicas, Escuela de Ingeniería Química la cual nos abrió sus puertas para formarnos como profesionales competitivos y como personas de bien.

Al Sr. Vicedecano Ing. Francisco Sánchez Plaza, a nuestro Director de Tesis, Ing. Rodolfo Rivadeneira, a cada uno de los miembros del Tribunal de Revisión Ing. Iván Cisneros, Ing. Virginia Sánchez y la Ing. Alexandra Córdova; quienes a lo largo de este tiempo han puesto a prueba nuestras capacidades y conocimiento para el correcto desarrollo del presente trabajo.

A nuestros Docentes, quienes con mucha paciencia compartieron sus conocimientos profesionales dentro y fuera de las aulas de clases.

Para finalizar nuestra gratitud imperecedera a quienes de una u otra forma han sido artífices en la realización de este sueño.

Los Autores.

#### CERTIFICADO DEL DIRECTOR DE TESIS

ING. RODOLFO RIVADENEIRA ZAMBRANO, CATEDRÁTICO DE LA FACULTAD DE CIENCIAS MATEMÁTICAS, FÍSICAS Y QUÍMICAS DE LA UNIVERSIDAD TÉCNICA DE MANABÍ:

## CERTIFICA QUE:

El Sr. ANCHUNDIA ANCHUNDIA DIEGO ALFREDO y la Srta. MORA SUÁREZ EMILIA NATHALY, Egresados de la Facultad de Ciencias Matemáticas, Físicas y Químicas, han cumplido con las observaciones realizadas por los Honorables Miembros del tribunal Examinador, por lo que la presente investigación se encuentra concluida bajo los parámetros metodológicos de una tesis de grado, cuyo tema es: "REDISEÑO DE LOS SISTEMAS HIDRODINÁMICOS DIDÁCTICOS DEL LABORATORIO DE OPERACIONES UNITARIAS DE LA ESCUELA DE INGENIERÍA QUÍMICA, DE LA FACULTAD DE CIENCIAS MATEMÁTICAS, FÍSICAS Y QUÍMICAS, DE LA UNIVERSIDAD TÉCNICA DE MANABÍ". La misma que se pone a consideración de la Autoridad Competente, para su validación previo a su defensa y sustentación.

\_\_\_\_

Ing. Rodolfo Rivadeneira Zambrano
DIRECTOR DE TESIS

# CERTIFICADO DEL TRIBUNAL DE REVISIÓN

La presente Tesis de Grado titulada: "REDISEÑO DE LOS SISTEMAS HIDRODINÁMICOS DIDÁCTICOS DEL LABORATORIO DE OPERACIONES UNITARIAS DE LA ESCUELA DE INGENIERÍA QUÍMICA, DE LA FACULTAD DE CIENCIAS MATEMÁTICAS, FÍSICAS Y QUÍMICAS, DE LA UNIVERSIDAD TÉCNICA DE MANABÍ" es trabajo original del Sr. ANCHUNDIA ANCHUNDIA DIEGO ALFREDO y la Srta. MORA SUÁREZ EMILIA NATHALY; la misma que ha sido revisada, evaluada y aprobada bajo nuestra apreciación.

EMILIA NATHALY; la misma que ha sido revisada, evaluada y aprobada ba nuestra apreciación.

Para dar testimonio y autenticidad, firmamos:

\_\_\_\_\_

Ing. Iván Cisneros Pérez

#### **PRESIDENTE**

\_\_\_\_\_\_

Ing. Virginia Sánchez Mendoza

**MIEMBRO** 

Ing. Alexandra Córdova Mosquera

**MIEMBRO** 

# DECLARACIÓN SOBRE LOS DERECHOS DE AUTOR

Los autores de la presente tesis ceden todos sus derechos de autoría sobre el tema: "REDISEÑO DE LOS SISTEMAS HIDRODINÁMICOS DIDÁCTICOS DEL LABORATORIO DE OPERACIONES UNITARIAS DE LA ESCUELA DE INGENIERÍA QUÍMICA, DE LA FACULTAD DE CIENCIAS MATEMÁTICAS, FÍSICAS Y QUÍMICAS, DE LA UNIVERSIDAD TÉCNICA DE MANABÍ", a la Universidad Técnica de Manabí.

\_\_\_\_\_

Anchundia Anchundia Diego Alfredo

**AUTOR DE TESIS** 

Mora Suárez Emilia Nathaly

**AUTOR DE TESIS** 

#### **RESUMEN**

El presente proyecto de Tesis elaborado bajo la modalidad de trabajo comunitario se enfocó en el rediseño de los sistemas hidrodinámicos didácticos del Laboratorio de Operaciones Unitarias de la Facultad de Ciencias Matemáticas, Físicas y Químicas de la Universidad Técnica de Manabí. Entre los sistemas hidrodinámicos didácticos se encuentran la Unidad de Pérdidas de Presión y la Unidad de Medidora de Flujo.

Previo a la ejecución de este proyecto se realizó un diagnóstico en el que se evaluó el estado de los equipos, detectándose falencias y daños que impedían su óptimo funcionamiento, limitando la realización de prácticas experimentales referente a la Mecánica de Fluidos y Operaciones Unitarias; observándose averías, desgastes y ausencias de accesorios e instrumentos en dichos sistemas, evaluándose la eficiencia en un 60% para la Unidad de Pérdidas de Presión y un 30% para la Unidad Medidora de Flujo.

En base al diagnóstico se estableció el rediseño de los sistemas hidrodinámicos, que consistió en el reajuste, sustitución y adición de instrumentación básica y necesaria para su correcto funcionamiento. Las pruebas experimentales que se realizaron en la Unidad de Pérdidas de Presión fueron: Pérdidas de cargas por fricción y pérdidas de cargas por accesorios y determinación del diferencial de presión; en la Unidad Medidora de Flujo las experimentaciones fueron: Determinación del Caudal, Velocidad del flujo, Tipo de flujo, y velocidad de descarga de un fluido estacionario. Con el objetivo de verificar el estado actual del equipo se contrastó los resultados experimentales de los teóricos, aumentando su eficiencia en 90% y 100% respectivamente. Adicionalmente al rediseño, se realizaron Manuales de Operación y Mantenimiento con los respectivos diagramas de cada equipo.

A lo largo de este proyecto se encontrarán conceptos básicos que permitirán un mejor entendimiento de los Sistemas Hidrodinámicos, fortaleciendo el conocimiento teórico-prácticos de la población estudiantil.

#### **SUMMARY**

The present project of Thesis elaborated under the modality of community work was focused in the redesign of Didactic Hydrodynamic Systems of the Unit Operations Laboratory of the Faculty of Science Mathematics, Physics and Chemistry of the Technical University of Manabí. Among Didactic Hydrodynamic Systems are found Unit Pressure Loss and Unit Measuring Flow.

Previous to the execution of this project we did a diagnostic in which it was evaluated the state of the equipment, were detected faults and damages that impeded their optimal functioning, limiting the realization of experimental practices concerning to Fluid Mechanics and Units Operations; Observing faults, wear and absences of accessories and instruments in such systems, we evaluated the efficiency at 60% for Unit Pressure Loss and 30% for Unit Measuring Flow.

Based on the diagnostic we established the redesign of the Hydrodynamic Systems, which consisted in the readjustment, replacement, addition of basic instrumentation and necessary for correct functioning. The experimental tests realized in Unit Pressure Loss were: pressure losses of friction, pressure losses of accessories and determination of pressure differential, in the Unit Measuring experimentations were: Determination of flow, flow rate, Reynolds number, kind of flow, discharge rate of a stationary fluid. With the objective of verify the present state of equipment was contrasted the experimental results of the theoretic, increasing their efficiency at 90% and 100% respectively. Addition to redesign, we performed Operation and Maintenance Manuals with the respective diagrams of each equipment.

Along of this project will find basic concepts that will allow a better understanding of Hydrodynamic Systems, strengthening the theoretical and practical knowledge of the student population.

## **TEMA**

"REDISEÑO DE LOS SISTEMAS HIDRODINÁMICOS DIDÁCTICOS DEL LABORATORIO DE OPERACIONES UNITARIAS DE LA ESCUELA DE INGENIERÍA QUÍMICA, DE LA FACULTAD DE CIENCIAS MATEMÁTICAS, FÍSICAS Y QUÍMICAS, DE LA UNIVERSIDAD TÉCNICA DE MANABÍ"

# ÍNDICE DE CONTENIDO

DEDICATORIA	
AGRADECIMIENTO	III
CERTIFICADO DEL DIRECTOR DE TESIS	IV
CERTIFICADO DEL TRIBUNAL DE REVISIÓN	V
DECLARACIÓN SOBRE LOS DERECHOS DE AUTOR	V
RESUMEN	VII
SUMMARY	VIII
TEMA	IX
ÍNDICE DE CONTENIDO	10
ÍNDICE DE TABLAS	16
ÍNDICE DE GRÁFICOS	18
1. LOCALIZACIÓN DEL PROYECTO	20
1.1 MACROLOCALIZACIÓN	20
1.2 MICROLOCALIZACIÓN	21
2. FUNDAMENTACIÓN	22
2.1 DIAGNÓSTICO DE LA COMUNIDAD	23
2.2 IDENTIFICACIÓN DEL PROBLEMA	23
2.3 PRIORIZACIÓN DEL PROBLEMA	24
3. DELIMITACIÓN DEL PROYECTO	25
4. ANTECEDENTES	26
5. JUSTIFICACIÓN	27
6. OBJETIVOS	28

6.1 OBJETIVO GENERAI	L	28
6.2 OBJETIVOS ESPECÍF	FICOS	28
7. MARCO DE REFERENCI	A	29
7.1 Operaciones Unitarias .		29
7.1.1. Laboratorio de Opo	eraciones Unitarias	29
7.2 Mecánica de Fluidos		30
7.3 Fluidos		31
7.4 Propiedades de los Flui	idos	32
7.4.1. Densidad		32
7.4.2. Densidad relativa		32
7.4.3. Volumen específic	0	33
7.4.4. Peso específico		33
7.4.5. Viscosidad		34
7.4.6. Tensión superficia	1	34
7.4.7. Presión		35
7.5 Cauda1		35
7.5.1. Medidores de Cauc	dal	36
7.6 Ecuación de la Continu	idad	36
7.7 Ecuación General de En	nergía	37
7.7.1 Pérdida de energía 39	a de un sistema a presión de un fluido	incompresible
7.8 Regímenes de flujo de	fluidos en tuberías	40
7.8.1 Número de Reynol	lds	40
7.9 Pérdidas de cargas por	fricción en tuberías	42
7.10 Ecuación de Darcy-V	Veisbach	42

7.11 Factor de fricción de Darcy	42
7.12 Rugosidad	43
7.12.1. Rugosidad absoluta	43
7.12.2. Rugosidad relativa	44
7.13 Ecuación de Hazen – Williams	45
7.13.1 Coeficiente de rugosidad de Hazen-Williams (C)	45
7.14 Pérdidas de carga por accesorios	47
7.14.1 Ecuación fundamental de las pérdidas de carga por accesorios	47
7.14.2 Pérdidas de carga en piezas especiales	49
7.14.3 Longitud de tubería equivalente	54
7.15 Tipos de Válvulas	54
7.15.1 Válvulas de Compuerta	54
7.15.2 Válvulas de Globo	55
7.15.3 Válvulas de Bola o esférica	55
7.15.4 Válvulas de Retención (Check)	55
7.16 Bombas y sistemas de bombeo	56
7.16.1 Bombas	56
7.16.2 Clasificación de bombas	57
7.16.3 Cavitación	58
7.17 Pérdidas por fricción de tubería y por accesorios $(hf + hm)$	59
7.18 Manómetro diferencial simple	59
8. BENEFICIARIOS	61
8.1. DIRECTOS	61
8.2. INDIRECTOS	61
9. METODOLOGÍA	62

9.1 MÉTODO62
9.2 TÉCNICAS
9.2.1 Observación: 62
9.2.2 Experimentación
9.3 REDISEÑO DE LOS SISTEMAS HIDRODINÁMICOS DIDÁCTICOS 68
9.3.1 Rediseño de la Unidad de Pérdidas de Presión
9.3.2 Rediseño de la Unidad Medidora de Flujo70
9.4 DIAGRAMAS DE LOS SISTEMAS HIDRODINÁMICOS73
9.4.1. Diagrama de la Unidad de Pérdidas de Presión73
9.4.2. Diagrama de la Unidad Medidora de Flujo74
9.5 BALANCES DE MATERIA75
9.5.1 UNIDAD DE PÉRDIDAS DE PRESIÓN75
9.5.2 UNIDAD MEDIDORA DE FLUJO78
9.5.3 ÍNDICE DE COSTOS79
9.6 INSTRUMENTOS81
10. MANUALES DE OPERACIÓN Y MANTENIMIENTO SISTEMAS
HIDRODINÁMICOS82
10.1 MANUAL DE OPERACIÓN DE LA UNIDAD DE PÉRDIDAS DE
PRESIÓN82
10.2 MANUAL DE MANTENIMIENTO DE LA UNIDAD DE PÉRDIDAS
DE PRESIÓN84
10.3 MANUAL DE OPERACIÓN DE LA UNIDAD MEDIDORA DE FLUJO 85
10.4 MANUAL DE MANTENIMIENTO DE LA UNIDAD MEDIDORA DE
FLUJO 87
11. PRUEBAS EXPERIMENTALES88

11.1 PRESIÓ	PRUEBAS EXPERIMENTALES DE LA UNIDAD DE PÉRDIDAS I	
11.1.1	1. Pérdidas de carga totales	88
11.1.2	2 Carga neta positiva de succión disponible (NPSHd)	95
11.2 FLUJO	PRUEBAS EXPERIMENTALES DE LA UNIDAD MEDIDORA I 98	ЭE
11.2.1	l Tipo de flujo mediante Número de Reynolds	98
11.2.2 equipo	Velocidad del fluido de acuerdo al diámetro de reducción interno en o. 102	el
11.2.3 manó	3 Cálculo de las velocidades del fluido en las ubicaciones de metros mediante la ecuación de Bernoulli	
	4 Determinación de la velocidad de descarga (m/s) por medio de distintetros – Ley de Torricelli	
12. REC	CURSOS A UTILIZARSE	09
12.1	RECURSOS HUMANOS	09
12.2	RECURSOS OPERATIVOS	09
12.3	RECURSOS FINANCIEROS	09
13. PRE	ESENTACIÓN Y ANÁLISIS DE LOS RESULTADOS1	10
13.1	UNIDAD DE PÉRDIDAS DE PRESIÓN	10
A. R	ESULTADOS1	10
B. A	NÁLISIS DE RESULTADOS1	14
13.2	UNIDAD MEDIDORA DE FLUJO	16
A. R	ESULTADOS1	16
B. A	NÁLISIS DE RESULTADOS1	22
14. CO	NCLUSIONES Y RECOMENDACIONES1	24
1/1 1	CONCLUSIONES 1	24

14.2 RECOMENDACIONES	126
BIBLIOGRAFÍA	127
FUENTES DE INFORMACIÓN	128
ANEXOS	129
Anexo 1: Diagrama de Moody	129
Anexo 2: Propiedades Físicas del Agua (1 atm)	130
Anexo 3: Diagrama de la Unidad de Pérdidas de Presión	131
Anexo 4: Diagrama de la Unidad Medidora de Flujo	132
Anexo 5: Especificaciones de la bomba	133
Anexo 6: Cálculos de Prueba experimental Pérdidas Totales de Carga	134
Anexo 7: Guía para prácticas experimentales.	172
Anexo 8: Evidencias	185
Anexo 9: Presupuesto	198
Anexo 10: Cronograma	199

# ÍNDICE DE TABLAS

Tabla 1 : Datos estándares
Tabla 2 : Rugosidad absoluta (ε) en tubos comerciales
Tabla 3 : Valores del coeficiente de rugosidad (C) de Hazen-Williams para diferentes
materiales
Tabla 4 : Resistencia de longitud equivalente en número de diámetros de tubería
(Le/Di)
Tabla 5 : Coeficiente de resistencia K - Contracción brusca
Tabla 6 : Coeficiente de resistencia - expansión gradual
Tabla 7 : Guía de Observación de la Unidad de Pérdidas de Presión
Tabla 8: Guía de Observación de la Unidad Medidora de Flujo
Tabla 9 : Rediseño de la Unidad de Pérdidas de Presión
Tabla 10: Rediseño de la Unidad Medidora de Flujo71
Tabla 11: Mantenimiento de la Unidad de Pérdidas de Presión
Tabla 12: Mantenimiento de la Unidad Medidora de Flujo
Tabla 13: Resultados de la Trayectoria#1
Tabla 14: Resultados de la Trayectoria #2
Tabla 15: Resultados de la Trayectoria #3
Tabla 16: Resultados de la Trayectoria #4
Tabla 17: Resultados de la Trayectoria #5
Tabla 18: Resultados de la Trayectoria #6
Tabla 19: Resultados de la Trayectoria #7
Tabla 20: Resultados de la Trayectoria #8
Tabla 21: Pérdidas totales de carga de cada trayectoria
Tabla 22: Diferencia de Presión experimental y teórica de cada tramo
Tabla 23: Resultados de la Unidad Medidora de Flujo
Tabla 24: Variación del caudal del flujo
Tabla 25: Variación de la velocidad del flujo
Tabla 26: Aumento de la velocidad en función del diámetro
Tabla 27: Incremento de la Velocidad del fluido en función de la presión
manométrica. 120

Tabla 28: Variación de la velocidad de des	scarga ideal y real de un fluido hidrostático.	
	121	

# ÍNDICE DE GRÁFICOS

Gráfico 1: Universidad Técnica de Manabí	20
Gráfico 2: Laboratorio de Operaciones Unitarias	21
Gráfico 3: Comportamiento de un sólido y un fluido ante un esfuerzo cortante	31
Gráfico 4: Modificación de la rugosidad	46
Gráfico 5: Ampliación Brusca	49
Gráfico 6: Contracción Brusca	50
Gráfico 7: Expansión gradual	51
Gráfico 8: Expansión Gradual	52
Gráfico 9: Salida de una tubería	54
Gráfico 10 : Válvulas de Compuerta	55
Gráfico 11 : Válvula de globo	55
Gráfico 12 : Válvula de bola.	55
Gráfico 13 : Válvula de retención (check) en Y.	56
Gráfico 14 : Clasificación de las Bombas	57
Gráfico 15 : Detalle de la línea de succión de la bomba y definición de t	érminos
NPSH	59
NPSH	
	60
Gráfico 16 : Diferencial de presión en forma de U	60 88
Gráfico 16 : Diferencial de presión en forma de U	60 88
Gráfico 16 : Diferencial de presión en forma de U	60 88 88
Gráfico 16 : Diferencial de presión en forma de U	
Gráfico 16 : Diferencial de presión en forma de U	
Gráfico 16 : Diferencial de presión en forma de U  Gráfico 17 : Trayectoria #1  Gráfico 18 : Trayectoria #2  Gráfico 19 : Trayectoria #3  Gráfico 20 : Trayectoria #4  Gráfico 21 : Trayectoria #5	
Gráfico 16 : Diferencial de presión en forma de U  Gráfico 17 : Trayectoria #1  Gráfico 18 : Trayectoria #2  Gráfico 19 : Trayectoria #3  Gráfico 20 : Trayectoria #4  Gráfico 21 : Trayectoria #5  Gráfico 22 : Trayectoria #6	
Gráfico 16 : Diferencial de presión en forma de U  Gráfico 17 : Trayectoria #1  Gráfico 18 : Trayectoria #2  Gráfico 19 : Trayectoria #3  Gráfico 20 : Trayectoria #4  Gráfico 21 : Trayectoria #5  Gráfico 22 : Trayectoria #6  Gráfico 23 : Trayectoria #7	
Gráfico 16 : Diferencial de presión en forma de U  Gráfico 17 : Trayectoria #1  Gráfico 18 : Trayectoria #2  Gráfico 19 : Trayectoria #3  Gráfico 20 : Trayectoria #4  Gráfico 21 : Trayectoria #5  Gráfico 22 : Trayectoria #6  Gráfico 23 : Trayectoria #7  Gráfico 24 : Trayectoria #8	60 88 89 90 91 91
Gráfico 16 : Diferencial de presión en forma de U	608889909191
Gráfico 16 : Diferencial de presión en forma de U	608889909191112

Gráfico	30:	Incremento	de	e la	a Velocida	ad	del	fluido	en	funci	ión	de	la	presión
manomé	étrica		••••							• • • • • • • • • • • • • • • • • • • •				120
Gráfico	31:	Variación	de	la	velocidad	de	des	scarga	idea	lу	real	de	un	fluido
hidrostá	tico													121

### 1. LOCALIZACIÓN DEL PROYECTO

La Ciudad de Portoviejo también conocida como la Villa Nueva de San Gregorio de Portoviejo o la ciudad de los Reales Tamarindos, es la ciudad-capital de la Provincia de Manabí, que se convirtió en la primera ciudad ecuatoriana más antigua asentada en la región costanera.

Limita al Norte con los cantones Rocafuerte, Bolívar, Junín y Sucre, al Sur con el cantón Santa Ana, al Oeste con el cantón Montecristi y al Este con los cantones Santa Ana y Pichincha. En el casco comercial se encuentra diversidad de instituciones del estado, por lo que el empleo público se constituye en la principal fuente de recursos económicos de la misma. Muy pocas industrias se asientan en ella por diversos motivos, siendo los principales: La falta de promoción de la ciudad, altos impuestos, deficiencia de servicios básicos, falta de personal capacitado, entre otras.

# 1.1 MACROLOCALIZACIÓN

El presente proyecto se desarrollará dentro de las instalaciones de la Facultad de Ciencias Matemáticas, Físicas y Químicas de la Universidad Técnica de Manabí, ubicada en la Avenida José María Urbina y Che Guevara, en la parte Norte del cantón Portoviejo, provincia de Manabí. Siendo sus coordenadas geográficas las siguientes:

Latitud: 1°02'07.28°O Longitud: 80°27'07.28

Elevación 57m



Gráfico 1: Universidad Técnica de Manabí

# 1.2 MICROLOCALIZACIÓN

El presente trabajo será aplicado específicamente en el laboratorio de Operaciones Unitarias perteneciente a la Facultad de Ciencias Matemáticas, Físicas y Químicas de la Universidad Técnica de Manabí ubicado en la siguiente latitud: 1°02'44.38" a 55 metros de elevación.





Gráfico 2: Laboratorio de Operaciones Unitarias

# 2. FUNDAMENTACIÓN

En el cantón Portoviejo por ser cabecera cantonal de la provincia de Manabí se implantan importantes instituciones que benefician al desarrollo de la provincia y del cantón, entre algunas de estas entidades se puede nombrar a la Universidad Técnica de Manabí que es una institución de educación superior dedicada al desarrollo de profesionales responsables, preparados y comprometidos a buscar soluciones a problemas tanto de la universidad como del país, para cumplir con esta finalidad la universidad cuenta con diversos medios que le permiten ir desarrollándose para alcanzar el reconocimiento local, regional y nacional, entre algunos de éstos recursos se puede nombrar: infraestructura, laboratorios respectivos para cada carrera, bibliotecas, entre otros. Además su equipo de catedráticos dispuesto a entregar sus conocimientos a los estudiantes del alma máter, contribuyendo así al desarrollo de los futuros profesionales graduados en la Universidad Técnica de Manabí.

Una de las tantas facultades de ésta institución es la Facultad de Ciencias Matemáticas, Físicas y Químicas (F.C.M.F.Q.), ésta fue creada por el H. Consejo Universitario (H.C.U.) el 13 de Octubre de 1958, inició sus labores en el año de 1959 con dos carreras: Ingeniería Mecánica e Ingeniería Eléctrica, el 16 de Mayo de 1970 se crean las carreras de Ingeniería Civil e Ingeniería Industrial.

La carrera de Ingeniería Química es la más joven de las carreras instauradas en ésta facultad, fue aprobada por el Honorable Consejo Universitario el 25 de agosto del 2003; inició sus actividades en abril de 2004, todavía sigue creciendo a la par de las exigencias educativas actuales, cuenta con laboratorios de: Química, Microbiología, Ecotoxicología, Aguas y Operaciones Unitarias (OO.UU.). Buscando el beneficio de la carrera nos hemos propuesto contribuir a éste desarrollo mediante el rediseño de los sistemas hidrodinámicos didácticos del laboratorio de operaciones unitarias, favoreciendo el avance de nuestra institución y específicamente la carrera, ya que el conocimiento y la práctica en sistemas hidrodinámicos es básico en la formación de los Ingenieros Químicos reforzando así sus competencias como estudiantes y profesional.

#### 2.1 DIAGNÓSTICO DE LA COMUNIDAD

En el Ecuador actualmente se establecen requerimientos educativos que les exigen a las instituciones de educación superior la excelencia académica y para esto se deben comprometer con sus principales usuarios, es decir, los estudiantes.

La Universidad Técnica de Manabí siempre está buscando alternativas de desarrollo que permitan mejorar la calidad académica de la misma, dentro de la carrera de Ingeniería Química existen diversos recursos que se deben potencializar o mejorar y así cumplir con sus objetivos planteados, el laboratorio de Operaciones Unitarias creado en el año de 2007 como apoyo a la docencia en la enseñanza y aprendizaje, es una herramienta básica dentro de nuestra carrera, éste permite reforzar la alianza entre los conocimientos teóricos y prácticos en cuanto a equipos de operaciones unitarias.

El laboratorio de Operaciones Unitarias cuenta con diversos equipos que están destinados a reforzar los conocimientos mediante experimentación, entre éstos están los equipos de sistemas hidrodinámicos. A pesar de existir estos equipos no están en óptimas condiciones de funcionamiento es por esto que se ve la necesidad de rediseñarlos y darle el mantenimiento óptimo que los ponga en marcha logrando los objetivos y beneficios académicos impuestos por la Universidad y la carrera.

#### 2.2 IDENTIFICACIÓN DEL PROBLEMA

La Universidad Técnica de Manabí en su constante esfuerzo por mejorar la educación de sus estudiantes y como requisito para la acreditación de carreras, prioriza la resolución de problemas actuales que tengan los laboratorios para prácticas estudiantes.

Enfocándonos en la Facultad de Ciencias Matemáticas, Físicas y Químicas y más directamente en la carrera de Ingeniería Química podemos identificar las falencias que existen gracias a nuestros constantes años de estudio dentro la carrera, entre ellas el laboratorio de Operaciones Unitarias, no se encuentra en su adecuación óptima Es necesario el rediseño de los equipos de sistemas hidrodinámicos que se encuentran en dicho laboratorio no funcionan bajo las condiciones requeridas, entre muchos de sus problemas podemos nombrar materiales no adecuado, medidores en mal estado, falta de un manual de operación que sirva de guía para las prácticas, entre otros. Al

cubrir este tipo de falencias poco a poco se contribuye a la formación de profesionales preparados y por ende el realce de nuestra carrera y Universidad.

#### 2.3 PRIORIZACIÓN DEL PROBLEMA

A pesar de existir el laboratorio de Operaciones Unitarias de la Carrera de Ingeniería Química de la Universidad Técnica de Manabí, éste no presenta los escenarios adecuados para realizar prácticas experimentales relacionadas a la mecánica de fluidos, específicamente a los sistemas hidrodinámicos, notándose dificultad al relacionar los conocimientos teóricos impartidos en las aulas de clases con los prácticos. La falta de éste tipo de experimentación impide el desarrollo integral de los estudiantes viéndose reflejado en su vida profesional.

Al palpar con nuestras experiencias éste tipo de realidad, hemos priorizado el rediseño de los sistemas hidrodinámicos didácticos existentes, mediante la ejecución de la tesis de trabajo comunitario, contribuyendo al fortalecimiento de los conocimientos prácticos, brindando nuevas oportunidades a las generaciones futuras de estudiantes de Ingeniería Química y aportar al desarrollo científico – tecnológico del Alma Máter.

# 3. DELIMITACIÓN DEL PROYECTO

**CAMPO:** Operaciones Unitarias.

**ÁREA:** Laboratorio.

ASPECTO: Rediseño de sistemas hidrodinámicos didácticos.

**DELIMITACIÓN ESPACIAL:** El presente trabajo se lo realizará en el Laboratorio

de Operaciones Unitarias de la Universidad Técnica de Manabí.

**DEMILITACIÓN TEMPORAL:** El presente trabajo se desarrollará durante el

periodo Junio 2014 a Diciembre 2014.

#### 4. ANTECEDENTES

Las Operaciones Unitarias se constituyen como una parte esencial y fundamental en la formación del Ingeniero Químico. Su aplicación experimental se realiza en el Laboratorio de Operaciones Unitarias que debe contar con los equipos elementales y suficientes para captar el aprendizaje en su vida estudiantil y que al finalizar sus estudios se encuentre apto con la capacidad plena para desempeñarse de la mejor manera en cualquier tipo de industria.

Todas las Operaciones Unitarias existentes tienen un punto común, lo cual facilita su aprendizaje ya que demandaría varios años estudiar todos y cada uno de los procesos industriales actuales.

Una parte importante de las Operaciones Unitarias es la mecánica de los fluidos, dentro de la cual se encuentran los Sistemas Hidrodinámicos, que se encargan de estudiar el movimiento que realizan los fluidos cuando se los transporta por tuberías utilizando diferentes variables entre éstas: diámetro de tuberías, válvulas, conectores, entre otros.

Además el conocimiento y uso de ecuaciones tales como Bernoulli, Teorema de Torricelli entre otros, son esenciales cuando se requiere estudiar este tipo de sistemas. Se pueden desarrollar prácticas experimentales y variadas teniendo a la mano equipos en funcionamiento y de la cantidad suficiente de materia prima e insumos.

En el año 2007 bajo mutuo acuerdo de los Directores de Carrera la Universidad Técnica de Manabí, inauguró el Laboratorio de Operaciones Unitarias y los equipos de sistemas Hidrodinámicos, lo cual ayudaba a la formación de estudiantes que realizaban los experimentos con diferentes sustancias y variables. Tiempo después cayó en desuso por la poca información de prácticas disponibles, la falta de insumos y personal capacitado para dicha acción.

# 5. JUSTIFICACIÓN

Actualmente la educación requiere de profesionales que con el pasar del tiempo se encuentren altamente capacitados tanto en conocimientos teóricos como prácticos, todo lo referente al buen uso de materiales de Laboratorio y experiencias en el manejo de equipos industriales. Desde los niveles medios los estudiantes deben formarse y nutrirse de conocimientos para la resolución de problemas simulados o reales con los que pueda encontrarse en su carrera profesional, desarrollando de esa forma habilidades en la práctica y estimulando el pensamiento con el planteamiento de soluciones temporales o desarrollo de soluciones nuevas, innovadoras y definitivas.

La carrera de Ingeniería Química de la Universidad Técnica de Manabí actualmente cuenta con un Laboratorio de Operaciones Unitarias que a pesar de tener varios equipos básicos, no se encuentra operativo totalmente debido al daño de éstos con el pasar del tiempo o al mal diseño de los mismos.

Siendo éste uno de los principales problemas de la carrera de Ingeniería Química, no se puede desarrollar todo el potencial de los estudiantes por lo cual es necesario readecuar el Laboratorio de Operaciones Unitarias y sus sistemas Hidrodinámicos para que de esta forma los estudiantes actuales y futuros se nutran de experiencia en las materias base y fundamentales de la carrera como lo son: la Mecánica de Fluidos y las Operaciones Unitarias.

#### 6. OBJETIVOS

#### 6.1 OBJETIVO GENERAL

Rediseñar los sistemas hidrodinámicos didácticos del laboratorio de Operaciones Unitarias de la Carrera de Ingeniería Química de la Universidad Técnica de Manabí.

# 6.2 OBJETIVOS ESPECÍFICOS

- Implantar medidores de flujo y presión en los sistemas hidrodinámicos.
- Implementar mínimo tres prácticas de laboratorio aplicables a los sistemas hidrodinámicos.
- Demostrar mediante prácticas experimentales la aplicación de los sistemas hidrodinámicos.
- Elaborar un diagrama y el respectivo manual de operación para cada uno de los sistemas hidrodinámicos.

#### 7. MARCO DE REFERENCIA

#### 7.1 Operaciones Unitarias

Las operaciones unitarias forman parte de los procesos industriales o a nivel piloto, es por esto que son consideradas como básicas dentro de la industria química y de transformación de materiales, el conjunto de las operaciones unitarias dan como resultado procesos físicos, químicos o físico — químicos. Dentro de las funciones específicas que cumplen las operaciones unitarias pueden llevarse a cabo transformaciones en la cantidad de materia, cambios de energía o cambios de movimiento de la materia prima o insumo. Las principales leyes que gobiernan a las operaciones unitarias son la ley de conservación de energía, masa y cantidad de movimiento.

#### 7.1.1. Laboratorio de Operaciones Unitarias

Es el lugar físico donde se realizan las prácticas experimentales de las operaciones unitarias para lo cual se debe disponer de todos los equipos necesarios para la aplicación de los conocimientos teóricos adquiridos a lo largo del periodo estudiantil. En el Laboratorio los equipos no se limitan a un solo tipo de producción sino que a partir de un solo equipo se pueden elaborar diferentes productos, demostrándose la variada aplicación y usos que se le puede dar a un solo equipo que se encuentre dentro del Laboratorio.

Todo laboratorio debe de disponer de:

- Reglamentaciones internas: Ayudan al correcto funcionamiento del Laboratorio y los procedimientos a tomar en diversas situaciones.
- Operador Técnico: Persona con experiencia suficiente para revisión, mantenimiento y reparación en caso de ser necesario.
- Manuales de Operación de Equipos: Procedimientos detallados del uso correcto del equipo para evitar daños por falta de conocimientos.
- Programación de mantenimiento de equipos: Mantenimientos programados para evitar el sobre desgaste de piezas del equipo y evitar daños mayores por sobre utilización.

- Equipos de protección personal: Para visitas no programadas de personas ajenas al Laboratorio
- Botiquín de Primeros auxilios: Para minimizar riesgos a la salud en caso de ser necesario
- Ducha y lava ojos: Para el lavado inmediato de las partes afectadas por el contacto de sustancias peligrosas, tóxicas que pueden comprometer la integridad de las personas.
- Señalética: Señales visuales, lumínicas para guiar al visitante.
- Información: Diagramas de equipos, nomenclatura de tuberías que son necesarias para realizar prácticas dentro del Laboratorio

#### 7.2 Mecánica de Fluidos

Se puede contrastar la mecánica de fluidos con la matemática aplicada ya que ésta es la sección de la matemática que estudia los aspectos físicos del mundo real, es decir, que dentro de sus aplicaciones también se encierra a la cinemática y dinámica de los cuerpos. Además dentro de la matemática aplicada se incluye a la Mecánica que es la encargada del estudio en general del movimiento, siendo la mecánica la rama de donde se desprende la Mecánica de Fluidos que es la especializada en el estudio de la materia que posee la capacidad de fluir; dependiendo del fluido estudiado ya sea éste gas o líquido se encuentran un sin número de subdivisiones estudiadas por esta ciencia.

La mecánica de fluidos se define como la ciencia encargada de estudiar a los fluidos ya sean cinemáticos o dinámicos mediante la aplicación de alguna fuerza, es decir, cualquier fluido que tenga la capacidad de deformarse en forma inmediata ante la presencia de una fuerza cortante por mínima que sea. Si se compara el comportamiento de los fluidos con un sólido se puede notar que el desplazamiento que se da en éste es definido cuando es sometido a un esfuerzo cortante.

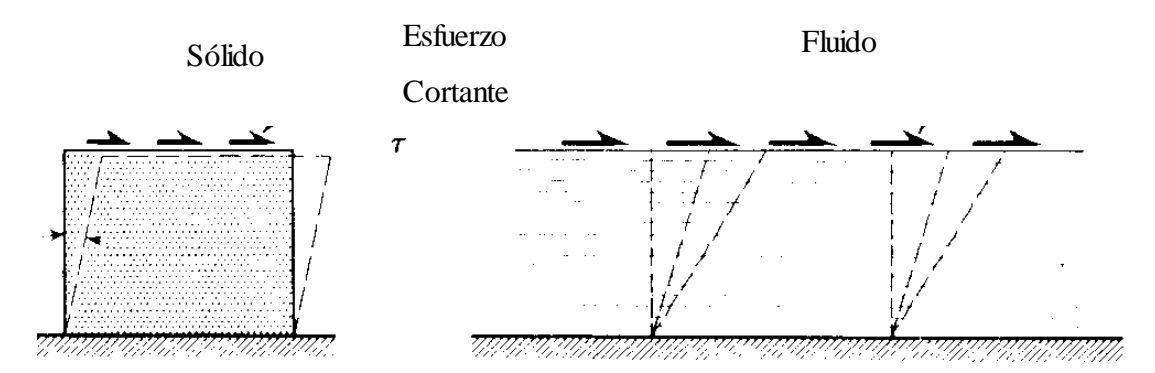


Gráfico 3: Comportamiento de un sólido y un fluido ante un esfuerzo cortante

#### 7.3 Fluidos

Dentro de las operaciones unitarias e ingeniería, los fluidos y su comportamiento son de gran importancia. Por lo general en los procesos industriales la gran mayoría de la materia prima se encuentra en forma de fluidos, además dentro de los sistemas auxiliares se usan gases como el aire o CO2, también líquidos como el agua, es decir que éstos deben almacenarse, transportarse mediante bombas, procesarse, etc., por esto se hace necesario conocer los principios que presiden al flujo de fluidos y desde luego los equipos que se usan.

Los fluidos pueden ser afectados por varios factores uno de éstos es la presión, cuando un fluido presenta una afectación mínima a los cambios de presión se lo llama incompresible, la mayoría de los líquidos son incompresibles. Mientras que por otro lado los gases son considerados compresibles, a pesar de esto los fluidos gaseosos al exponerse a cambios mínimos de presión y temperatura se pueden comportar como fluidos incompresibles.

La composición de los fluidos está dada por un sin número de moléculas, la ingeniería se enfoca en el comportamiento de esas moléculas pero en forma grupal o en conjunto y no en moléculas independientes, está claro que lo interesante para la ingeniería es el comportamiento macroscópico de los fluidos mas no el microscópico. En el momento lineal el fluido se toma como una distribución continua de materia, esto se da cuando el número de moléculas en el volumen más pequeño del fluido es lo

significativamente grande como para observar sus propiedades de manera continua de un punto a otro.

El estudio de la transferencia de momento lineal, o mecánica de fluidos como también se le llama, puede dividirse en dos ramas: estática de fluidos, o fluidos en reposo y dinámica de fluidos, o fluidos en movimiento. (GeanKoplis, 1998)

#### 7.4 Propiedades de los Fluidos

La mecánica de fluidos es considerada una rama de la mecánica de medios continuos, que su vez es rama de la física, que estudia el comportamiento de fluidos, en reposo o movimiento, por lo cual para su aplicación es útil conocer las principales propiedades de los fluidos (líquidos o gases).

Las propiedades de los fluidos se dividen en intensivas y extensivas.

#### 7.4.1. Densidad

La densidad de un cuerpo es igual a la relación que existe entre la masa del mismo dividida por su unidad de volumen. Siendo su fórmula:

$$\rho (densidad) = \frac{(m)masa}{(v)volumen}$$
$$\rho (densidad) = \frac{Kg}{m^3}$$

En donde:

 $\rho$ = Densidad

m = Masa

v = Volumen

#### 7.4.2. Densidad relativa

La densidad relativa es el cociente que resulta de la densidad de una sustancia y la densidad de una sustancia que se toma como referencia. Su unidad es adimensional.

$$\rho_{relativa} = \frac{\rho_{sustancia}}{\rho_{sust.de\ referencia}}$$

Para los cálculos se utiliza los datos estándares de las sustancias de referencias, para lo cual se utiliza la siguiente tabla:

Tabla 1: Datos estándares

Estado de la sustancia	Datos a utilizar
Líquido o sólido	Densidad del Agua a 20°C
Gaseoso	Densidad del Aire a 0°C y 1
Guscoso	atm de presión

# 7.4.3. Volumen específico

Volumen específico: Se define como el volumen ocupado que ocupa un material por unidad de masa. Es conocido también como el inverso de la densidad, lo cual indica que no depende de la cantidad de materia.

$$V (volumen \ especifico) = \frac{(v)volumen}{(m)masa}$$
 
$$V (volumen \ especifico) = \frac{m^3}{kg}$$

En donde:

V= Volumen específico

v= Volumen

m = Masa

# 7.4.4. Peso específico

El peso específico de una sustancia se puede definir como la relación entre el peso de la sustancia por su unidad de volumen. La fórmula y unidades son:

$$\gamma \text{ (peso específico)} = \frac{P \text{ (peso)}}{v \text{ (volumen)}} = \frac{m \text{ (masa). g(gravedad)}}{v \text{ (volumen)}}$$

$$= \rho \text{ (densidad). g(gravedad)}$$

$$\gamma \text{ (peso específico)} = \frac{N}{m^3}$$

En Donde:

γ = Peso específico

m = Masa

q = Gravedad

v= Volumen

 $\rho$ = Densidad

#### 7.4.5. Viscosidad

La viscosidad indica el movimiento relativo de las moléculas de un fluido, en función de la fricción o del rozamiento entre las mismas, por lo cual se puede definir a la viscosidad como la propiedad que va a determinar la cantidad de resistencia opuesta de un fluido a las fuerzas cortantes.

La viscosidad depende de la sustancia con la que se trabaje, por ejemplo las melazas, alquitrán fluyen más lentamente en comparación con el agua.

La viscosidad puede ser absoluta (también llamada dinámica).

$$\mu \text{ (viscosidad absoluta)} = 1 \text{ (Pa)(s)} = \frac{(N)(s)}{m^2}$$

O cinemática, que relaciona la viscosidad absoluta o dinámica con la densidad. Las unidades son:

v (viscosidad cinemática) = 
$$\frac{\mu \text{ (viscosidad absoluta)}}{\rho \text{ (densidad)}} = \frac{m^2}{s}$$

# 7.4.6. Tensión superficial

La tensión superficial es la cantidad de energía que se necesita para aumentar su superficie por unidad de área. Es causada por la manifestación de fuerzas intermoleculares en los líquidos, por lo cual da lugar a la capilaridad. Su fórmula:

$$\sigma_s = \frac{F}{2h} = \frac{N}{m}$$

Donde:

 $\sigma$ = Tensión superficial

*F*=Fuerza

b=longitud

#### 7.4.7. Presión

Es la fuerza normal ejercida por un fluido por unidad de área. El término presión es utilizado únicamente cuando se habla de sólidos y gases.

$$P = \frac{F}{A} = \frac{N}{m^2} = Pa$$

Donde:

P= Presión

F= Fuerza

A = Área

#### 7.4.7.1. Presión absoluta

La presión real que se encuentra en una determinada posición se llama presión absoluta, para su medición se la relaciona con el vacío absoluto

#### 7.4.7.2. Presión manométrica

A la mayoría de instrumentos de medición de la presión se los calibra para que en la lectura dé cero en la atmósfera (toma de referencia la presión atmosférica), de modo que indica la diferencia entre la presión absoluta y la presión atmosférica local (in situ). Por lo cual se deduce:

$$P_{man} = P_{abs} - P_{atm}$$

# 7.5 Caudal

Es el volumen que atraviesa una sección de un conducto por unidad de tiempo. El caudal (Q) puede relacionarse con la velocidad (v) con la que atraviesa un área transversal de flujo (A).

$$Q = A. v$$

$$Q = m^2 \cdot \left(\frac{m}{s}\right)$$
$$Q = \frac{m^3}{s}$$

Donde

Q = Caudal 
$$(\frac{m^3}{s})$$

V=Velocidad media de la sección (m/s)

A=Área de la sección de la tubería  $(m^2)$ 

Las unidades más utilizadas son:  $\frac{m^3}{s}$ , l/s, GPM (Galones por minuto).

#### 7.5.1. Medidores de Caudal

Un área importante de la aplicación de la mecánica de fluidos es la determinación de la razón de flujo de fluidos, y se han creado numerosos dispositivos, en el transcurso de los años, con el propósito de medir el flujo. Los flujómetros varían notablemente en sus niveles de sofisticación, tamaño, costo, precisión, versatilidad, capacidad, caída de presión y principio operativo

#### 7.5.1.1 Medidores visuales de área variable o Rotámetro

Un flujómetro simple, confiable, barato, fácil de instalar, sin conexiones eléctricas y que proporciona una lectura directa de la razón de flujo es el flujómetro de área variable, también conocido como rotámetro. Un flujómetro de área variable consiste de un estrecho tubo transparente cónico vertical fabricado de vidrio o plástico con un flotador en su interior que tiene libertad de moverse. Conforme el líquido fluye a través del tubo estrecho, el flotador sube dentro del tubo hasta una posición donde el peso del flotador se mantiene constante. La razón de flujo se determina simplemente igualando la posición del flotador contra la escala de flujo graduada en el exterior del estrecho tubo transparente. El flotador tiene forma de cilindro a manera de émbolo, poco ajustado al tubo cónico. (Cengel & Cimbala, 2012)

#### 7.6 Ecuación de la Continuidad

La ecuación está basada en el Principio de Conservación de la Masa, (la masa que entra es la misma que sale).

La presente ecuación se aplica a los líquidos, considerando que el caudal será constante para las diferentes secciones de una tubería por la que atraviese determinado fluido.

Para el entendimiento de la ecuación se considera un tubo de corriente de flujo, con áreas de la sección transversal A1 y A2, y sus respectivas velocidades V1 y V2, la ecuación para determinar la cantidad de líquido que pasará por una sección en unidad de tiempo, considerando el fluido incomprensible, será:

$$A_1\overrightarrow{V_1}=A_2\overrightarrow{V_2}$$

La ecuación anterior resulta de la sustitución de la fórmula del caudal:

$$Q = A\vec{V}$$

Donde:

$$Q = Caudal \left(\frac{m^3}{s}\right)$$

 $A = \text{Área de la sección transversal } (m^2)$ 

$$V = Velocidad \left(\frac{m}{s}\right)$$

#### 7.7 Ecuación General de Energía

Desarrollando un balance de energía entre los puntos 1 y 2 de una tubería, y considerando la energía que es transportada por el fluido y la energía transmitida entre el fluido y entorno se deduce la siguiente expresión:

$$\Delta U + \Delta \left(\frac{m. v^2}{2g}\right) + \Delta \left(\frac{mgz}{g_c}\right) + \Delta (PV) = q - w$$

Donde:

 $\Delta U$ = variación de la energía interna

$$\Delta\left(\frac{m.v^2}{2g}\right)$$
 = variación de la energía cinética

$$\Delta\left(\frac{mgz}{g_c}\right)$$
 = variación de la energía de presión

q= calor suministrado al fluido desde el entorno

w= trabajo realizado por el fluido contra el entorno.

Considerando la definición de entalpía (H = U + PV), la expresión queda:

$$\Delta H + \Delta \left(\frac{m \cdot v^2}{2g}\right) + \Delta \left(\frac{mgz}{g_c}\right) = q - w$$

Teniendo en cuenta que en la ecuación anterior el término  $\Delta U$  considera los incrementos de energía interna que tiene el fluido, expresándose:

$$\Delta U = \int_{1}^{2} T dS + \int_{1}^{2} p(-dV) + \int_{1}^{2} \gamma d\sigma + \int_{1}^{2} \mu_{A} dm_{A} + \int_{1}^{2} \mu_{B} dm_{B} + etc.$$

Los términos del segundo miembro representan la variación de la energía interna por causas determinadas, el primero se debe a efectos caloríficos, el segundo debido a la compresión, el tercero por efectos superficiales, el cuarto a efectos químicos sobre el componente A, el quinto a efectos químicos sobre el componente B, además se incluye la abreviación etc. para cualquier otro efecto distinto a los anteriores. Sustituyendo:

$$\int_{1}^{2} T dS + \Delta \left( \frac{m \cdot v^{2}}{2g} \right) + \Delta \left( \frac{mgz}{g_{c}} \right) + \int_{1}^{2} V dp + \int_{1}^{2} \gamma d\sigma + \int_{1}^{2} \mu_{A} dm_{A} + \int_{1}^{2} \mu_{B} dm_{B} + etc. = q - w$$

A causa de las irreversibilidades que son ocasionadas por la fricción, el término TdS será mayor que el calor absorbido del entorno por el fluido, pero si se le suma a este calor un término  $l_w$ , representado a la energía que se disipa de modo irreversible en el fluido, se puede escribir:

$$\int_{1}^{2} T dS = q + l_{w}$$

Pero si se prescinde de los efectos químicos, superficiales, etc. y se tiene en cuenta la ecuación anterior, se la puede expresar así:

$$\int_{1}^{2} V dp + \Delta \left( \frac{m \cdot v^{2}}{2 g_{c}} \right) + \Delta \left( \frac{mgz}{g_{c}} \right) = -w - l_{w}$$

Referida a la unidad de masa se convierte en:

$$\int_{1}^{2} \frac{dp}{\rho} + \Delta \left( \frac{v^{2}}{2g_{c}} \right) + \Delta \left( \frac{gz}{g_{c}} \right) = -\bar{w} - l_{w}$$

Con respecto a la unidad de peso, se transforma:

$$\int_{1}^{2} \frac{dp}{\gamma} + \Delta \left(\frac{v^{2}}{2g}\right) + \Delta z = -\frac{1}{w} \frac{g_{c}}{g} - l_{w} \frac{g_{c}}{g}$$

Los términos de la ecuación anterior poseen las dimensiones de longitud y reciben el nombre de cargas por lo que suele representarse la carga de fricción como  $h_f$  y la de trabajo como  $h_w$ 

En el caso particular que  $\bar{u}$  y  $l_w$  tengan el valor de cero, y aplicando la ecuación anterior para un fluido incomprensible, se representa:

$$\begin{split} \frac{\Delta p}{\gamma} + \Delta \left( \frac{v^2}{2g} \right) + \Delta z &= 0 \\ \frac{(p_2 - p_1)}{\gamma} + \left( \frac{v_2^2 - v_1^2}{2g} \right) + (z_2 - z_1) &= 0 \\ \left( \frac{p_2}{\gamma} - \frac{p_1}{\gamma} \right) + \left( \frac{v_2^2}{2g} - \frac{v_1^2}{2g} \right) + (z_2 - z_1) &= 0 \\ \frac{p_2}{\gamma} + \frac{v_2^2}{2g} + z_2 &= \frac{p_1}{\gamma} + \frac{v_1^2}{2g} + z_1 \end{split}$$

La cual se denomina Ecuación de Bernoulli

# 7.7.1 Pérdida de energía de un sistema a presión de un fluido incompresible

Tomando la ecuación de Energía para un tubo de flujo de corriente real e incompresible y que fluye entre dos puntos diferentes, y teniendo en cuenta que se desarrollan pérdidas de energía, se obtiene:

$$E_{T1} = E_{T2} + \sum p\'{e}rdidas$$

Donde:

 $E_{T1} = Energ$ ía total disponible en el punto inicial.

 $E_{T2} = Energía$  total disponible en el punto final.

 $\sum$  pérdidas = Sumatoria de las pérdidas por fricción y accesorios.

Reemplazando la ecuación anterior en la Ecuación General de Energía se obtiene:

$$z_1 + \frac{p_1}{\gamma} + \frac{\overline{V_1}^2}{2g} = z_2 + \frac{p_2}{\gamma} + \frac{\overline{V_2}^2}{2g} + \sum (hf + hm)$$

Donde:

z = Altura con respecto a un nivel de referencia

 $\vec{V} = Velocidad media en la sección transversal$ 

p = Presión en el eje del tubo

 $\sum (hf + hm) = Sumatoria de las pérdidas por fricción y de accesorios$ 

### 7.8 Regímenes de flujo de fluidos en tuberías

En las diferentes ramas de la Ingeniería a menudo se presentan problemas prácticos en los flujos, para la resolución de dichos problemas se aplica el principio de la energía. En la mayoría de problemas a solucionar intervienen fuidos reales que son mucho más complejos que los fluidos ideales.

En los fluidos denominados reales, la viscosidad origina que surjan fuerzas cortantes, entre las múltiples partículas, las paredes del contorno de las tuberías y entre las diferentes capas del fluido en análisis.

Dicha interacción entre partículas, contorno de tuberías, y las diferentes capas del fluido origina dos tipos de flujo: Flujo laminar y Flujo turbulento

# 7.8.1 Número de Reynolds

El número de Reynolds es un número adimensional, el cual representa el tipo de flujo que se tiene en una tubería.

$$Re = \frac{\rho \vec{V}_{media} D}{\mu}$$

Donde:

 $\rho$  = Densidad

 $\vec{V}_{prom} = Velocidad media$ 

**D** = Diámetro de la tubería

 $\mu = Viscosidad dinámica$ 

El número de Reynolds mediante el valor numérico si el fluido es laminar o turbulento, o si dicho fluido se encuentra en la zona de transición.

Para considerar un fluido como laminar el número de Reynolds debe de ser menor a 2300, para fluido turbulento debe ser mayor a 4000, para la zona de transición debe ser mayor a 2300 y menor a 4000.

La transición de flujo laminar a turbulento depende de varios factores específicos como la geometría, la rugosidad de la superficie de la tubería, la velocidad del flujo, la temperatura de la superficie y el tipo de fluido, ente otros.

En los sistemas de tuberías por lo general se trabaja con flujo turbulento, esto es debido a la fricción que se produce en las láminas del fluido laminar causa altas pérdidas por viscosidad. En la vida real no se aplican flujos lentos y regulados.

#### 7.8.1.1 Flujo Laminar

En flujo de fluidos, cuando la fuerza de inercia es mayor de la de fricción y el gradiente de velocidad es bajo, las partículas se desplazan pero no rotan (o lo hacen de forma imperceptible, con poca energía), se obtiene un movimiento regular en donde las partículas siguen trayectorias definidas. Osborne Reynolds identificó este tipo de flujo como laminar, debido a la similitud con las que las partículas se desplazan en forma de láminas o capas.

#### 7.8.1.2 Flujo Turbulento

Cuando aumenta el gradiente de velocidad en el flujo laminar, incrementa la fricción entre las partículas vecinas del fluido, adquiriendo una energía de rotación que se puede apreciar, lo cual genera que las partículas cambien su trayecto. Cuando las partículas pasan de una trayectoria a otra y chocan entre sí, cambiando de rumbo se le denomina como flujo turbulento.

El flujo turbulento está caracterizado porque:

- En el fluido las partículas no poseen trayectorias definidas
- Son fluidos reales
- Al poseer energía de rotación considerable, las partículas se mueven en forma desordenada chocando unas contra otras

# 7.9 Pérdidas de cargas por fricción en tuberías

La pérdida de energía también denominada pérdida de carga por fricción es la que se debe al rozamiento que tiene el fluido con las paredes de la tubería por la que circula. Esta pérdida sigue la dirección del flujo, que puede resultar de consideraciones en tramos que son largos, y que por el contrario se suelen despreciar cuando son tramos cortos.

#### 7.10 Ecuación de Darcy-Weisbach

La ecuación de Darcy-Weisbach fue desarrollada en 1845 por los ingenieros: Henry Darcy y Julius Weisbach, actualmente es una de las ecuaciones más utilizadas en hidraúlica. La ecuación de Darcy Weisbach permite el conocimiento del efecto de los factores que inciden directamente en la perdida de energía de una tubería. La principal ventaja de la presente ecuación es que se puede aplicar a toda clase de flujos hidraúlicos; laminar, turbulento o transicional, para lo cual se debe de tomar el coeficiente de fricción adecuado.

La ecuación de Darcy-Weisbach se representa de la siguiente manera:

$$h_f = f \frac{L}{D} \frac{V^2}{2 \, q}$$

Donde:

 $h_f = P$ érdida de carga debida a la fricción (m)

f = Factor de fricción de Darcy (adimensional)

L = Longitud de la tubería (m)

D = Diámetro de la tubería (m)

 $V^2 = Velocidad media del fluido (\frac{m}{s})$ 

 $2g = Aceleración de la gravedad (\frac{m}{s^2})$ 

# 7.11 Factor de fricción de Darcy

El factor de fricción, también conocido como cociente de resistencia de Darcy-Weisbach (f) es un número adimensional utilizado en la mecánica de fluidos para realizar el cálculo de pérdidas de cargas en una tubería debido a la fricción.

El factor de fricción de Darcy está en función del número de Reynolds y rugosidad relativa; por lo cual se deduce que depende directamente del régimen de flujo que gobierne al fluido en estudio.

Para el cálculo del factor de fricción se debe de considera el régimen de flujo que posee el fluido en estudio.

a. Para régimen laminar Re < 2300 el factor se calcula de la siguiente manera:

$$f$$
laminar =  $\frac{64}{Re}$ 

Notándose que en el régimen laminar, es independiente el factor de fricción de Darcy de la rugosidad relativa, dependiendo únicamente del número de Reynolds.

 Para el régimen turbulento existen ecuaciones empíricas, siendo el Diagrama de Moody uno de los más utilizados debido al fácil manejo para su utilización,

El diagrama debe su nombre a su desarrollador el Ing. Lewis Ferry Moody, dicho diagrama se encuentra en función del número de Reynolds y la rugosidad relativa.

# 7.12 Rugosidad

La rugosidad es la superficie interna que poseen las tuberías, dependiendo exclusivamente del material de construcción de las mismas. La rugosidad de una tubería incrementa proporcionalmente al tiempo de uso que tenga, es decir entre más años es más rugosa.

#### 7.12.1. Rugosidad absoluta

La rugosidad absoluta es el valor numérico que indica la presencia de rugosidad en tubos comerciales. El valor de la rugosidad resulta de valores promedios utilizados para tuberías nuevas y limpias. El valor de la rugosidad tiende a variar a medida que pasen los años debido a incrustaciones o corrosión debido al fluido que circula por la misma.

Tabla 2: Rugosidad absoluta (ε) en tubos comerciales

Material de conducto	Rugosidad absoluta ε (mm)
Vidrio	Liso
Plástico (PVC)	0.005
Tubo extruido; cobre, latón y acero	0.0015
Acero comercial o soldado	0.0460
Hierro Galvanizado	0.1500
Hierro dúctil, recubierto	0.1200
Hierro dúctil, no recubierto	0.2400
Concreto, bien fabricado	0.1200

# 7.12.2. Rugosidad relativa

La rugosidad relativa es la relación existente entre la rugosidad de la pared de una tubería (rugosidad absoluta) y el diámetro interno de dicha tubería.

La rugosidad existente en una tubería es irregular en cualquier punto de la misma, por lo cual se toman valores promedios.

Para determinarla se deben de tener varias consideraciones:

- Material de la tubería
- Naturaleza del líquido
- > Edad de la tubería

Para el cálculo de la rugosidad relativa a partir de la rugosidad absoluta se utiliza la siguiente fórmula:

$$\varepsilon_r = \frac{\varepsilon}{D}$$

Dónde:

 $\varepsilon_{r=}$ Rugosidad relativa de la tubería

 $\varepsilon = Rugosidad$  absoluta de la tubería

D = Diámetro interno de la tubería

Como se aprecia en la tabla 2 se ha determinado el valor de la rugosidad absoluta  $(\varepsilon)$  para tubos existentes comercialmente. Estos son valores promedios para tuberías

nuevas y limpias. Es de esperarse cierta variación una vez que una tubería ha estado en servicio durante algún tiempo, la rugosidad cambia debido a la corrosión y a la formación de depósitos en la pared. (Guanutaxi, 2012)

#### 7.13 Ecuación de Hazen – Williams

Es una ecuación empírica realizada en 1933 por A. H. Hazen y G. S. Williams, ésta ecuación nace debido al problema que existía con la ecuación de Darcy para encontrar el factor de fricción y calcular la pérdida de presión.

La ecuación de Hazen – Williams es aplicable para agua que fluye a temperaturas de entre 5°C – 25°C. Éste método es sencillo de aplicar ya que para calcular el coeficiente de rugosidad "C" no es necesario obtener velocidad ni tampoco el diámetro de la tubería; se usa por lo general para tramos de tuberías con distintos materiales como el acero y material fundido.

$$h = 10,674 \times \left[ \frac{Q^{1,852}}{C^{1,852} \times D^{4,871}} \right] \times L$$

En donde:

- h: pérdida de carga o de energía (m)
- Q: caudal  $(m^3/s)$
- C: coeficiente de rugosidad (adimensional)
- D: diámetro interno de la tubería (m)
- L: longitud de la tubería (m)

Si se desea utilizar el método de Hazen – Williams se debe tener en cuenta algunas de sus condiciones ya que si no se considerasen se puede sobredimensionar la tubería. Recomendaciones para su uso:

- Flujo de agua a temperaturas normales  $(5^{\circ}C 25^{\circ}C)$ .
- Diámetro máximo a 2".
- Caudal menor a 3 m/s.
- Comparar resultados obtenidos con Darcy Weisbach para Nº Reynolds alto.
- Adecuada selección del coeficiente de rugosidad (C). (Guanutaxi, 2012)

#### 7.13.1 Coeficiente de rugosidad de Hazen-Williams (C)

El coeficiente de rugosidad depende del material de la tubería y el estado de las paredes de la misma. De acuerdo al tiempo de uso que tenga la tubería se irán

formando incrustaciones en las paredes de la sección, propias del contenido de sales que tenga el agua, éste factor influye notablemente en la rugosidad de tuberías especialmente si el material es de acero y hierro fundido. (Ver gráfico 2, caso b) Otro de los factores que influye en la rugosidad de la tubería es la corrosión, ésta aparece en la parte interna de la tubería. (Ver gráfico 2, caso c). La corrosión es un parámetro que se puede controlar y se reviste la tubería internamente.



Gráfico 4: Modificación de la rugosidad

En la siguiente tabla se establecen valores de C para distintos materiales, además se visualiza la reducción del coeficiente de rugosidad en función del tiempo.

Tabla 3 : Valores del coeficiente de rugosidad (C) de Hazen-Williams para diferentes materiales

COEFICIENTE DE HAZEN-WILLIAMS PARA ALGUNOS MATERIALES					
Material	C	Material	C		
Asbesto cemento	140	Hierro galvanizado	120		
Latón	130-140	Vidrio	140		
Ladrillo de saneamiento	100	Plomo	130-140		
Hierro fundido, nuevo	130	Plástico (PE, PVC)	140-150		
Hierro fundido, 10 años de edad	107-113	Tubería lisa nueva	140		
Hierro fundido, 20 años de edad	89-100	Acero nuevo	140-150		
Hierro fundido, 30 años de edad	75-90	Acero	130		
Hierro fundido, 40 años de edad	64-83	Acero rolado	110		
Concreto	120-140	Lata	130		
Cobre	130-140	Madera	120		
Hierro dúctil	120	Hormigón	120-140		

Fuente: (Miliarium Aureum, 2001)

# 7.14 Pérdidas de carga por accesorios

Ésta pérdida de carga se produce en un sitio cercano a donde se presenta variación en la geometría de la tubería o en la dirección que sigue el flujo como por ejemplo: codos, válvulas, entre otros. Éste tipo de accesorios cambian las condiciones del flujo. A las pérdidas de carga por accesorios también se lo conoce como pérdidas menores, aunque en muchas ocasiones son más relevantes que las pérdidas de carga por fricción.

Este tipo de pérdidas se pueden calcular a través de dos métodos:

- Primer método: Ecuación fundamental de las pérdidas de carga secundarias
- Segundo método: Longitud de tubería equivalente. (Guanutaxi, 2012)

# 7.14.1 Ecuación fundamental de las pérdidas de carga por accesorios.

Estas pérdidas de energía se presentan cuando el fluido atraviesa un codo, ampliación o reducción de la trayectoria, o una válvula. Se lo conoce como coeficiente de resistencia K:

$$hm = K\frac{\vec{V}^2}{2g}$$

Para determinar exactamente el coeficiente de resistencia K para acoples o válvulas, se realiza mediante la siguiente ecuación.

$$K = \left(\frac{Le}{Di}\right)f_T$$

Dónde:

- Le = Longitud equivalente
- D = Diámetro interno de la tubería.
- ullet  $f_T$  = factor de fricción de la tubería a la que está conectada el accesorio En la siguiente tabla se muestran valores de (Le/Di), conocido como la relación de longitud equivalente.

Tabla 4 : Resistencia de longitud equivalente en número de diámetros de tubería (Le/Di).

Accesorios	(Le/Di)
Codo estándar de 90°	30
Codo estándar de 45°	16
Codo curvo 90°	20
Codo en U	50
Te estándar: Con flujo Directo	20
Te estándar: Con flujo en el ramal	60
Te estándar: Con flujo bilateral	65
Unión o Universal	6
Válvula angular abierta	150
Válvula de bola o esférica abierto	150
totalmente	130
Válvula de compuerta: Abierto totalmente	8
Válvula angular abierta	150
Válvula de globo abierta	340
Válvula de retención (check):	50
Convencional	50
Válvula de retención (check): En Y	100

Los valores del factor de fricción  $(f_T)$  varían de acuerdo al tamaño de la tubería, debido a esto el coeficiente de resistencia (K) también muestra variación. Entonces, de acuerdo a lo expuesto anteriormente para calcular la pérdida de carga por accesorios se realiza el siguiente procedimiento:

- 1. Buscar Le/D para válvula o accesorio en la tabla 4
- 2. Determinar la rugosidad absoluta (ε) del tubo con la tabla 2
- 3. Calcular la rugosidad relativa (ε/Di).
- 4. Utilizar el diagrama de Moody (anexo 1), para determinar  $f_T$
- 5. Calcular el coeficiente de resistencia  $K = f_T$  (Le/D).

6. Calcular pérdidas de carga por accesorios  $hm = K \frac{\vec{v}^2}{2g}$ .

# 7.14.2 Pérdidas de carga en piezas especiales.

Existen accesorios que presentan pérdidas considerables, a continuación se establecen los siguientes.

# 7.14.2.1 Ampliación Brusca

Ésta condición se observa cuando un flujo pasa por una tubería de diámetro pequeño a otra con un diámetro más grande a través de una ampliación brusca, entonces la velocidad disminuye de forma rápida por esto se presenta turbulencia que a su vez genera pérdida de carga como se visualiza en el gráfico 3

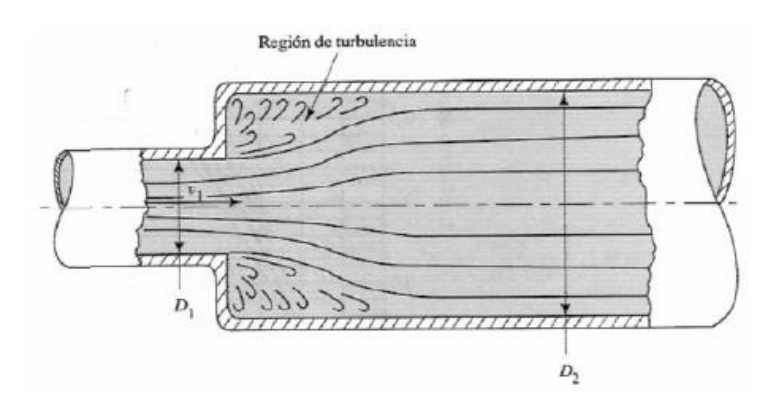


Gráfico 5: Ampliación Brusca

La pérdida de energía está en función del cociente entre los diámetros mayor y menor  $(D_2/D_1)$ . La pérdida menor se calcula con la siguiente ecuación:

$$hm = K \frac{\vec{V}^2}{2g}$$

Entonces el valor de K se calcula con la siguiente ecuación:

$$K = \left[1 - \left(\frac{D_1}{D_2}\right)^2\right]^2$$

Donde:

- D<sub>1</sub>= Diámetro de la sección pequeña
- D<sub>2</sub>= Diámetro de la sección grande
- $\vec{V}^2$ = Velocidad promedio en la tubería de menor diámetro

#### 7.14.2.2 Contracción Brusca

En la contracción brusca se pierde energía, ya que cuando la línea del flujo se acerca a la contracción forman una trayectoria curvilínea, luego la corriente sigue por la parte angosta o el diámetro menor de la tubería.

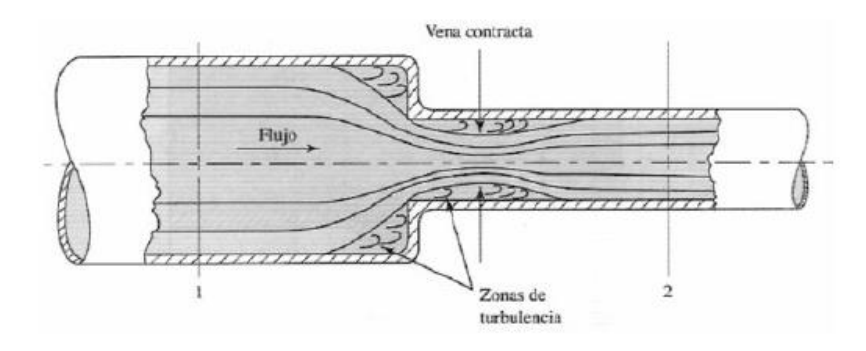


Gráfico 6: Contracción Brusca

La sección donde ocurre el área mínima del flujo se llama vena contracta, donde el flujo desacelera y luego se expande para llenar la tubería.

La pérdida de energía está en función del cociente entre los diámetros menor y mayor  $(D_2/D_1)$ . La pérdida menor se calcula con la siguiente ecuación:

$$hm = K \frac{\vec{V}^2}{2g}$$

#### Donde:

- D<sub>1</sub>= Diámetro de la sección pequeña
- D<sub>2</sub>= Diámetro de la sección grande
- $\vec{V}^2$ = Velocidad promedio en la tubería de menor diámetro
- K = Buscar en la tabla 5.

Tabla 5 : Coeficiente de resistencia K - Contracción brusca

D2/D1	K
1.2	0.08
1.4	0.17
1.6	0.26
1.8	0.34
2.0	0.37

2.5	0.41
3.0	0.43
4.0	0.45
5.0	0.46

# 7.14.2.3 Expansión gradual

Esta pérdida depende lo brusco que se presente la contracción.

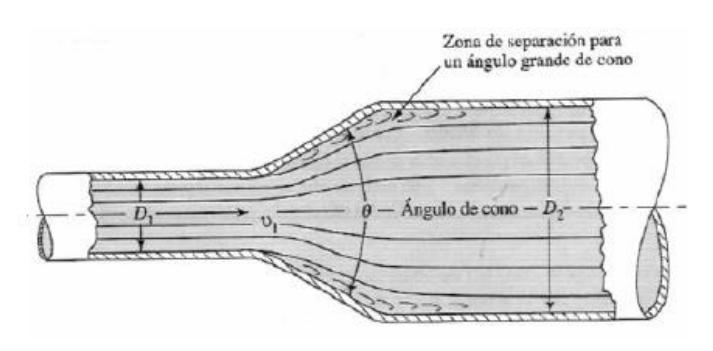


Gráfico 7: Expansión gradual

El coeficiente de pérdidas K depende del ángulo  $\Theta$  y se calcula con la siguiente ecuación:

$$hm = K \frac{\left( \left( \overrightarrow{V_1} - \overrightarrow{V_2} \right)^2 \right)}{2g}$$

Dónde:

 $\overrightarrow{V_1} = \text{Velocidad}$  promedio del flujo en el menor diámetro

 $\overrightarrow{V_2} = \text{Velocidad promedio del flujo en el mayor diámetro}$ 

K = Se encuentra en la tabla 5.

Tabla 6 : Coeficiente de resistencia - expansión gradual

				θ°			
$D_1/D_2$	<b>4</b> °	10°	15°	<b>20</b> °	30°	50°	60°
1.20	0.02	0.04	0.09	0.16	0.25	0.35	0.37
1.40	0.03	0.06	0.12	0.23	0.36	0.5	0.53
1.60	0.03	0.07	0.14	0.26	0.42	0.57	0.61
1.80	0.04	0.07	0.15	0.28	0.44	0.61	0.65
2.00	0.04	0.07	0.16	0.29	0.46	0.63	0.68
2.50	0.04	0.08	0.16	0.3	0.48	0.65	0.7
3.00	0.04	0.08	0.16	0.31	0.48	0.66	0.71
4.00	0.04	0.08	0.16	0.31	0.49	0.67	0.72
5.00	0.04	0.08	0.16	0.31	0.5	0.67	0.72

# 7.14.2.4 Contracción gradual

En una contracción la pérdida de carga puede disminuir si la contracción se hace más gradual.

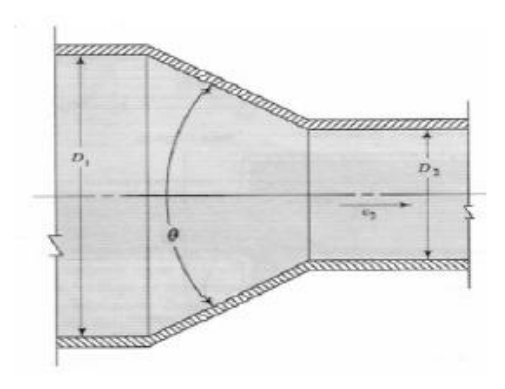
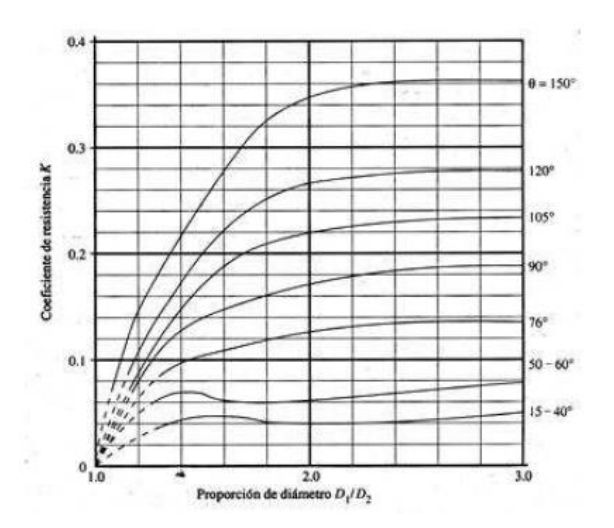


Gráfico 8: Expansión Gradual

Valores de coeficiente resistencia K para diferentes valores del ángulo del cono  $(\Theta \ge 15^\circ)$ .



Coeficiente de resistencia - contracción gradual con ⊖≥15°.

La pérdida menor se calcula con la siguiente ecuación:

$$hm = K \frac{\vec{V}^2}{2g}$$

Dónde:

 $\vec{V}^2$ = Velocidad promedio del flujo en la sección con menor diámetro

#### 7.14.2.5 Pérdida por entrada

La pérdida por entrada se da cuando el flujo se transporta desde un tanque grande hacia una tubería. Éste fluido debe aumentar su velocidad a la velocidad del fluido en la tubería. La disposición con la que la aceleración aumenta determina la cantidad de la pérdida de energía, además el valor del coeficiente de resistencia de la entrada va en función de la geometría de ésta.

#### 7.14.2.6 Pérdida en la salida de tubería

Cuando el fluido atraviesa una tubería a un depósito grande (ver Gráfico 8), la velocidad de éste flujo disminuye a cero. Entonces, el valor del coeficiente de pérdidas K=1.0 despreciando la forma de la salida.

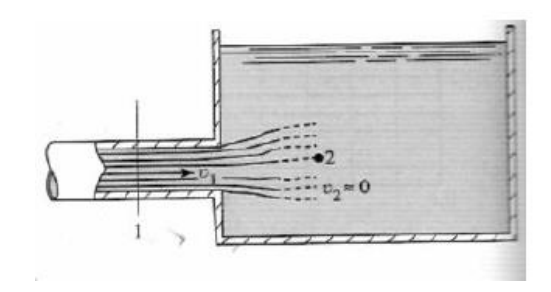


Gráfico 9: Salida de una tubería

#### 7.14.3 Longitud de tubería equivalente.

Mediante éste segundo método se calculan las pérdidas de carga por medio de la longitud equivalente (Le), esto se refiere a la longitud en metros de un espacio de tubería con el mismo diámetro, es decir, que generaría la misma pérdida de energía que el accesorio

Es de esta manera que cada accesorio se sustituye por una longitud de tubería equivalente (Le) para después aplicarse a la ecuación de Darcy-Weisbach o Hazen-Williams.

$$Le = \frac{K \times D}{f}$$

La siguiente ecuación representa la pérdida de carga para Darcy – Weisbach.

$$\Delta H = \sum (hf + hm) = f\left(\frac{L_{Tuberia} + Le}{Di}\right) \frac{\overrightarrow{V^2}}{2g}$$

En la tabla 4 se muestra la longitud equivalente expresada en número de diámetros para accesorios más comunes.

# 7.15 Tipos de Válvulas

#### 7.15.1 Válvulas de Compuerta

Ésta válvula se abre cuando se levanta una compuerta o también llamada cuchilla que puede presentar forma redonda o rectangular, de esta manera permite el paso de la corriente del flujo.



Gráfico 10 : Válvulas de Compuerta

# 7.15.2 Válvulas de Globo

Las válvulas de globo se cierra realizando varias vueltas, ésta permite el paso o freno del fluido por medio de un tapón que pasa en dirección paralela a la circulación del flujo.



Gráfico 11 : Válvula de globo

# 7.15.3 Válvulas de Bola o esférica

Las válvulas esféricas o bola tiene un movimiento de ¼ de vuelta por lo tanto se consideran de apertura rápida, permite el paso del flujo cuando su manilla se encuentra en la misma dirección que la tubería y corta el paso del fluido cuando se ubica a través de la tubería.



Gráfico 12: Válvula de bola.

#### 7.15.4 Válvulas de Retención (Check)

La válvula check tiene la función de evitar que el agua retorne por la tubería.

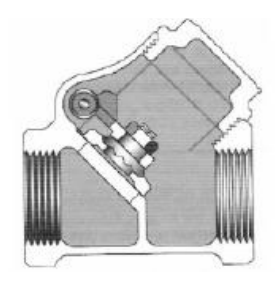


Gráfico 13 : Válvula de retención (check) en Y.

Se utilizan en tuberías que están conectadas a bombas, así se evitan los golpes de ariete.

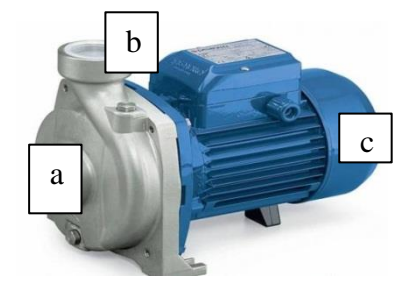
# 7.16 Bombas y sistemas de bombeo

#### **7.16.1** Bombas

La bomba es un equipo hidráulico que convierte la energía mecánica en energía hidráulica. Estas son capaces de transportar fluidos mediante tuberías.

La rotación del impulsor en el interior de la bomba forma un vacío dando lugar a una fuerza de succión que favorece la entrada del fluido en la bomba; dentro dicha bomba se incrementa la velocidad del fluido. El fluido que trae velocidad y por tanto energía en forma de energía cinética es expandido en el difusor o en la voluta de la bomba transformando la energía cinética en energía de presión al reducirse la velocidad del líquido. (Guanutaxi, 2012).

Partes que componen la bomba externamente:



- a. Entrada (intake)
- b. Salida (descarga)
- c. Motor eléctrico, suministro de potencia

#### 7.16.2 Clasificación de bombas

Las bombas se pueden clasificar: por volumen, por el tipo de fluido que se requiera mover, entre otros. A pesar de ello existe una clasificación general, entre estas están:

- Bombas rotodinámicas o de desplazamiento negativo
- Bombas volumétricas o de desplazamiento positivo

Bombas rotodinámicas: suministran energía al fluido e incrementan su velocidad, la velocidad que posee el fluido disminuye en el difusor de bomba dando como resultado el aumento de la presión.

Bombas volumétricas: suministran la energía al fluido mediante una fuerza directa a determinado volumen del fluido dando como resultado el aumento de la presión para poder transportarlo en la tubería de descarga.

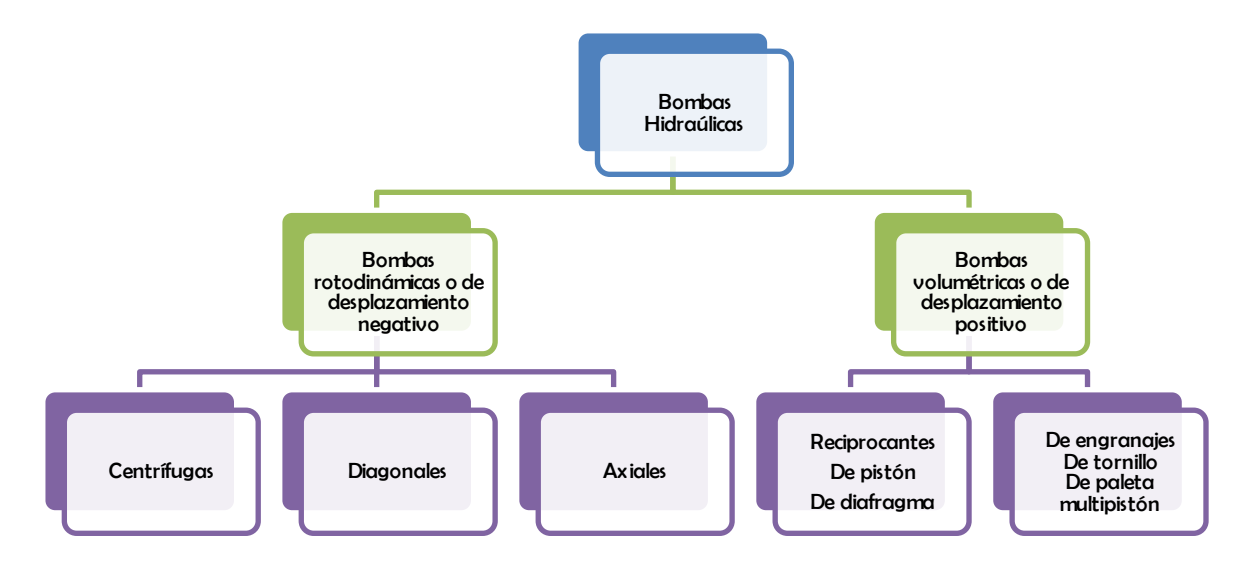


Gráfico 14: Clasificación de las Bombas

#### 7.16.3 Cavitación

La cavitación se observa cuando la presión de succión en la entrada de la bomba es muy baja, entonces se forman burbujas en el fluido, a esto se lo conoce como cavitación.

En pocas palabras se presenta cuando la presión en la succión está cerca a la presión de vapor del fluido transportado, entonces se forman las burbujas de aire que al ingresar en la zona de más presión éstas se rompen de manera abrupta.

Este fenómeno llamado cavitación tiene efectos negativos en el flujo de fluidos ya que puede causar la caída del rendimiento del sistema, generar vibraciones y ruidos molestos, dañando al equipo. (Cimbala., 2012)

Para evitar la cavitación existe un parámetro conocido como Altura Neta Positiva de Succión Requerida (NPSHr) y Disponible (CNPSd).

NPSHr. Éste parámetro es suministrado por el fabricante. Se define como la energía requerida para llenar completamente la succión y así vencer las pérdidas por rozamiento e incremento de velocidad.

CNPSd. Éste parámetro va en función del sistema de bombeo, es la energía que posee el fluido en la toma de succión de la bomba, está sobre la energía del fluido y debido a su presión de vapor se expresa por:

$$NPSH_D = \pm z + \frac{P_a - P_v}{\gamma} \times 10 - \sum (hf + hm)$$

#### Dónde:

- ±z = Diferencia de elevación desde el nivel del fluido en el depósito al eje de la tubería de la entrada de succión de la bomba (m). Si la bomba esta abajo del depósito, z es positiva y viceversa.
- Pa = Presión atmosférica de la localidad (Kg/cm<sup>2</sup>).
- Pv = Presión de vapor del líquido a la temperatura a que se bombea  $(Kg/cm^2)$ .
- $\sum (hf + hm)$  = Pérdidas de carga por fricción y accesorios en la tubería de succión (m).

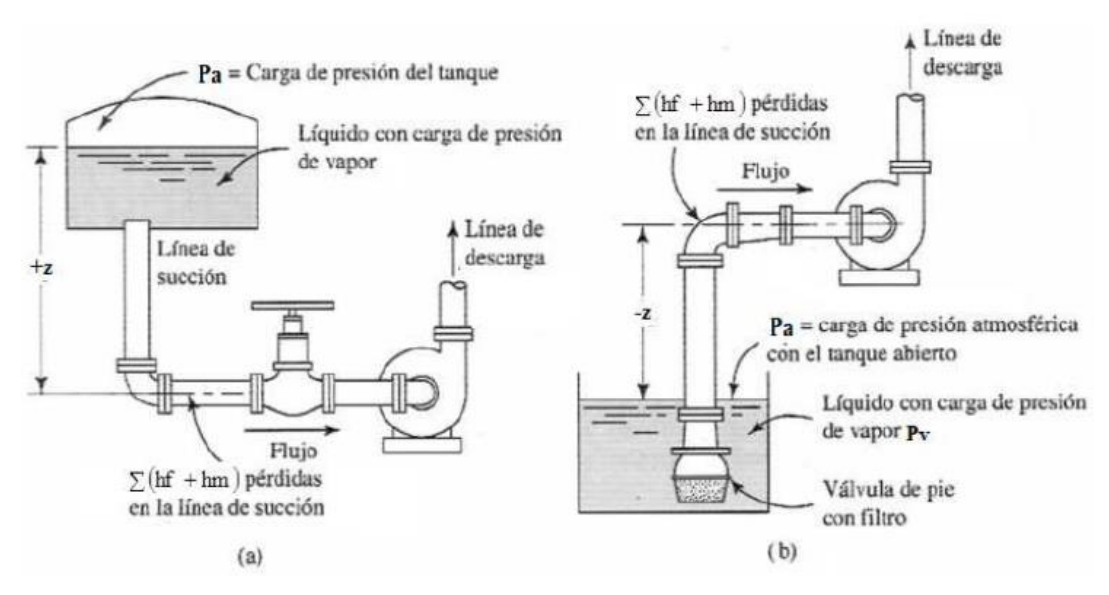


Gráfico 15 : Detalle de la línea de succión de la bomba y definición de términos NPSH

El parámetro NPSH<sub>D</sub> debe ser mayor al valor del NPSH<sub>R</sub> así se evita disminuciones del caudal y problemas de cavitación.

# 7.17 Pérdidas por fricción de tubería y por accesorios $\sum (hf + hm)$

Puede determinarse por medio de la ecuación de Darcy-Weisbach o Hazen-Williams. Ésta es la altura adicional que se necesita para vencer las pérdidas por fricción en las tuberías de impulsión y de succión. (Guanutaxi, 2012)

# 7.18 Manómetro diferencial simple

Consta de un tubo transparente en forma de U que lleva conectadas las ramas a los puntos entre los cuales quiere medirse la diferencia de presión (ver gráfico 14). El tubo contiene el fluido A que circula por la canalización y un fluido manométrico B más denso que aquel e inmiscible con él. La diferencias de presiones entre los puntos 1 y 2 viene dada por la expresión: (Ocón & Tojo, 1980)

$$\Delta P = P_2 - P_1 = L_b(\gamma_b - \gamma_a)$$

Donde:

•  $L_b$ = Longitud del diferencial observado tubo en U.

- $\gamma_b$  = Peso específico de sustancia más densa.
- $\gamma_a$  = Peso específico de sustancia menos densa.

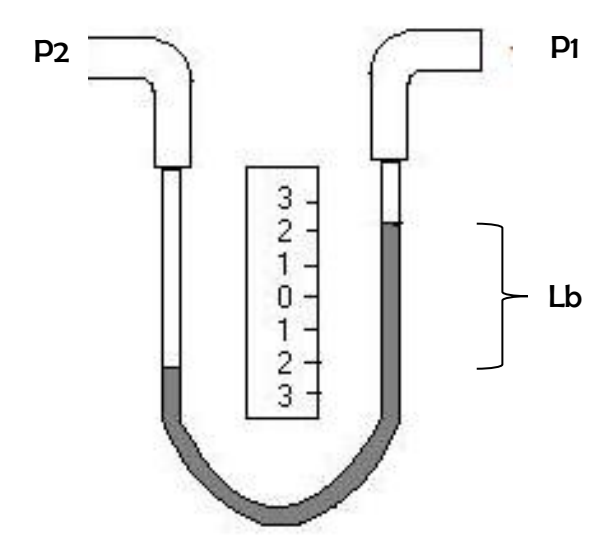


Gráfico 16 : Diferencial de presión en forma de U

#### 8. BENEFICIARIOS

En el desarrollo de éste trabajo comunitario se establecen los siguientes beneficiarios, tanto directos como indirectos.

# 8.1.DIRECTOS

- Estudiantes y docentes de la carrera de Ingeniería Química.
- Autoridades de la carrera de Ingeniería Química.
- Autores del proyecto.

#### 8.2.INDIRECTOS

- Docentes y estudiantes de la Universidad Técnica de Manabí y de la Facultad de Ciencias Matemáticas, Físicas y Químicas.
- Industrias y comunidad en general.

# 9. METODOLOGÍA

# 9.1 MÉTODO

#### Deductivo:

Se utilizó el método deductivo ya que el presente trabajo está enfocado a nivel general, en una de las bases de la Ingeniería Química, específicamente en la práctica dentro del laboratorio de Operaciones Unitarias de la Facultad de Ciencias Matemáticas, Físicas y Químicas de la Universidad Técnica de Manabí, priorizando el rediseño de los sistemas hidrodinámicos didácticos instalados en dicho laboratorio.

# 9.2 TÉCNICAS

#### 9.2.1 Observación:

Mediante la técnica de la observación se constató las falencias presentes en el diseño de los dos equipos que conforman los sistemas hidrodinámicos que son: Unidad de pérdidas de presión y Medidor de flujo. A continuación se establecen las fallas de cada equipo:

#### Unidad de pérdidas de presión

- Medidor de diferencial de presión con fuga de mercurio
- Trayectorias de las tuberías contaminadas con mercurio
- Base de la unidad desalineada
- Tanque de alimentación del equipo sin aforo volumétrico
- Tanque de alimentación sin purga inferior.
- Llaves de conexión al medidor de diferencial de presión obstruidas
- Universal de la trayectoria inferior presenta fuga de agua
- Mangueras para medir la diferencia de presión en mal estado
- Tubería de descarga desalineada

# Unidad Medidora de flujo

- Fugas en las bridas de la línea principal
- Ausencia de medidor de caudal o flujómetro
- Cantidad de manómetros no adecuada.
- Turbina de la bomba de alimentación en mal estado (partida)
- Recalentamiento de la bomba de alimentación
- Botonera del encendido y apagado del equipo en mal estado
- Fuga en el universal de la parte inferior.
- Tanque de alimentación sin aforo volumétrico
- Empaques en mal estado.
- Vibraciones en el equipo, por mal acople del equipo al soporte.

#### 9.2.1.1 Identificación de los Sistemas Hidrodinámicos

#### Unidad de Pérdidas de Presión

La Unidad de Pérdidas de Presión previo a la elaboración del presente trabajo de tesis se encontraba en condiciones regulares tanto externas como internas. Los principales problemas detectados en el equipo fueron:

- ➤ Bomba: Se encontraba sin mantenimiento alguno desde hace varios años, por lo que se le realizó un mantenimiento emergente, encontrándose diferentes tipos de desechos dentro de la misma
- ➤ Tanque de alimentación de agua: Las paredes internas del tanque estaban con una capa de suciedad acumulada a través del tiempo, y sin una válvula que permitiese purgarla regularmente.
- Tuberías: Se mantenían con material fangoso dentro de las mismas lo que dificultaba una correcta realización de las prácticas experimentales y contaminación continua del agua de alimentación. Las tuberías se encontraban contaminadas con mercurio fugado del diferencial de presión
- ➤ Válvulas de tomas de muestras: La gran mayoría estaba obstruidas con material sólido.
- Válvulas de paso: Debido al tiempo sin utilizarlas no se podían abrir fácilmente
- ➤ Diferencial de presión: Sin mercurio suficiente para la lectura de las presiones, falta de una escala graduada, tubería opacada debido a la vetustez.

- ➤ Bases de soporte del equipo: Estaban desacopladas del piso lo que generaba un mal soporte del equipo, y su movimiento debido al peso de las tuberías en general.
- ➤ Interruptor: El interruptor para el encendido/apagado de la bomba se encontraba en mal estado, ocasionando que la bomba se encienda y apague involuntariamente.
- > Sistema eléctrico General: En mal estado debido a la presencia de plagas como roedores.

Tabla 7 : Guía de Observación de la Unidad de Pérdidas de Presión

GUIA DE OBSERVACION DE LA UNIDAD DE PÉRDIDAS DE PRESIÓN.			
COMPONENTES			
ASPECTO	ESTADO		
Bomba	Funcional		
Tanque de almacenamiento de agua	Funcional		
Válvulas de paso	Funcionales		
Válvulas de tomas de muestra	Obstruidas		
ELEMENTOS DE MEDICIÓN			
Diferencial de presión Sin funcionamiento			
EQUIPO DE PROTECCIÓN PERSONAL			
Mandil	Obligatorio		
Casco	Obligatorio		
Gafas de protección	Obligatorios		
Guantes	Obligatorios		
Botas de seguridad industrial	Opcionales		
SERVICIOS AUXILIARES			
Vapor	No necesario		
Aire comprimido	No necesario		
Agua (25-30)° C	Necesario		
Energía eléctrica	Necesario		
FACTORES FÍSICOS			

Iluminación	Apreciar cambios en el diferencial de presión
Temperaturas (25-30)°C	No exceder el rango
MANTENIMIENTO DEL EQUIPO	
Limpieza del equipo	Purgar después de realizar la práctica
Tanque de almacenamiento	Llenar el tanque de almacenamiento y purgar terminada la práctica
Bomba	Revisión cada 6 meses.

#### Unidad Medidora de Flujo

La Unidad Medidora de Flujo antes de la realización del presente trabajo de tesis se encontraba en malas condiciones tanto externas como internas. Los principales problemas detectados en el equipo fueron:

- Bomba: Estaba sin mantenimiento alguno desde hace varios años, por lo que se le realizó un mantenimiento emergente, encontrándose diferentes tipos de desechos dentro de la misma, una vez re-instalada en el equipo se quemó, debido a la falta de uso, de mantenimiento previo y de las condiciones del sistema eléctrico.
- > Tanque de alimentación de agua: Las paredes internas del tanque estaban cubiertas de material fangoso, y sin aforado volumétrico.
- Tuberías: La mayoría de los tramos presentaban fugas, y presencia material fangoso dentro de las mismas lo que dificultaba una correcta realización de las prácticas experimentales y contaminación continua del agua de alimentación. Las tuberías se encontraban mal acopladas entre sí, por lo que fue necesario restituirlas por un material diferente.
- Manómetros: Mal ajustados ocasionando lecturas erróneas de las presiones y fugas en la tubería.
- > Tubo Venturi: Sin utilidad debido a la falta de oficios que conectaran hacia manómetros por lo que fue sustituido por reducciones en diferentes puntos de la tubería.
- ➤ Válvulas de tomas de muestras: Todas presentaban fugas por lo que fueron eliminadas de la unidad medidora de flujo.
- Válvulas de paso: Debido al tiempo sin utilizarlas no se podían abrir fácilmente

- ➤ Interruptor: El interruptor para el encendido/apagado de la bomba se encontraba en mal estado, ocasionando que la bomba se encienda y apague involuntariamente.
- ➤ Sistema eléctrico General: En mal estado debido a la presencia de plagas como roedores.
- ➤ Bases de soporte del equipo: Estaban desacopladas del piso lo que generaba vibraciones en el equipo y un mal soporte del mismo.

Tabla 8: Guía de Observación de la Unidad Medidora de Flujo

GUIA DE OBSERVACION DE LA UNIDAD MEDIDORA DE FLUJO			
COMPONENTES			
ASPECTO	ESTADO		
Bomba	Sin funcionamiento		
Tanque de almacenamiento de agua	Funcional		
Válvulas de paso	Funcionales		
ELEMENTOS DE MEDICIÓN			
Manómetros	Sin funcionamiento		
EQUIPO DE PROTECCIÓN PERSONAL			
Mandil	Obligatorio		
Casco	Obligatorio		
Gafas de protección	Opcionales		
Guantes	Opcionales		
Botas de seguridad industrial	Opcionales		
SERVICIOS AUXILIARES			
Vapor	No necesario		
Aire comprimido	No necesario		
Agua (25-30)° C	Necesario		
Energía eléctrica	Necesario		
FACTORES FÍSICOS			
Iluminación	Apreciar cambios en los manómetros y flujómetro		

Temperaturas (25-30)°C	No exceder el rango	
MANTENIMIENTO DEL EQUIPO		
Limpieza del equipo	Purgar después de realizar la práctica	
Tanque de almacenamiento	Llenar el tanque de almacenamiento y purgar terminada la práctica	
Bomba	Revisión cada 6 meses.	

# 9.2.2 Experimentación

#### 9.2.2.1. Unidad de Pérdidas de Presión

Más adelante se explicará detalladamente los procedimientos para llevar a cabo prácticas en éste equipo. A continuación se explica un breve procedimiento para calcular las pérdidas de carga o presión por cada trayectoria:

#### Pérdidas de carga por fricción de tubería:

- Establecer diámetro, longitud y material de tubería.
- Establecer el caudal, la velocidad del fluido.
- Calcular el Reynolds, rugosidad relativa, coeficiente de fricción.
- Obtener las pérdidas de carga por medio de la fórmula de Darcy Weisbach.
- Sumar la pérdida de fricción de cada tramo.

#### Pérdidas de carga por accesorios:

- Establecer diámetro, longitud y material de tubería a la que se conecta el accesorio.
- Determinar la velocidad del fluido en la tubería a la que está conectado el accesorio.
- Con ayuda de la tabla encontrar (Le/D) para cada accesorio.
- Determinar el Reynolds, rugosidad relativa, coeficiente de fricción.
- Determinar coeficiente de resistencia K.
- Calcular las pérdidas de carga por accesorios con ayuda de la fórmula  $hm = K\left(\frac{\vec{v}^2}{2a}\right)$

#### Diferencial de presión

• Calcular el diferencial con ayuda de la siguiente fórmula:  $\Delta P = L_m(\gamma_b - \gamma_a)$ 

- Comparar con el diferencial expresado en la columna de mercurio del equipo.

  Carga neta positiva de succión disponible.
  - Calcular la carga neta positiva de succión disponible para verificar si existe cavitación en la bomba.

#### 9.2.2.2. Unidad Medidora de Flujo

Más adelante se explicará detalladamente los procedimientos para llevar a cabo prácticas en éste equipo. A continuación se explica un breve procedimiento para calcular el flujo del equipo, la descarga de los tanques y velocidad mediante la ecuación de Bernoulli:

- Determinar el caudal promedio de la descarga del equipo, comparando datos con el flujómetro o rotámetro.
- Calcular el número de Reynolds para establecer el tipo de flujo: laminar o turbulento.
- Cálculo de las velocidades por cada reducción que existen en la tubería.
- Cálculo del caudal de descarga de los recipientes aforados, cambiando el diámetro de salida de dichos recipientes.
- Cálculo de las velocidades del fluido en las ubicaciones de los manómetros mediante la ecuación de Bernoulli.

# 9.3 REDISEÑO DE LOS SISTEMAS HIDRODINÁMICOS DIDÁCTICOS

#### 9.3.1 Rediseño de la Unidad de Pérdidas de Presión

Una vez realizada la caracterización de la Unidad de Pérdidas de Presión y con ayuda de la guía de observación se ejecutó el rediseño del equipo, con el fin de descartar problemas que afectaban anteriormente al mismo.

- ➤ Bomba: Se le realizó mantenimiento emergente.
- ➤ Tanque de alimentación: Se limpió la capa de suciedad acumulada en las paredes internas, se recogió el mercurio acumulado en el fondo del tanque y se instaló una válvula para la realización regular de purga.

- Tuberías: Se limpió el material fangoso que se encontraba en las tuberías y que causaba dificultad en el recorrido del fluido, se recogió el mercurio fugado del diferencial de presión y que se encontraba acumulado a través del tiempo en la trayectoria inferior. Se reemplazó un tramo de tubería de Hierro galvanizado por PVC para incorporar otro material en la trayectoria.
- ➤ Válvulas de tomas de muestras: Se retiraron todas las válvulas de tomas de muestras de las trayectorias con el fin de retirar el material sólido que causaba obstrucción en las mismas.
- ➤ Válvulas de paso: Se dejaron todas las válvulas operativas.
- ➤ Diferencial de presión: Se cambió la manguera del diferencial de presión, se sustituyó el mercurio en una cantidad suficiente, se cambió el sistema de válvulas conectadas al diferencial, se reemplazó la escala graduada.
- ➤ Bases de soporte del equipo: Se acopló al piso para dar estabilidad al equipo, y evitar movimientos bruscos al momento de realizar prácticas.
- ➤ Interruptor: Mantenimiento y cambio de cables en la caja de encendido/apagado.
- Sistema eléctrico General: Cambio total del Sistema Eléctrico General de Laboratorio de Operaciones Unitarias

Tabla 9 : Rediseño de la Unidad de Pérdidas de Presión

INSTRUMENTOS	MANTENIMIENTO/COMPRA	COSTO UNITARIO (DÓLARES)	COSTO
Bomba	Mantenimiento	70,00	70,00
Diferencial de presión	Compra	862,70	862,70
Tramo de tubería PVC	Compra	7,00	7,00
Válvulas de paso	Mantenimiento (26 válvulas)	2,50	65,00
Válvulas de tomas de muestras	Mantenimiento (16 válvulas)	2,00	32,00
Válvula de purga	Compra	2,50	2,50
Codo de 90°	Compra	3,00	3,00
Acoples (x3)	Compra	2,50	7,50
Soporte de equipo	Mantenimiento	25,00	25,00
Diagrama del equipo	Compra	30,00	30,00

Inhibidor de corrosión	Compra	100,00	100,00
			1204,70

## 9.3.2 Rediseño de la Unidad Medidora de Flujo

Una vez realizada la caracterización de la Unidad Medidora de Flujo y con ayuda de la guía de observación se ejecutó el rediseño del equipo, con el fin de descartar problemas que afectaban anteriormente al mismo.

- Bomba: Se le realizó mantenimiento emergente, reinstalándose en el equipo. Después de instalada se quemó debido a la falta de uso, mantenimiento oportuno y de buenas condiciones del sistema eléctrico, sustituyéndola por otra bomba de similares características.
- Tanque de alimentación de agua: Se quitó el material fangoso de las paredes internas del tanque y se aforó volumétricamente.
- ➤ Tuberías: Se rediseño totalmente la tubería la cual consistió en el reemplazo de bridas por acoples y nudos de PVC con el fin de evitar fugas que se presentaban frecuentemente en las bridas.
- ➤ Manómetros: Se reemplazó los manómetros existentes (0-150psig) por manómetros con un rango menor de presión (0-60psig), con el fin de observar mejor la variación de presión en los mismos.
- Tubo Venturi: Se eliminó de la tubería debido a la falta de condiciones necesarias para su uso, tales como: fugas y falta de orificios que conectaran hacia manómetros.
- ➤ Reducciones: Se instalaron en diferentes puntos de la tubería principal como sustitutos del tubo de Venturi
- Válvulas de tomas de muestras: Se eliminaron debido a las fugas que presentaban todas las válvulas.
- > Válvulas de paso: Se dejaron operativas.
- ➤ Interruptor: Interruptor: Mantenimiento y cambio de cables en la caja de encendido/apagado.
- Sistema eléctrico General: En mal estado debido a la presencia de plagas como roedores.
- Bases de soporte del equipo: Se acopló al piso para dar estabilidad al equipo, y evitar movimientos bruscos como vibraciones al momento de realizar prácticas.

- Medidor de flujo: Se instaló un medidor de caudal de área variable (rotámetro) con un rango de caudal de (0-100 LPM, 26 GPM) lo cual satisface el caudal máximo del equipo.
- > Tubería de desviación de caudal: Se instaló una tubería para desviar parte del caudal que circula por la tubería principal, con el objetivo de observar la variación de las presiones en los manómetros.

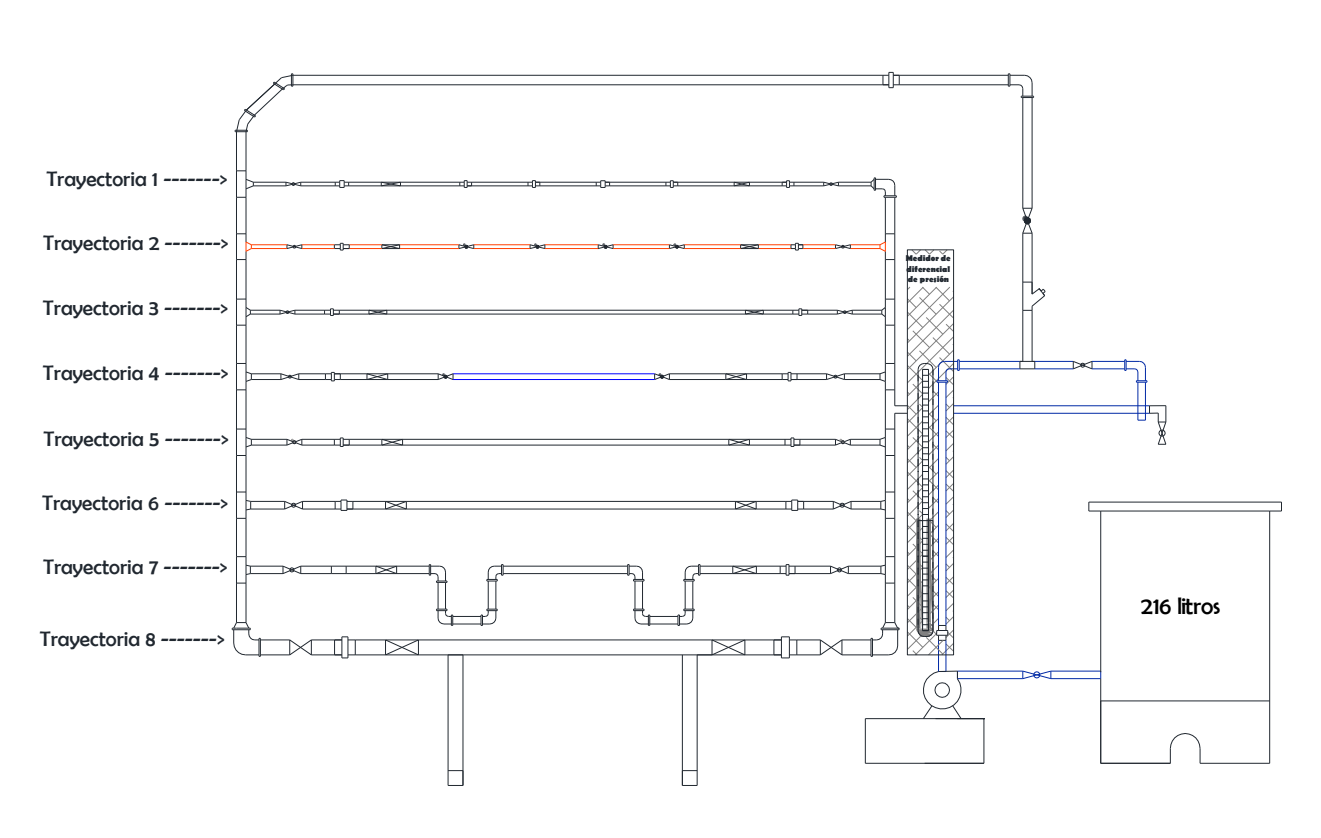
Tabla 10: Rediseño de la Unidad Medidora de Flujo

INSTRUMENTOS	MANTENIMIENTO/COMPRA	COSTO UNITARIO (DÓLARES)	COSTO TOTAL
Bomba instalada	Mantenimiento	50,00	50,00
Bomba	Compra	125,00	125,00
Flujómetro	Compra	300,00	300,00
Tubos de silicón (x3)	Compra	15,00	45,00
Manómetros (x3)	Compra	15,00	45,00
Válvula de paso	Compra	4,00	4,00
Teflón	Compra	5,00	5,00
Acoples (x11)	Compra	3,00	33,00
Tramo de tuberías ¾"	Compra	2,00	2,00
Tramo de tuberías 1½"	Compra	2,00	2,00
Codo de 90° 2"	Compra	3,00	3,00
Codo de 90° ¾" (x5)	Compra	1,50	7,50
Codos de 90° 1" (x2)	Compra	1,75	3,50
Universales 1 ½" (x4)	Compra	3,00	12,00
Reducción ½"	Compra	2,00	2,00
Reducción ¾"	Compra	2,00	2,00
Reducción 1"	Compra	2,00	2,00
Universal 1"	Compra	2,00	2,00
Sección de tubería PVC	Compra	3,00	3,00

Reducción 2"	Compra	2,00	2,00
Cajetín sistema eléctrico	Mantenimiento	30,00	30,00
Pintura para aforo	Compra	6,00	6,00
Pintura para tubería	Compra	4,50	4,50
Diagrama del equipo	Compra	30,00	30,00
			720,50

# 9.4 DIAGRAMAS DE LOS SISTEMAS HIDRODINÁMICOS

### 9.4.1. Diagrama de la Unidad de Pérdidas de Presión



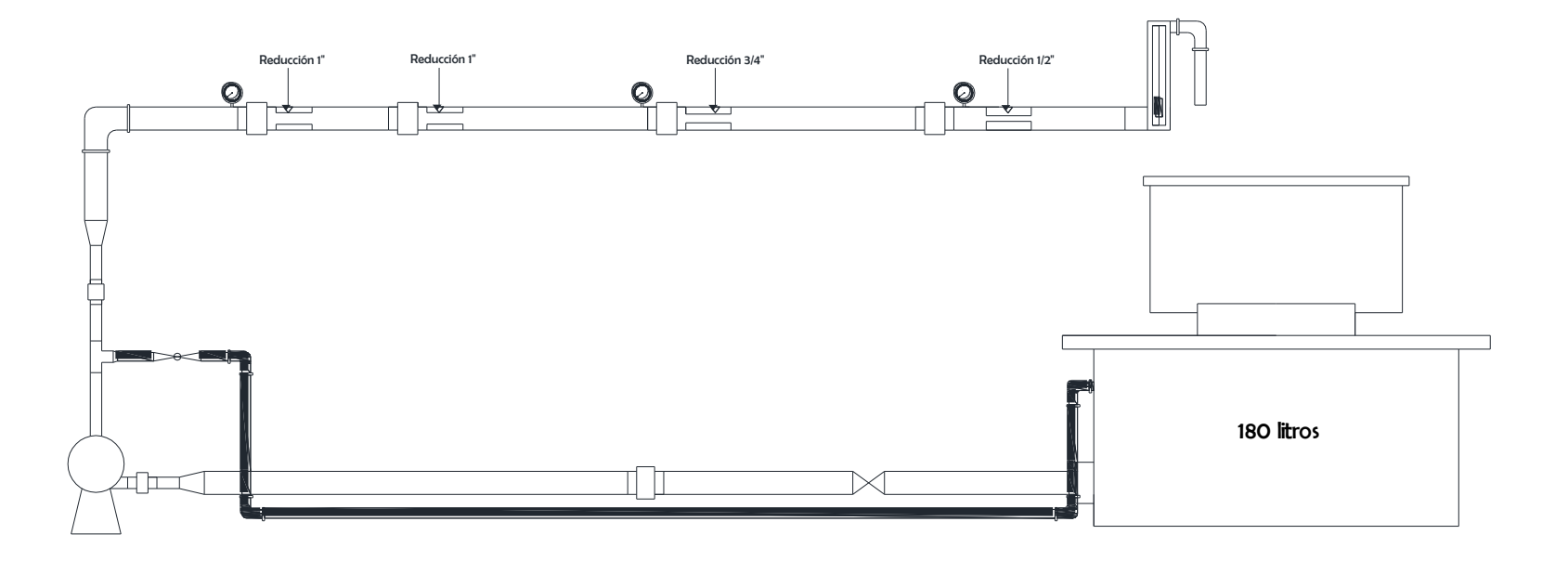
Simbología de Instrumentación				
Accesorio	\$ímbolo			
Válvula bola	D <del>0</del>			
Válvula globo				
Válvula de compuerta				
Nudo	Ф			
Codo 90°	5			
Codo 45°	4			
Conector Te				
Bomba	Q			
Línea de hierro				
galvanizado				
Línea de PVC				
Línea de Cobre				

\$imbología de Trayectoria;				
Trayectoria	Diámetro interno (pulgadas)	Material		
1	1/2	Hierro Galvanizado		
2	1/2	Cobre		
3	1/2	Hierro Galvanizado		
4	3/4	Hierro Galvanizado y PVC		
5	3/4	Hierro Galvanizado		
6	1	Hierro Galvanizado		
7	1	Hierro Galvanizado		
8	2	Hierro Galvanizado		

Nota: Para mejor visualización del diagrama referirse al Anexo 3.

# 9.4.2. Diagrama de la Unidad Medidora de Flujo

\$imbología de Instrumentación				
Accesorio \$imbología				
Válvula de bola	<b>D</b>			
Válvula de compuerta				
Nudo				
Codo 90°	5			
Bomba				
Manómetro	Q			



Nota: Para mejor visualización del diagrama referirse al Anexo 4.

### 9.5 BALANCES DE MATERIA

## 9.5.1 UNIDAD DE PÉRDIDAS DE PRESIÓN

$$Q_E = Q_S$$

## CÁLCULO DEL CAUDAL TRAMO #1

 $Q = \frac{volumen}{tiempo}$ 

		ordinep o		
# PRUEBA	VOLUMEN (I)	VOLUMEN (m3)	TIEMPO (s)	Caudal (m3/s)
1	2,25	0,00225	3,3	0,00068182
2	2,15	0,00215	3,21	0,00066978
3	1,43	0,00143	2,12	0,00067453
4	0,75	0,00075	1,13	0,00066372
5	0,68	0,00068	0,96	0,00070833
			Sumatoria	0,00339818
			Q promedio	0,00067964

$$Q = 0.0006796 \, m^3/s$$

## CÁLCULO DEL CAUDAL TRAMO #2

# PRUEBA	VOLUMEN (I)	VOLUMEN (m3)	TIEMPO (s)	Caudal (m3/s)
1	1,045	0,001045	1,69	0,00061834
2	1,79	0,00179	2,78	0,00064388
3	1,76	0,00176	2,98	0,00059060
4	1,67	0,00167	2,76	0,00060507
5	1,56	0,00156	2,55	0,00061176
			Sumatoria	0,00306967
			Q promedio	0,00061393

$$Q = 0.000614 \ m^3/s$$

## CÁLCULO DEL CAUDAL TRAMO 3

# PRUEBA	VOLUMEN (1)	VOLUMEN (m3)	TIEMPO (s)	Caudal (m3/s)
1	2,67	0,00267	4,29	0,00062238
2	1,41	0,00141	2,38	0,00059244
3	1,81	0,00181	2,92	0,00061986
4	1,65	0,00165	2,73	0,00060440
5	1,52	0,00152	2,53	0,00060079
				0,00303986
				0,00060797

 $Q = 0.000608 \ m^3/s$ 

# CÁLCULO DEL CAUDAL TRAMO 4

# PRUEBA	VOLUMEN (I)	VOLUMEN (m3)	TIEMPO (s)	Caudal (m3/s)
1	1,035	0,001035	1,53	0,00067647
2	1,15	0,00115	1,65	0,00069697
3	1,26	0,00126	1,79	0,00070391
4	1,43	0,00143	2,02	0,00070792
5	1,05	0,00105	1,51	0,00069536
				0,00348064
				0,00069613

 $Q = 0.000696 \ m^3/s$ 

# CÁLCULO DEL CAUDAL TRAMO 5

# PRUEBA	VOLUMEN (I)	VOLUMEN (m3)	TIEMPO (s)	Caudal (m3/s)
1	1,18	0,00118	1,48	0,00079730
2	1,21	0,00121	1,56	0,00077564
3	1,47	0,00147	1,87	0,00078610
4	1,19	0,00119	1,54	0,00077273
5	1,21	0,00121	1,58	0,00076582
				0,00389758
				0,00077952

 $Q = 0.000779 \ m^3/s$ 

## CÁLCULO DEL CAUDAL TRAMO 6

# PRUEBA	VOLUMEN (I)	VOLUMEN (m3)	TIEMPO (s)	Caudal (m3/s)
1	0,98	0,00098	1,44	0,00068056
2	1,03	0,00103	1,48	0,00069595
3	0,98	0,00098	1,39	0,00070504
4	1,2	0,0012	1,69	0,00071006
5	1,32	0,00132	1,91	0,00069110
				0,00348270
				0,00069654

 $\mathbf{Q}$ =0,000696  $m^3/s$ 

# CÁLCULO DEL CAUDAL TRAMO 7

# PRUEBA	VOLUMEN (1)	VOLUMEN (m3)	TIEMPO (s)	Caudal (m3/s)
1	1,49	0,00149	2,1	0,00070952
2	1,28	0,00128	1,78	0,00071910
3	1,13	0,00113	1,63	0,00069325
4	1,49	0,00149	2,13	0,00069953
5	1,52	0,00152	2,15	0,00070698
				0,00352838
				0,00070568

 $Q = 0.000706 \ m^3/s$ 

# CÁLCULO DEL CAUDAL TRAMO 8

# PRUEBA	VOLUMEN (1)	VOLUMEN (m3)	TIEMPO (s)	Caudal (m3/s)
1	1,66	0,00166	2	0,00083000
2	1,41	0,00141	1,74	0,00081034
3	1,42	0,00142	1,68	0,00084524
4	1,35	0,00135	1,65	0,00081818
5	1,22	0,00122	1,48	0,00082432
				0,00412809
				0,00082562

 $Q = 0.000826 \, m^3 / s$ 

#### 9.5.2 UNIDAD MEDIDORA DE FLUJO

Para el cálculo del balance de masa se pueden aplicar dos métodos:

a. Ley de la Conservación de la Materia.

$$Entrada - Salida = Acumulación$$

$$E - S = A$$

$$Acumulación= 0$$

$$E - S = 0$$

$$Q_E - Q_S = 0$$

$$Q_E = Q_S$$

$$0,001209 \frac{m^3}{S} = 0,001209 \frac{m^3}{S}$$

b. Utilizar la Ecuación de la Continuidad ya que se basa en la Ley de Conservación de la Materia, por lo tanto la materia que entra al equipo es la misma que sale.

#### Cálculo del Caudal

$$Q = \frac{volumen}{tiempo}$$

# PRUEBA	VOLUMEN (l)	VOLUMEN (m3)	TIEMPO (s)	Caudal (m3/s)
1	20	0,02	16,22	0,0012330
2	20	0,02	16,4	0,0012195
3	20	0,02	16,67	0,0011998
4	20	0,02	16,7	0,0011976
5	20	0,02	16,45	0,0012158
6	20	0,02	16,48	0,0012136
7	20	0,02	16,56	0,0012077
8	20	0,02	16,78	0,0011919
9	20	0,02	16,36	0,0012225
10	20	0,02	16,56	0,0012077
			SUMATORIA	0,0121092
			Q PROMEDIO	0,0012109

# 9.5.3 ÍNDICE DE COSTOS UNIDAD DE PÉRDIDAS DE PRESIÓN

#### a) Consumo de la Bomba

La unidad de pérdida de presión tiene una bomba con un consumo de 0,55 KWatt. La bomba estará encendida por el lapso de 30 minutos (0.5h)

### Cálculo del Consumo de Kwh

$$Bomba_{P\'erdidas\ de\ presi\'on} = (Watt_{bomba})(tiempo)$$
 $Bomba_{P\'erdidas\ de\ presi\'on} = (0,55Kw)(0,5h)$ 
 $Bomba_{P\'erdidas\ de\ presi\'on} = 0,275kwh$ 

#### Cálculo de costo en USD

$$Bomba_{P\'erdidas\ de\ presi\'on} = (kwh\ consumido)(\$\ kwh)$$

$$Bomba_{P\'erdidas\ de\ presi\'on} = (0,275kwh) \left(\frac{0,0858USD}{kwh}\right)$$

$$Bomba_{P\'erdidas\ de\ presi\'on} = 0,0236\ USD$$

#### b) Consumo de Agua

El tanque de alimentación de la unidad de pérdida de presión necesita un volumen mínimo de operación de 100 litros.

Cálculo del consumo de Agua en  $m^3$ 

 $Agua = (volumen\ consumido) (\$\ metro\ c\'ubico\ de\ agua)$ 

$$Agua = (0.1m^3) \left(\frac{1.00\$}{m^3}\right)$$

$$Agua = 0.10 USD$$

#### c) Sumatoria de Costos

$$Costo_{total} = Costo_{energia\ en\ bomba} += Costo_{agua}$$
 $Costo_{total} = 0.0236\ USD + \$0.10\ USD$ 
 $Costo_{total} = \$0.1236\ USD$ 
 $Costo_{total} = 0.12\ USD$ 

Precio del Kwh promedio en el Sector Industrial: 0.0858 USD kwh Fuente: CONELEC.

Precio  $m^3$  de Agua en el Sector Industrial: 1.00 USD  $m^3$  Fuente: EPMAPAP.

#### UNIDAD MEDIDORA DE FLUJO

#### a) Consumo de la Bomba

La unidad de medidora de flujo tiene una bomba con un consumo de 0,75 KWatt. La bomba estará encendida por el lapso de 30 minutos. (0.5h)

#### Cálculo del Consumo de Kwh

$$Bomba_{unidad\ medidora\ de\ flujo} = (Watt_{bomba})(tiempo)$$
 $Bomba_{unidad\ medidora\ de\ flujo} = (0,75Kw)(0,5h)$ 
 $Bomba_{unidad\ medidora\ de\ flujo} = 0,375kwh$ 

#### Cálculo de costo en USD

$$Bomba_{unidad\ medidora\ de\ flujo} = (kwh\ consumido)(\$\ kwh)$$

$$Bomba_{unidad\ medidora\ de\ flujo} = (0,375kwh) \left(\frac{0,0858USD}{kwh}\right)$$

$$Bomba_{unidad\ medidora\ de\ flujo} = 0,032175\ USD$$

#### b) Consumo de Agua

El tanque de alimentación de la unidad medidora de flujo necesita un volumen mínimo de operación de 90 litros.

Agua = (volumen consumido) (\$ metro cúbico de agua)

$$Agua = (0,109) \left(\frac{1,00\$}{m^3}\right)$$

$$Agua = 0,09 \ USD$$

#### a) Sumatoria de Costos

$$Costo_{total} = Costo_{energia\ en\ bomba} += Costo_{agua}$$
 $Costo_{total} = 0.032175\ USD + \$0.10\ USD$ 
 $Costo_{total} = \$0.132175\ USD$ 
 $Costo_{total} = 0.13\ USD$ 

Precio del Kwh promedio en el Sector Industrial: 0.0858 USD kwh Fuente: CONELEC.

Precio  $m^3$  de Agua en el Sector Industrial: 1.00 USD  $m^3$  Fuente: EPMAPAP.

#### 9.6 INSTRUMENTOS

- o Cámara fotográfica
- o Cuaderno
- o Esfero
- Flexómetro
- Cronómetro
- o Probeta
- o Recipiente
- Software para cálculos Microsoft Excel
- o Software para edición Microsoft Word
- Software AutoCAD 2011

# 10. MANUALES DE OPERACIÓN Y MANTENIMIENTO SISTEMAS HIDRODINÁMICOS

# 10.1 MANUAL DE OPERACIÓN DE LA UNIDAD DE PÉRDIDAS DE PRESIÓN

Para la correcta utilización de la Unidad de Pérdidas de Presión se recomienda leer detenidamente el presente manual de operación y mantenimiento.

#### Arranque del equipo.

Para proceder al arranque del equipo se debe de tener en consideración los siguientes pasos:

- Se verifica la disponibilidad de energía eléctrica en la toma de corriente, y
  que la misma corresponda a la demanda de electricidad requerida por la
  bomba.
- Se observa que la conexión de la bomba se encuentre en óptimas condiciones, es decir que los cables no se encuentren al descubierto, ni en contacto directo con metal que pueda ocasionar accidentes por descargas eléctricas.
- 3. Una vez realizado los pasos anteriores se procede a:
  - a. Llenar el tanque de alimentación con un volumen mínimo de operación (100 litros).
  - b. Se escoge una de las trayectorias del equipo y se procede a la apertura de las válvulas que se encuentren en dicha trayectoria, ya sea de succión o de descarga.
  - c. Mantener cerradas las válvulas de tomas de muestras, y del diferencial de presión.
  - d. Se conectan las tuberías transparentes del diferencial de presión en las válvulas de tomas de muestras de la trayectoria escogida, antes de conectarlas se debe abrir la válvula de toma de muestra para llenar el espacio con aire que se encuentra en la tubería transparente. No medir el diferencial mientras exista aire en dicha tubería.
  - e. Presionar el botón ON del interruptor para el encendido de la bomba.
  - f. Observar si existe flujo de salida en la válvula de descarga.
  - g. Se procede a la apertura de las válvulas de tomas de muestras.
  - h. Gradualmente se abren las dos válvulas de entradas al diferencial de presión.

- i. Si se requiere estabilizar la medida del diferencial se debe cerrar las válvulas de entrada a dicho medidor. Para equilibrar el mercurio del diferencial de presión, se debe abrir la válvula de paso del diferencial que se encuentra al medio de las válvulas de entrada de dicho medidor de presión.
- **j.** Realizar la práctica bajo la supervisión del operador del Laboratorio de Operaciones Unitarias.

#### Apagado del equipo.

Para proceder al apagado del equipo se debe de tener en cuenta los siguientes pasos:

- 1) Cerrar las válvulas del diferencial de presión y las válvulas toma muestras.
- 2) Presionar el botón OFF del interruptor de la bomba.
- 3) Purgar las trayectorias del equipo usando las válvulas toma muestras de las trayectorias inferiores.
- 4) Purgar el tanque de alimentación

#### Recomendaciones

- ➤ Usar mandil (obligatoriamente), casco, guantes gafas de seguridad (opcionales).
- ➤ Se debe de tener precauciones en el manejo de las válvulas del equipo o de la trayectoria escogida ya que una maniobra errónea incidirá en lecturas irreales o el daño del equipo.
- ➤ Una vez encendida la bomba, chequear que el flujo de agua se encuentre circulando sin dificultad dentro de la trayectoria escogida, para lo cual se observa si hay descarga de fluido en el tanque de alimentación, caso contrario se presiona el botón OFF, y se procede a revisar que se encuentren abiertas cada una de las válvulas de succión y de descarga
- ➤ Revisar que las tuberías que conecta la trayectoria con el diferencial de presión no se encuentren con espacios de aire.
- Abrir las válvulas del diferencial de presión lenta y simultáneamente para evitar cualquier fuga de mercurio del diferencial.
- Encender la bomba solo cuando el tanque de alimentación posea el volumen mínimo de operación (100 litros)
- Limpiar el tanque de alimentación una vez realizada las prácticas.
- No realizar la práctica sin la supervisión del operador de Laboratorio de Operaciones Unitarias o en su defecto con el docente responsable de la asignatura.
- Revisar detenidamente cada uno de los pasos detallados en el presente manual.

- ➤ Cualquier duda deberá ser consultada con el operador del Laboratorio de Operaciones Unitarias (OO.UU.)
- ➤ Cualquier falla que se presentara en el equipo comunicarla inmediatamente al operador del Laboratorio de OO.UU.

# 10.2 MANUAL DE MANTENIMIENTO DE LA UNIDAD DE PÉRDIDAS DE PRESIÓN

El mantenimiento de la Unidad de Pérdidas de Presión se debe realizar en los tiempos establecidos en el presente manual de mantenimiento, a excepción de daños repentinos o imprevistos en el equipo.

Tabla 11: Mantenimiento de la Unidad de Pérdidas de Presión

Actividad	Tiempo		
Purga y limpieza del tanque de alimentación	Una vez terminada la práctica		
Chequeo de fugas en las trayectorias	Mensualmente		
Purga de las trayectorias de la Unidad de pérdidas de presión	Mensualmente		
Revisión de la bomba de la Unidad de pérdidas de presión	Cada 6 meses		
Revisión del sistema eléctrico	Cada 6 meses		
Pintado de las medidas volumétricas internas del tanque de alimentación	Cada 6 meses.		
Cambio de Mercurio del diferencial de presión	Cuando se crea conveniente		
Cambio de tuberías que conectan al diferencia de presión	Cuando se crea conveniente		
Cambio de tubería del diferencial de presión	Cuando se crea conveniente		
Cambio de accesorios en las trayectorias	Cuando se crea conveniente		

# 10.3 MANUAL DE OPERACIÓN DE LA UNIDAD MEDIDORA DE FLUJO

Para el correcto funcionamiento de la Unidad Medidora de Flujo es necesario leer el presente manual de operación y mantenimiento.

#### Arranque del equipo.

Para proceder al arranque del equipo se debe de tener en consideración los siguientes pasos:

- Se verifica la disponibilidad de energía eléctrica en la toma de corriente, y
  que la misma corresponda a la demanda de electricidad requerida por la
  bomba.
- Se observa que la conexión de la bomba se encuentre en óptimas condiciones, es decir que los cables no se encuentren al descubierto, ni en contacto directo con metal que pueda ocasionar accidentes por descargas eléctricas.
- 3. Una vez realizado los pasos anteriores se procede a:
  - a. Llenar el tanque de alimentación con un volumen mínimo de operación (90 litros).
  - b. Se abre la válvula de compuerta totalmente para evitar daños en la bomba.
  - c. Mantener cerrada la válvula de paso para observar la variación de presión dentro de la línea.
  - d. Presionar el botón ON del interruptor para el encendido de la bomba, inmediatamente comienza a recircular el agua.
  - e. Realizar la práctica bajo la supervisión de un docente o el operador del Laboratorio de Operaciones Unitarias.

#### Apagado del equipo.

Para proceder al apagado del equipo se debe de tener en cuenta los siguientes pasos:

- 1. Presionar el botón OFF del interruptor de la bomba.
- Purgar los tanques o recipientes del equipo para evitar la proliferación de plagas (moscos).
- 3. Purgar el tanque de alimentación.

#### Recomendaciones

- ➤ Usar mandil (obligatoriamente), casco, guantes, gafas de seguridad (opcionales).
- > Se debe de tener precauciones en el manejo de las válvulas del equipo ya que una maniobra errónea provocará daños en la bomba.
- ➤ Una vez encendida la bomba, chequear que el flujo de agua se encuentre circulando sin dificultad dentro de la tubería, para lo cual se observa si hay descarga de fluido en el tanque de alimentación, caso contrario se presiona el botón OFF, y se procede a revisar que se encuentren abierta la válvulas de succión.
- Encender la bomba solo cuando el tanque de alimentación posea el volumen mínimo de operación (90 litros)
- > Purgar el tanque de alimentación una vez realizada las prácticas.
- Accesorios de la purga del tanque de descarga (reducciones ½ y ¾) entregárselos al operador de Laboratorio una vez finalizadas las prácticas.
- ➤ No realizar la práctica sin la supervisión del operador de Laboratorio de Operaciones Unitarias o en su defecto con el docente responsable de la asignatura.
- ➤ Revisar detenidamente cada uno de los pasos detallados en el presente manual.
- Cualquier duda deberá ser consultada con el operador del Laboratorio de Operaciones Unitarias (OO.UU.)
- ➤ Cualquier falla que se presentara en el equipo comunicarla inmediatamente al operador del Laboratorio de OO.UU.

# 10.4 MANUAL DE MANTENIMIENTO DE LA UNIDAD MEDIDORA DE FLUJO

El mantenimiento de la Unidad Medidora de Flujo se debe realizar en los tiempos establecidos en el presente manual de mantenimiento, a excepción de daños repentinos o imprevistos en el equipo.

Tabla 12: Mantenimiento de la Unidad Medidora de Flujo

Actividad	Tiempo
Accesorios de la purga del tanque de descarga (reducciones ½ y ¾)	Guardarlos finaliza las prácticas
Chequeo de fugas en las trayectorias	Mensualmente
Purga y limpieza del tanque de alimentación y descarga	Una vez terminada la práctica
Revisión de la bomba de la Unidad Medidora de Flujo	Cada 6 meses
Revisión del sistema eléctrico	Cada 6 meses
Aforo volumétrico del tanque de descarga	Cada 6 meses.

#### 11. PRUEBAS EXPERIMENTALES

# 11.1 PRUEBAS EXPERIMENTALES DE LA UNIDAD DE PÉRDIDAS DE PRESIÓN

### 11.1.1. Pérdidas de carga totales

**Objetivo**: Determinar las pérdidas por fricción y accesorios de cada tramo establecido.

Ilustraciones de cada Trayectoria (Véase anexo 3 para identificar simbología) Trayectoria #1

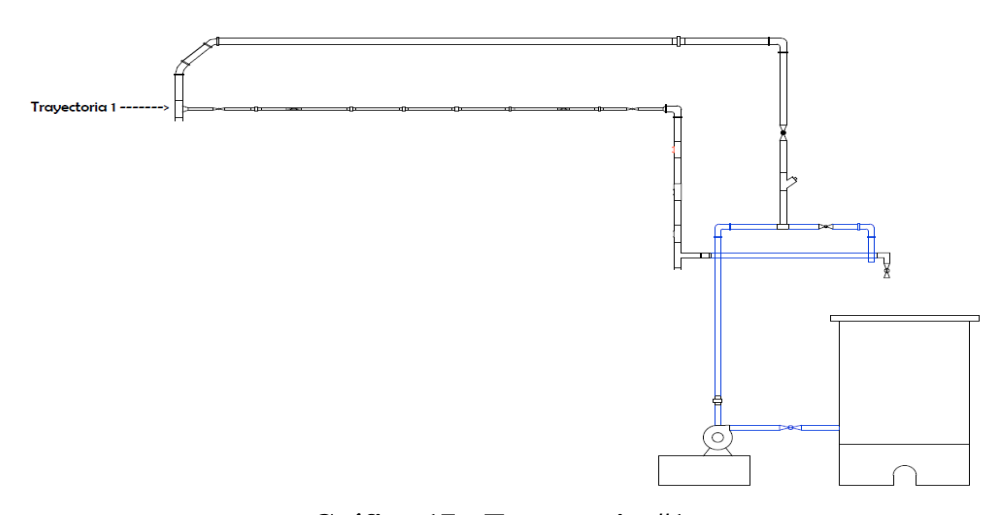


Gráfico 17: Trayectoria #1

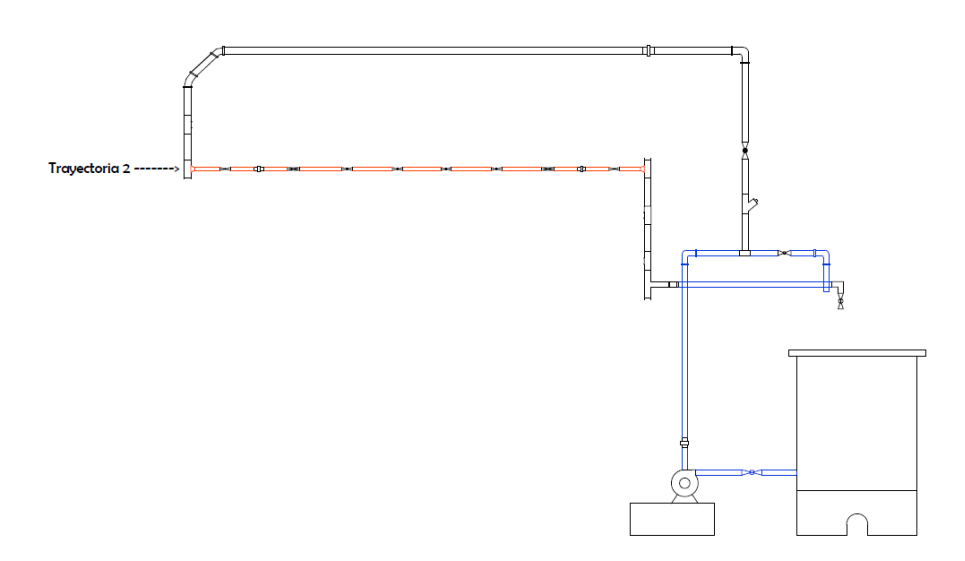


Gráfico 18: Trayectoria #2

# Trayectoria #3

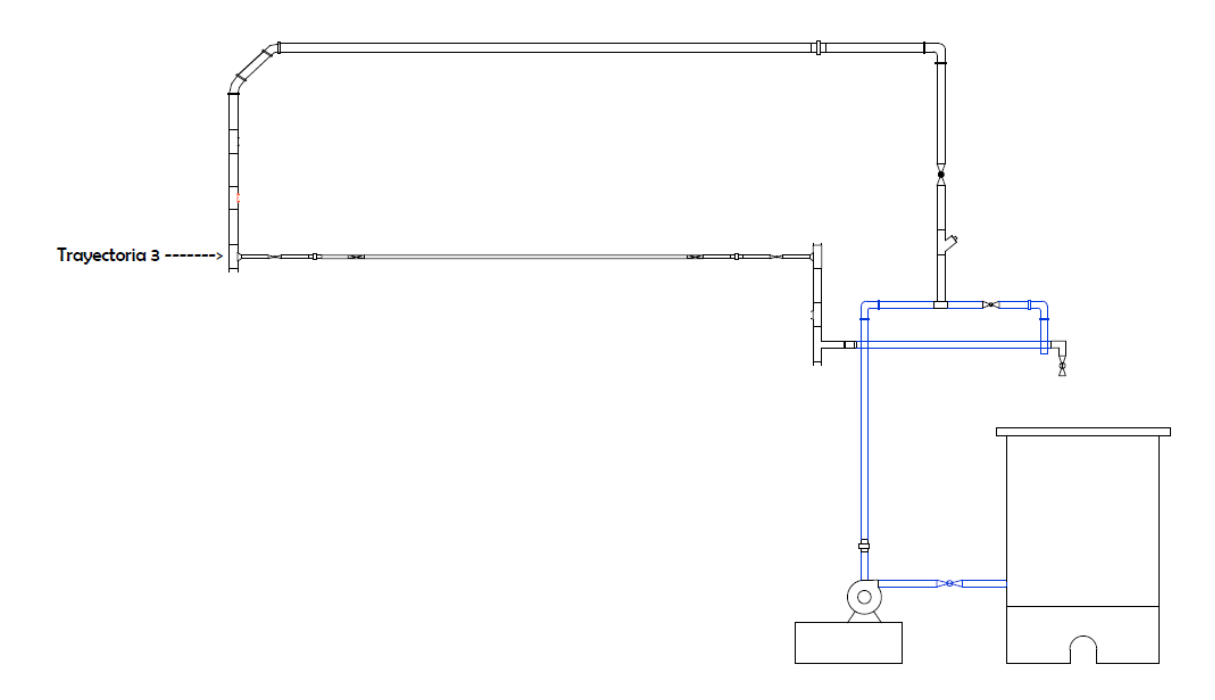


Gráfico 19: Trayectoria #3

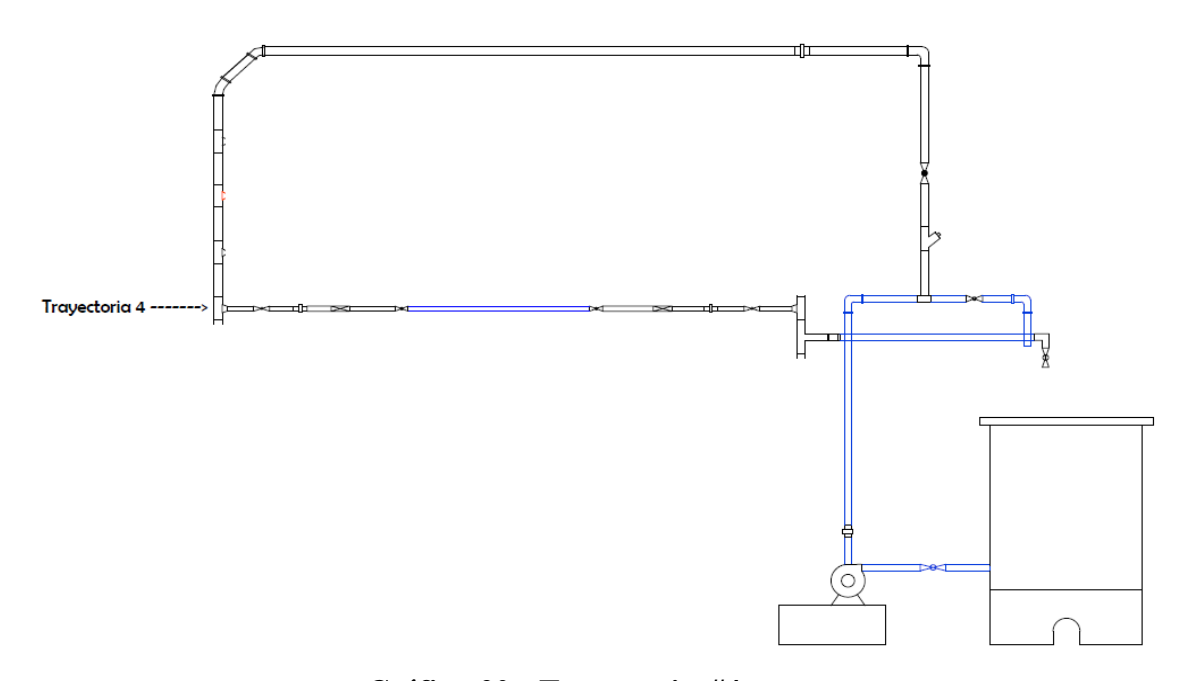


Gráfico 20 : Trayectoria #4

# Trayectoria #5

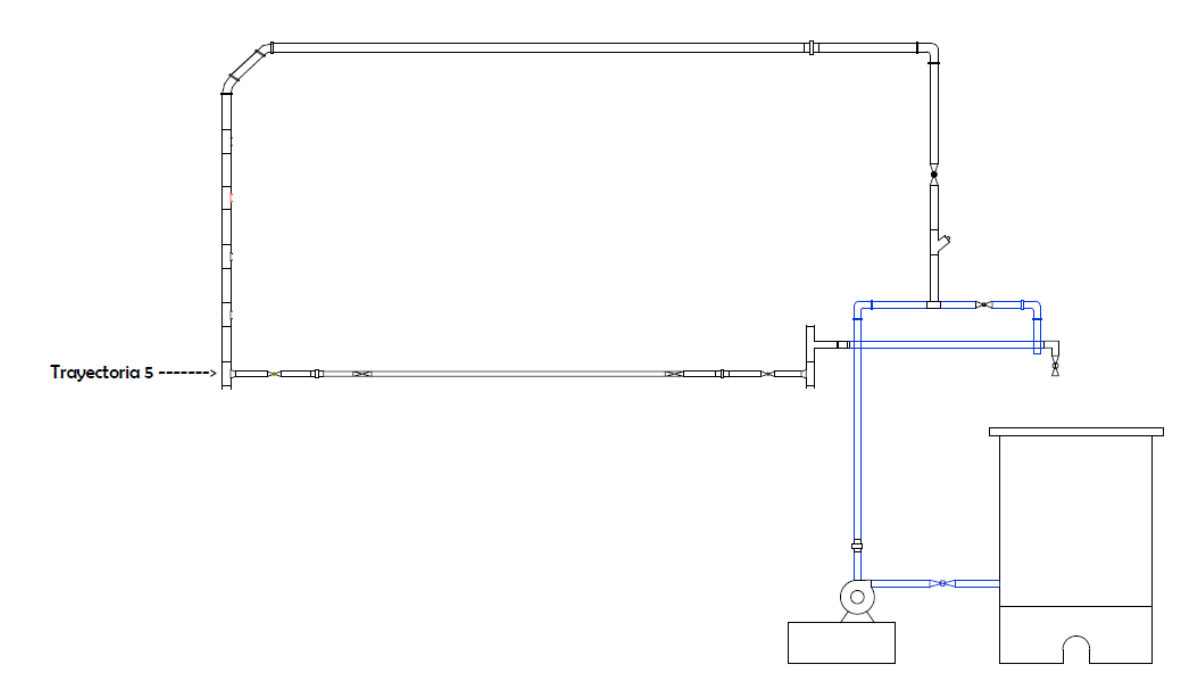


Gráfico 21 : Trayectoria #5

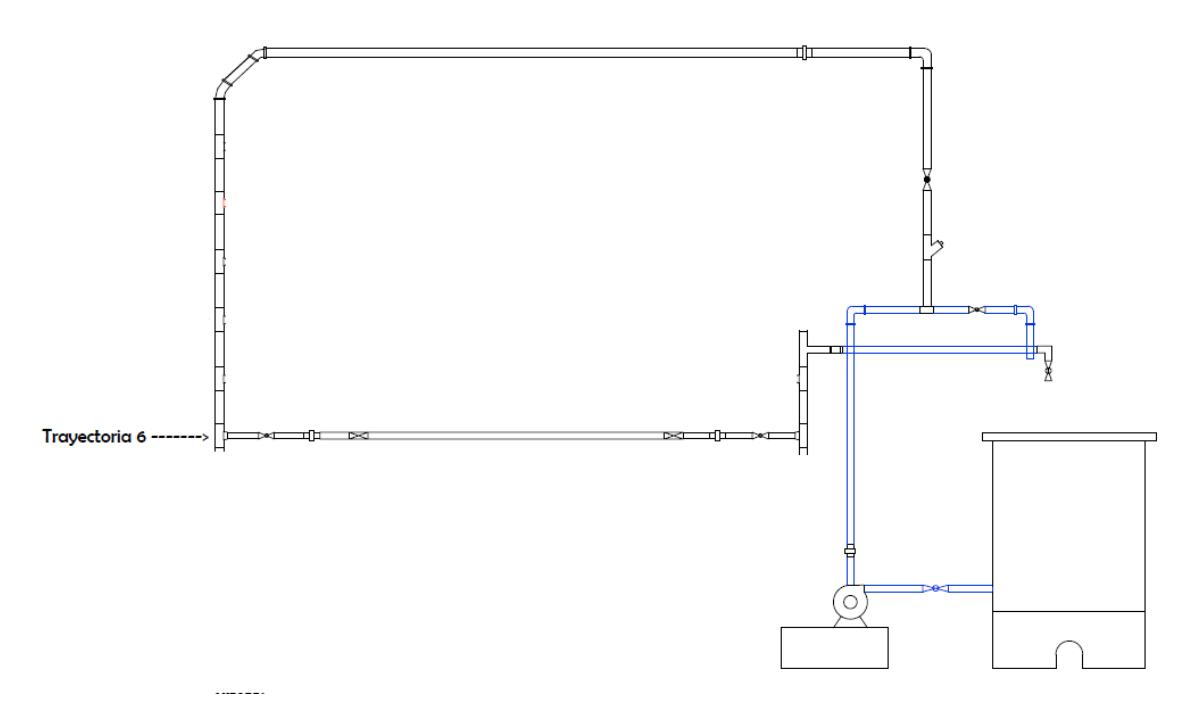


Gráfico 22 : Trayectoria #6

# Trayectoria #7

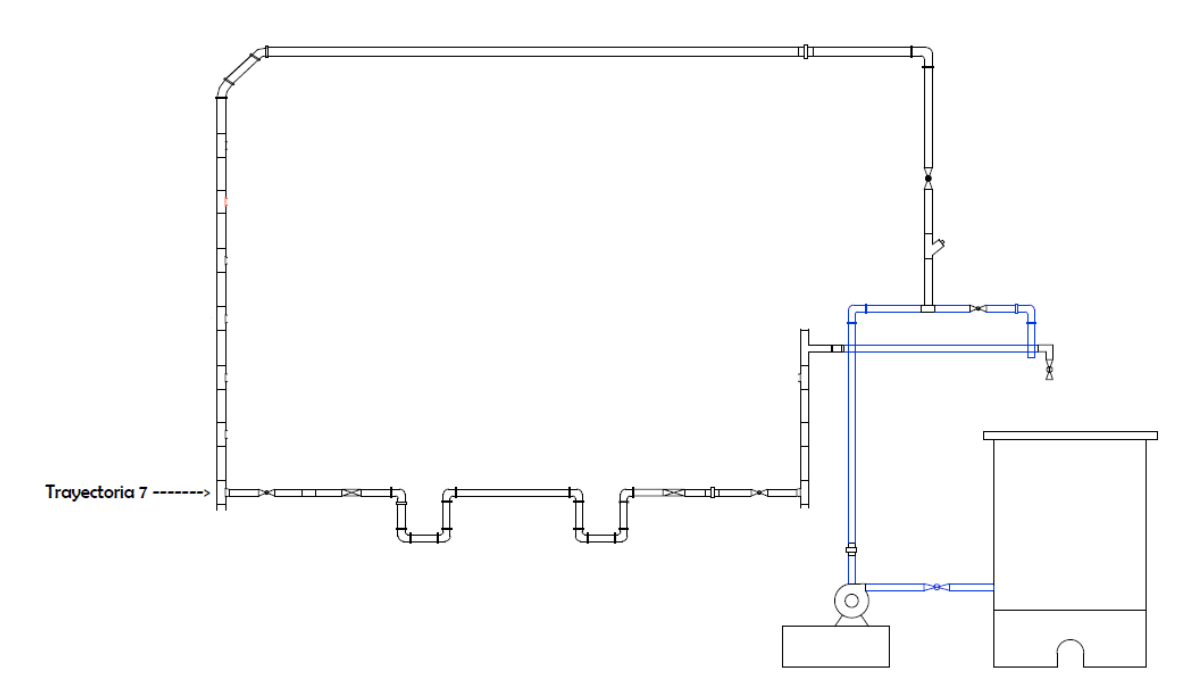


Gráfico 23 : Trayectoria #7

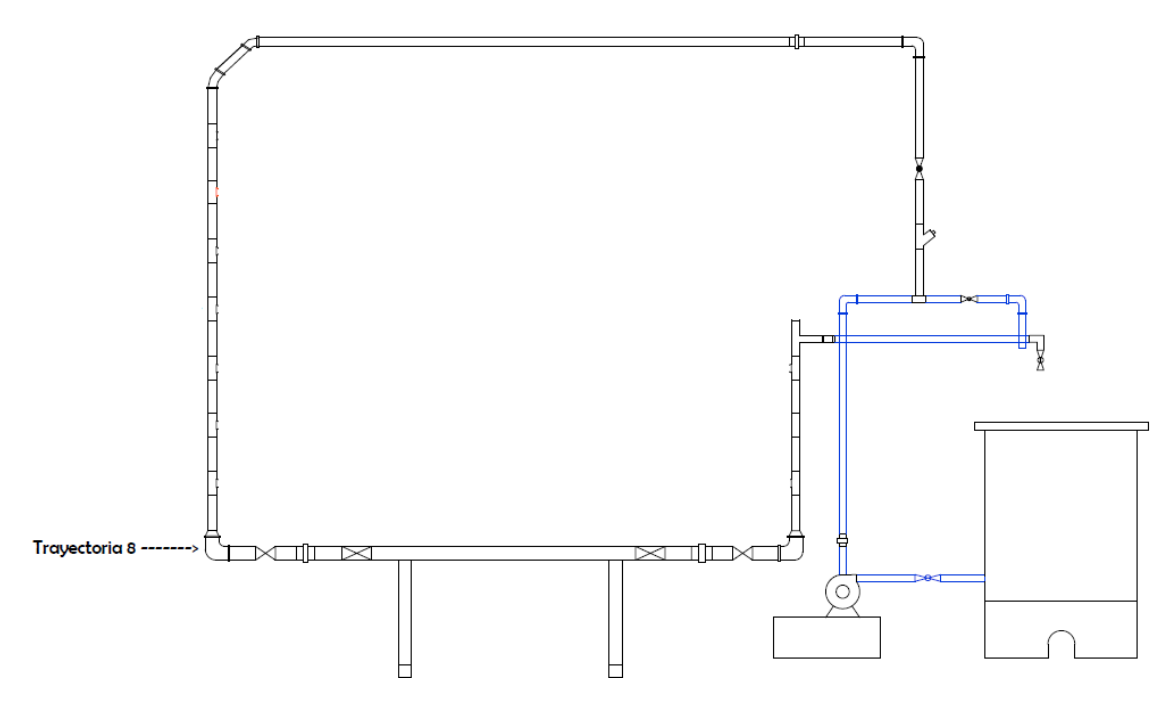


Gráfico 24 : Trayectoria #8

#### **Procedimiento**

El siguiente procedimiento se realiza para cada trayectoria establecida o escogida. Si se requiere determinar la pérdida de carga por todo el sistema hidráulico se suman los resultados de cada uno de las trayectorias evaluadas.

#### Pérdidas de carga por fricción de tubería (hf)

- Establecer el material y diámetro de tubería de la trayectoria, en el caso que existan dos o más tuberías diferentes ya sea en diámetro o material se calcula su valor independiente.
- 2. Determinar la longitud de cada tramo de la tubería.
- 3. Mediante la ecuación de continuidad obtenemos la velocidad del fluido.
- 4. Determinar el número de Reynolds, previamente obtener la viscosidad cinemática del agua para las condiciones a las que se realiza la práctica.
- 5. Calcular la rugosidad relativa ( $\epsilon$ /Di). Previamente obtener la rugosidad absoluta  $\epsilon$  (tabla 2).
- 6. Mediante el diagrama de Moody (anexo 1) obtenemos el coeficiente de fricción f que va en función del N° de Reynolds y la rugosidad relativa.
- 7. Determinar las pérdidas de carga por fricción para el tramo establecido con la ecuación de Darcy-Weisbach.
- 8. Para obtener la pérdida de carga por fricción se realiza la sumatoria de cada pérdida por sección de tubería en el tramo escogido.
- 9. Si se desea obtener la pérdida de carga por fricción del sistema hidráulico se realizara la sumatoria de las pérdidas por fricción para cada tramo.

#### Pérdidas de carga por accesorios (hm)

El procedimiento para calcular la pérdida de carga que causan los diferentes accesorios de un sistema es:

- Establecer el material y diámetro de tubería de la trayectoria, en el caso que existan dos o más tuberías diferentes ya sea en diámetro o material se calcula su valor independiente.
- 2. Mediante la ecuación de continuidad obtenemos la velocidad del fluido.

- 3. Con ayuda de la tabla 4 encontrar (Le/Di) para cada válvula o accesorio.
- 4. Para la tubería de cualquier material donde está unido el accesorio de análisis:
  - a. Calcular la rugosidad relativa (ε/Di) del tubo.
  - b. Mediante el diagrama de Moody (anexo 1) obtenemos el coeficiente de fricción f que va en función del N° de Reynolds y la rugosidad relativa.
- 5. Determinar el coeficiente de resistencia (K):

$$K = f_T$$
 (Le/Di).

6. Calcular pérdida de carga por accesorios:

$$hm = K \frac{\vec{V}^2}{2g}.$$

Una vez obtenidos todos estos cálculos se procede a determinar la pérdida total:

$$h = (hf + hm)$$

#### Diferencial de presión

Además se calcula el diferencial de presión entre cada tramo mediante ésta fórmula:

$$\Delta P = L_b(\gamma_b - \gamma_a)$$

Siendo:

- $L_b$ = Longitud del diferencial observado en la columna de mercurio
- $\gamma_b$  = Peso específico de mercurio
- $\gamma_a$  = Peso específico del agua

Una vez obtenido el resultado en la columna, cerrar las válvulas de entrada de agua al diferencial para que se estabilice la medida.

Se puede comparar el resultado observando el diferencial en la columna de mercurio  $(L_b)$  que está en cm Hg.

### Fórmulas

Caudal	$Q=rac{volumen}{tiempo}$
Área	$A = \pi r^2$
N° Reynolds	$Re = rac{ec{V}_{prom} \ D}{\mu}$
Rugosidad relativa	$\varepsilon_r = \frac{\varepsilon}{D}$
Ec. de Darcy-Weisbach para pérdidas de carga por fricción	$hf = f \frac{L}{D} \frac{\vec{V}^2}{2g}$
Coeficiente de resistencia (K)	$K = f_T \left( \frac{Le}{Di} \right)$
Pérdida de carga por accesorios	$hm = K \frac{\vec{V}^2}{2g}$
Pérdida de carga total	h = (hf + hm)
Diferencial de presión	$\Delta P = L_m(\gamma_b - \gamma_a)$

Cálculos: Véase en Anexo 6

## Resultados

Tramo	h total (m)		
1	30,73		
2	54,75		
3	23,8		
4	8,34		
5	14,45		
6	3,86		
7	4,89		
8	3,34		

#### 11.1.2 Carga neta positiva de succión disponible (NPSHd)

#### Objetivo:

 Comprobar teóricamente la ausencia de cavitación en el equipo de Unidad de Pérdidas de Presión mediante la fórmula del NPSH disponible.

#### **Procedimiento:**

1. Calcular la carga de presión estática (hsp).

$$hps = \frac{Pabs}{\gamma} = \frac{Pman + Patm}{\gamma}$$

Siendo:

Pabs= Presión absoluta (KPa)

Pman= Presión manométrica (0) (KPa)

 $\gamma$ = Peso específico (KN/m<sup>3</sup>). Ver anexo 2

- 2. Estimar la altura de succión de la bomba (hs), en éste caso la succión está al nivel de la bomba, así que hs = 0.
- Determinar la pérdida de carga en la succión de la bomba (h). En éste caso es 0,4092m.
- 4. Calcular la carga de presión del líquido (hvp):

$$hvp = \frac{Pv}{v}$$

Siendo:

Pv= Presión de vapor del líquido a la temperatura de trabajo (3,52KPa). Ver en anexo #2

 $\gamma$ = Peso específico (KN/m<sup>3</sup>). Ver anexo #2

5 Comparar el resultado del NPSH disponible con el NPSH requerido valor establecido en las especificaciones de la bomba utilizada, (ver anexo #5). Si se cumple la siguiente condición:

$$NPSHd \ge NPSHr$$

No existe cavitación en la bomba.

#### Fórmulas

Carga Neta Positiva de Succión	$NPSHD = hsp \pm hs - hf - hvp$
Carga de presión estática	$hsp = \frac{Pman + Patm}{\gamma}$
Pérdida total de carga	h = (hf + hm)
Carga de presión del líquido	$hvp = \frac{Pv}{\gamma}$

#### **Cálculos**

#### Carga neta positiva de succión

$$NPSHd = hsp \pm hs - h - hvp$$

#### Cálculo de la carga de presión estática

$$hsp = \frac{Pman + Patm}{\gamma}$$

$$hsp = \frac{0 + 101,761KPa}{9,78815\frac{KN}{m^3}} = \frac{101,761\frac{KN}{m^2}}{9,78815\frac{KN}{m^3}}$$

$$hsp = 10,396 m$$

### Cálculo de la pérdida de carga total en la succión

#### PÉRDIDAS DE CARGAS POR FRICCIÓN

	MAT	DIÁME	DIÁME	LONGI	LONGI	VELOCI	Rey	3	3		hf
	ERI	TRO	TRO	TUD	TUD	DAD	nol	(m	rela	f	(m
	AL	(cm)	(m)	(cm)	(m)	(m/s)	ds	m)	tiva		)
								0,0	0,00	0,	0,0
CLICCIÓN	PVC	2,54	0,0254	16,8	0,168				0196	0	163
SUCCIÓN DE LA						1,34	1795	05	85	27	7
BOMBA						.,5.	4,97	0,0	0,00	0,	0,0
DOMBA	PVC	2,54	0,0254	22	0,22			0,0	0196	0	214
								US	85	27	4

#### PÉRDIDAS DE CARGAS POR ACCESORIOS

	ACCESOR	MATE	DIÁMET	DIÁMET	VELOCID	Le	-/5	-	.,	hm
	10	RIAL	RO (cm)	RO (m)	AD (m/s)	/D	ε/ <b>D</b>	Ft	K	(m)
SUCCIÓN DE LA BOMBA	VÁLVULA DE BOLA	PVC	2,54	0,0254	1,34	15 O	0,00 0197	0, 02 7	4, 0 5	0,37 14

$$h = (hf + hm)$$
  
 $h = 0.1852 + 0.3714 m = 0.5566 m$ 

### Carga de presión del líquido

$$hvp = \frac{Pv}{\gamma}$$

$$hvp = \frac{3,52KPa}{9,78815\frac{KN}{m^3}} = \frac{3,52\frac{KN}{m^2}}{9,78815\frac{KN}{m^3}} = \mathbf{0,3596} \, \mathbf{m}$$

# Cálculo de la carga neta positiva de succión

$$NPSHd = hsp \pm hs - h - hvp$$
   
  $NPSHd = 10,396 \ m \pm 0 - 0,5566 \ m - 0,3596 \ m$    
  $NPSHd = 9,4798 \ m$ 

#### Resultados

Carga Neta Positiva de Succión (m)	9,4798
Carga de presión estática (m)	10,396
Pérdida total de carga (m)	0,5566
Carga de presión del líquido (m)	0,3596

NPSHd  $\geq$  NPSHr 9,4798 m > 8,53 m NO EXISTE CAVITACIÓN EN LA BOMBA

# 11.2 PRUEBAS EXPERIMENTALES DE LA UNIDAD MEDIDORA DE FLUJO

#### 11.2.1 Tipo de flujo mediante Número de Reynolds

#### Objetivo:

 Calcular el número de Reynolds para establecer el tipo de flujo que circula por la tubería.

#### **Procedimiento:**

- 5. Llenar el tanque de alimentación hasta el aforo volumétrico.
- 6. Abrir la válvula de compuerta totalmente para dar paso al flujo.
- 7. Cerrar la válvula de paso.
- 8. Encender la bomba (ON), comienza a recircular el flujo.
- 9. Llenar hasta el aforo determinado para calcular el caudal promedio Qm.
- 10. Apagar el equipo (OFF)
- 11. Cálculo del caudal promedio:
  - a. Colocar un tapón en cualquiera de los dos recipientes ya sea en el de 25 litros o en el de 12 litros, cuando la salida del equipo empiece a llenar el tanque inmediatamente tomar el tiempo de llenado hasta un aforo determinado. Repetir éste paso mínimo 5 veces para obtener un valor más real.
  - b. Usar la fórmula de caudal que relaciona Volumen/tiempo.
- 6. Calcular la velocidad del flujo  $\vec{V}$ 
  - a. Previo a esto necesitamos determinar el área de la sección transversal, ésta se calcula obteniendo el diámetro de salida de la descarga del equipo.
  - b. Una vez obtenida el área y caudal se puede usar la fórmula de  $\vec{V}$  para determinarla.

#### 7. Calcular el N° Reynolds:

a. Para determinar el N° de Reynolds mediante la fórmula  $Re = \frac{\vec{v}_{prom}D}{\mu}$ , es necesario tener el valor de la viscosidad cinemática del fluido con que se realiza la práctica en éste caso agua.

- b. Con ayuda de la tabla en el anexo 2 se busca la viscosidad dinámica y la densidad de acuerdo a la temperatura a la que se encuentra el agua, en caso de no visualizar el valor de temperatura deseado se realiza una interpolación.
- c. Para obtener el valor de la viscosidad cinemática se multiplica por la densidad del fluido.
- d. El diámetro usado en la fórmula es el de salida del equipo y el valor de la velocidad  $(\vec{V})$  se divide para  $2(\vec{V}_{prom})$ .
- e. Determinando todos estos datos se procede a reemplazar en la fórmula y si observa el valor: N° Reynolds menor a 2300 flujo laminar; mayor a 4000 flujo turbulento, zona de transición debe ser mayor a 2300 y menor a 4000.

#### Fórmulas

Caudal	$Q = rac{volumen}{tiempo}$
Área	$A = \pi r^2$
Velocidad	$\vec{V} = \frac{Q}{A}$
Velocidad promedio	$ec{V}_{prom} = rac{ec{V}}{2}$
N° Reynolds	$Re = \frac{\vec{V}_{prom} \ D}{\mu}$
Interpolación	$y = \frac{(y_{2} - y_{1})}{(x_{2} - x_{1})}(x_{2} - x) + y_{1}$

## Cálculos

CÁLCULO DEL CAUDAL						
# PRUEBA	VOLUMEN (1)	VOLUMEN (m3)	TIEMPO (s)	Caudal (m3/s)		
1	20	0,02	16,22	0,0012330		
2	20	0,02	16,4	0,0012195		
3	20	0,02	16,67	0,0011998		
4	20	0,02	16,7	0,0011976		
5	20	0,02	16,45	0,0012158		
6	20	0,02	16,48	0,0012136		
7	20	0,02	16,56	0,0012077		
8	20	0,02	16,78	0,0011919		
9	20	0,02	16,36	0,0012225		
10	20	0,02	16,56	0,0012077		

`Caudal Prom	0.001210017
(Qm) (m3/s) =	0,001210917

## CÁLCULO DEL ÁREA DE LA SECCIÓN TRANSVERSAL

Diám. (cm)	Diám. (m)	Radio (m)	<b>π</b> (Pi)	Á. de la Sec. Tranv. (m2)
2,54	0,0254	0,0127	3,14159265	0,00050671

	CÁLCULO DE LA VELOCIDAD				
Prueba	Caudal (m3/S)	Área (m2)	Velocidad (m/s)		
1	0,0012330	0,00050671	2,433447		
2	0,0012195	0,00050671	2,406738		
3	0,0011998	0,00050671	2,367757		
4	0,0011976	0,00050671	2,363503		
5	0,0012158	0,00050671	2,399423		
6	0,0012136	0,00050671	2,395055		
7	0,0012077	0,00050671	2,383485		
8	0,0011919	0,00050671	2,352235		
9	0,0012225	0,00050671	2,412623		
10	0,0012077	0,00050671	2,383485		
	Velocidad media	,	2,389774929		

CÁLCULO DEL NÚMERO DE REYNOLDS					
Veloc. media Vel media/2 Diámetro Visc dinámica Visc. Cinemática Reyno					
(m/s)	(m/s)	( <b>m</b> )	(kg/m.s)	(m2/s)	ds
2,389774929	1,194887464	0,0254	9,4630E-04	9,4872E-07	31990,
					6

Tabla de Viscosidad y Densidad					
<b>Temp.</b> (°C) V. din (kg/ms) Densidad (m3/s)					
20	1,009E-03	998,2			
30	8,000E-04	995,7			

Interpolación para determinación de Densidad a 27°C					
Temp. (°C) Densidad (Kg/m3)					
Límite Inf (x1)	20	998,2	y1		
Límite Sup (x2)	30	995,7	y2		
Valor (x)	27	9,9745E+02	Y		

Interpolación para determinación de viscosidad dinámica a 27°C					
Temp. (°C) V. din (kg/ms)					
Límite Inf (x1)	20	1,009E-03	y1		
Límite Sup (x2)	30	8,000E-04	у2		
Valor (x)	27	9,4630E-04	Y		

# Resultados

Caudal Prom (Qm) (m3/s)	0,001210917
Á. de la Sec. Tranv. (m2)	0,00050671
Velocidad media	2,389774929
Visc. Cinemática (m2/s)	9,4872E-07
Reynolds	Flujo Turbulento 31990,6 > 4000

# 11.2.2 Velocidad del fluido de acuerdo al diámetro de reducción interno en el equipo.

#### Objetivo:

Determinar la velocidad del fluido por cada diámetro de reducción interna (1"
 -3/4" - 1/2") que se encuentra en la unidad medidora de flujo.

#### **Procedimiento:**

- 1. Llenar el tanque de alimentación hasta el aforo volumétrico.
- 2. Abrir la válvula de compuerta totalmente para dar paso al flujo.
- 3. Cerrar la válvula de paso.
- 4. Encender la bomba (ON), comienza a recircular el flujo.
- 5. Llenar hasta el aforo determinado para calcular el caudal promedio Qm.
- 6. Apagar el equipo (OFF)
- 7. Cálculo del caudal promedio:
  - a. Colocar un tapón en cualquiera de los dos recipientes ya sea en el de 25 litros o en el de 12 litros, cuando la salida del equipo empiece a llenar el tanque inmediatamente tomar el tiempo de llenado hasta un aforo determinado. Repetir éste paso mínimo 5 veces para obtener un valor más real.
  - b. Usar la fórmula de caudal que relaciona Volumen/tiempo.
- 8. Calcular la velocidad del flujo  $\overrightarrow{V_1}$ 
  - a. Previo a esto necesitamos determinar el área de la sección transversal, ésta se calcula obteniendo el diámetro de salida de la descarga del equipo.
  - b. Una vez obtenida el área y caudal se puede usar la fórmula de  $\overrightarrow{V_1}$  para determinarla.
- 9. Calcular la velocidad del flujo  $\overrightarrow{V_2}$ 
  - a. Se necesita el área de la sección transversal de la reducción interna del equipo ya se 1 pulg 2,54cm, <sup>3</sup>/<sub>4</sub> pulg. 1,905cm y <sup>1</sup>/<sub>2</sub> pulg 1,27cm.
  - b. Con ayuda de la ecuación de la continuidad  $A_1 \vec{V}_1 = A_2 \vec{V}_2$ , obtenemos  $\vec{V}_2$  despejando de la fórmula.

## Fórmulas

Caudal	$Q = rac{volumen}{tiempo}$
Área	$A = \pi r^2$
Velocidad	$\vec{V} = \frac{Q}{A}$
Ecuación de la Continuidad	$A_1 \vec{V}_1 = A_2 \vec{V}_2$

## Cálculos

CÁLCULO DEL CAUDAL					
# PRUEBA	VOLUMEN (I)	VOLUMEN (m3)	TIEMPO (s)	Caudal (m3/s)	
1	20	0,02	16,22	0,0012330	
2	20	0,02	16,4	0,0012195	
3	20	0,02	16,67	0,0011998	
4	20	0,02	16,7	0,0011976	
5	20	0,02	16,45	0,0012158	
6	20	0,02	16,48	0,0012136	
7	20	0,02	16,56	0,0012077	
8	20	0,02	16,78	0,0011919	
9	20	0,02	16,36	0,0012225	
10	20	0,02	16,56	0,0012077	

Caudal Prom	0.001210017
(Qm) (m3/s) =	0,001210917

CÁLCULO DEL ÁREA DE LA SECCIÓN TRANSVERSAL				
Diám. (cm)	Diám. (Pulg.)	Radio (m)	<b>π</b> (Pi)	Á. de la Sec. Tranv. (m2)
2,54	1	0,0127	3,14159265	0,00050671
1,905	3/4	0,00952	3,14159265	0,00028502
1,27	1/2	0,00635	3,14159265	0,00012668

	CÁLCULO DE LA VELOCIDAD				
Prueba	Caudal (m3/S)	Área (m2)	Velocidad (m/s)		
1	0,0012330	0,00050671	2,433447		
2	0,0012195	0,00050671	2,406738		
3	0,0011998	0,00050671	2,367757		
4	0,0011976	0,00050671	2,363503		
5	0,0012158	0,00050671	2,399423		
6	0,0012136	0,00050671	2,395055		
7	0,0012077	0,00050671	2,383485		
8	0,0011919	0,00050671	2,352235		
9	0,0012225	0,00050671	2,412623		
10	0,0012077	0,00050671	2,383485		
	Velocidad media		2,389774929		

CÁLCULO DE LA VELOCIDAD (V2)					
DIÁMETRO (pulg)	DIÁMETRO (cm)	ÁREA #1 (m2)	VEL. #1 (m/s)	ÁREA #2 (m2)	VEL. #2 (m/s)
1	2,54	0,00050671	2,389774929	0,00050671	2,389775
3/4	1,905	0,00050671	2,389774929	0,00028502	4,248489
1/2	1,27	0,00050671	2,389774929	0,00012668	9,5591

### Siendo:

- Área 1: salida de la descarga del equipo
- Velocidad 1: Velocidad del fluido en la descarga del equipo
- Área 2: área de la reducción (1 pulg, ¾ pulg o ½ pulg)
- Velocidad 2: Velocidad del fluido en la reducción

### Resultados

Velocidad en la reducción 1 pulgada (m/s)	2,389775
Velocidad en la reducción ¾ pulgada (m/s)	4,248489
Velocidad en la reducción ½ pulgada (m/s)	9,5591

# 11.2.3 Cálculo de las velocidades del fluido en las ubicaciones de los manómetros mediante la ecuación de Bernoulli.

#### **Objetivo:**

 Determinar la velocidad que posee el fluido en cada una de las ubicaciones de la unidad medidora de flujo mediante la ecuación de Bernoulli.

#### **Procedimiento:**

- 1. Llenar el tanque de alimentación hasta el aforo volumétrico
- 2. Abrir la válvula de compuerta totalmente para dar paso al flujo.
- 3. Cerrar la válvula de paso.
- 4. Encender la bomba (ON), comienza a recircular el flujo.
- 5. Cálculo del caudal promedio:
  - a. Colocar un tapón en cualquiera de los dos recipientes ya sea en el de 25 litros o en el de 12 litros, cuando la salida del equipo empiece a llenar el tanque inmediatamente tomar el tiempo de llenado hasta un aforo determinado. Repetir éste paso mínimo 5 veces.
  - b. Usar la fórmula de caudal que relaciona Volumen/tiempo.
- 6. Calcular la velocidad del flujo  $\overrightarrow{V_1}$  utilizando el diámetro de la tubería en el cual se encuentre instalado el manómetro.
  - a. Previo a esto necesitamos determinar el área de la sección transversal de la tubería en cuestión.
  - b. Una vez obtenida el área y caudal se puede usar la fórmula de  $\overrightarrow{V_1}$  para determinarla.
- 7. Calcular la velocidad del flujo  $\overline{V_2}$  utilizando la ecuación de Bernoulli para lo cual:
  - a. Se considera el valor de la presión del fluido indicada en el manómetro.
  - b. Se despeja el valor de  $\overrightarrow{V_2}$  de la ecuación de Bernoulli y se realizan los cálculos.
- 8. Se realizan los cálculos de las velocidades, en los puntos en los que se encuentren ubicados los manómetros

## Fórmulas

Caudal	$Q = \frac{volumen}{tiempo}$
Área	$A = \pi r^2$
Velocidad	$\vec{V} = \frac{Q}{A}$
Ecuación de Bernoulli	$P_1 + \frac{\overrightarrow{V_1}^2 \rho}{2} + z_1 = P_2 + \frac{\overrightarrow{V_2}^2 \rho}{2} + z_2$
Velocidad (Ecuación de Bernoulli)	$\vec{V}_2 = \sqrt{\frac{2\left(P_1 + \frac{\vec{V}_1^{'2}\rho}{2} - P_2\right)}{\rho}}$

# Cálculos:

Caudal Prom	0,001210917
(Qm) (m3/s) =	0,001210917

CÁLCULO DEL ÁREA DE LA SECCIÓN TRANSVERSAL				
Diám. (cm)	Diám. (Pulg.)	Radio (m)	<b>π</b> (Pi)	Á. de la Sec. Tranv. (m2)
3,81	1,5	0,01905	3,14159265	0,001140092

CÁLCULO DE LA VELOCIDAD EN EL MANÓMETRO #1			
Caudal (m3/s)	Área (m2)	Velocidad (m/s)	
0,001210917	0,001140092	1.06	

CÁLCULO DE LA VELOCIDAD EN EL MANÓMETRO #2 mediante la Ec. de Bernoulli			
Presión #1 (atm)	Velocidad #1 (m/s)	Presión #2 (atm)	Velocidad #2 (m/s)
0.476	1.06	0.408	3.76

CÁLCULO DE LA VELOCIDAD EN EL MANÓMETRO #3 mediante la Ec. de Bernoulli			
Presión #1 (atm)	Velocidad #1 (m/s)	Presión #2 (atm)	Velocidad #2 (m/s)
0.476	1.06	0.340	5,36

# 11.2.4 Determinación de la velocidad de descarga (m/s) por medio de distintos diámetros – Ley de Torricelli

#### Objetivo:

 Establecer la velocidad de descarga y el caudal de los tanques contenedores con varios diámetros de salida ( <sup>3</sup>/<sub>4</sub> pulg, <sup>1</sup>/<sub>2</sub> pulg) aplicando la Ley de Torricelli.

#### **Procedimiento:**

- 1. Llenar el tanque de alimentación hasta el aforo volumétrico.
- 2. Abrir la válvula de compuerta totalmente para dar paso al flujo.
- 3. Cerrar la válvula de paso.
- 4. Encender la bomba (ON), comienza a recircular el flujo.
- Llenar hasta el aforo determinado para calcular el tiempo de descarga en cada contenedor:
  - a. Colocar un tapón en cualquiera de los dos recipientes ya sea en el de
     25 litros o en el de 12 litros, llenar hasta un aforo escogido.
- 6. Apagar el equipo (OFF).
- 7. Retirar el tapón y simultáneamente con ayuda de un cronómetro tomar el tiempo de descarga de volumen para determinar el caudal experimental.
- 8. Usar la fórmula de caudal (V/t) para determinar el volumen descargada por unidad de tiempo. Realizar mínimo 5 veces para obtener un promedio
- 9. Se realiza los pasos anteriores para cada división del contenedor cambiando los diámetros de salida de los mismos por ¾ y ½ pulgada.

#### Fórmulas

Caudal	$oldsymbol{Q} = rac{volumen}{tiempo}$	
Caudal Teórico	$Q = A \vec{V}$	
Área	$A = \pi r^2$	
Velocidad de descarga-Ley de Torricelli	$\vec{V}^2 = \sqrt{2gh}$	

# Cálculos

CÁLCULO DEL ÁREA DE LA SECCIÓN TRANSVERSAL				
Diám. (cm)	Diám. (m)	Radio (m)	<b>π</b> (Pi)	Á. de la Sec. Tranv. (m2)
1,905	0,01905	0.00952	3,14159265	0,0002850
1,27	0,0127	0.00635	3,14159265	0,0001267

# Resultados

Volumen total del Contenedor: 25 litros

Volumen escogido: 20 litros

RECIPIENTE DE 20 LITROS					
Diámetro de descarga de ¾" Altura: 0.145m					
Velocidad	Á. de la Sec. Trans.	Caudal Teórico	Caudal experimental		
1,687 m/s	2,8502E-4m2	4,8074E-4m3	4,56E-4m3/s		
Diámetro de descarga de 1/2 " Altura: 0.145m					
Velocidad	Á. de la Sec. Trans.	Caudal Teórico	Caudal experimental		
1,687 m/s	1,2668E-4m2	2,1371E-4m3/s	2,075E-4m3/s		

Volumen total del Contenedor: 12 litros

Volumen escogido: 10 litros

RECIPIENTE DE 10 LITROS					
Diámetro de descarga de ¾" Altura: 0.15m					
Velocidad	Á. de la Sec. Trans.	Caudal Teórico	Caudal experimental		
1,716m/s	2,8502E-4m2	4,8909m3/s	4,68E-4 m3/s		
Diámetro de descarga de 1/2 " Altura: 0.15m					
Velocidad	Á. de la Sec. Trans.	Caudal Teórico	Caudal experimental		
1,716m/s	1,2668E-4m2	2,1738E-4m3/s	2,06E-4m3/s		

#### 12. RECURSOS A UTILIZARSE

# 12.1 RECURSOS HUMANOS

- Director de Tesis
- Tribunal de Revisión
- Docentes de la Carrera de Ingeniería Química
- Asesores y técnicos Internos y externos
- Autores de la Tesis

#### 12.2 RECURSOS OPERATIVOS

- Libros
- Internet
- Copias
- Asesoramiento Técnico
- Transporte
- Alimentación

#### 12.3 RECURSOS FINANCIEROS

•	Compra de materiales	\$ 1925.20
•	Internet	\$ 70.00
•	Transporte	\$ 253.00
•	Alimentación	\$ 180.00
•	Sustentación	\$ 100.00
•	Impresión de Tesis	\$ 180.00
•	Imprevistos	\$ 85.00

# 13. PRESENTACIÓN Y ANÁLISIS DE LOS RESULTADOS

# 13.1 UNIDAD DE PÉRDIDAS DE PRESIÓN

#### A. RESULTADOS

Tabla 13: Resultados de la Trayectoria#1

#### TRAYECTORIA #1

	Resultado	Unidad
h total	30,73	m
Diferencial de presión experimental	20	cm de Hg.
Diferencial de presión teórico	18,54	cm de Hg.

Tabla 14: Resultados de la Trayectoria #2

#### TRAYECTORIA #2

	Resultado	Unidad
h total	54,75	m
Diferencial de presión experimental	37	cm de Hg.
Diferencial de presión teórico	34,3	cm de Hg.

Tabla 15: Resultados de la Trayectoria #3

# TRAYECTORIA #3

	Resultado	Unidad
h total	23,8	m
Diferencial de presión experimental	15	cm de Hg.
Diferencial de presión teórico	13,91	cm de Hg.

Tabla 16: Resultados de la Trayectoria #4

#### TRAYECTORIA #4

	Resultado	Unidad
h total	8,34	m
Diferencial de presión experimental	19,5	cm de Hg.
Diferencial de presión teórico	18,08	cm de Hg.

Tabla 17: Resultados de la Trayectoria #5

#### TRAYECTORIA #5

	Resultado	Unidad
h total	14,45	m
Diferencial de presión experimental	6,5	cm de Hg.
Diferencial de presión teórico	6,03	cm de Hg.

Tabla 18: Resultados de la Trayectoria #6

#### TRAYECTORIA #6

	Resultado	Unidad
h total	3,86	m
Diferencial de presión experimental	3	cm de Hg.
Diferencial de presión teórico	2,78	cm de Hg.

Tabla 19: Resultados de la Trayectoria #7

## TRAYECTORIA #7

	Resultado	Unidad
h total	4,89	m
Diferencial de presión experimental	5,7	cm de Hg.
Diferencial de presión teórico	5,28	cm de Hg.

Tabla 20: Resultados de la Trayectoria #8

#### TRAYECTORIA #8

	Resultado	Unidad
h total	3,34	m
Diferencial de presión		
experimental	0,3	cm de Hg.
Diferencial de presión teórico	0,28	cm de Hg.

# Resultados comparativo de las pérdidas totales de carga de cada trayectoria

Tabla 21: Pérdidas totales de carga de cada trayectoria

Pérdida total de carga	
Tramo	ht (m)
1	30,73
2	54,75
3	23,8
4	8,34
5	14,45
6	3,86
7	4,89
8	3,34

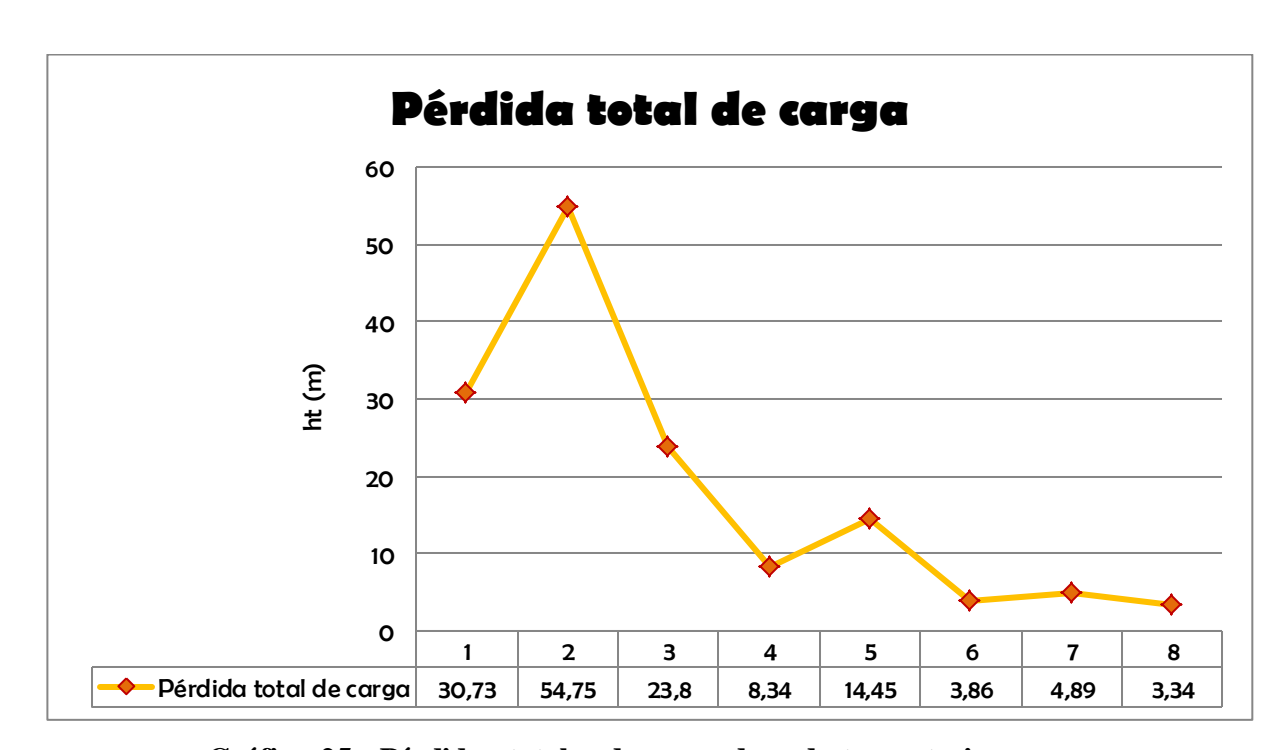


Gráfico 25 : Pérdidas totales de carga de cada trayectoria

Resultados comparativo de la Diferencia de Presión experimental y teórica de cada tramo

Tabla 22: Diferencia de Presión experimental y teórica de cada tramo

Diferencia de Presión		
Tramo	Dato experimental (cm Hg)	Dato teórico (cm Hg)
1	20	18,54
2	37	34,3
3	15	13,91
4	19,5	18,08
5	6,5	6,03
6	3	2,78
7	5,7	5,28
8	0,3	0,28

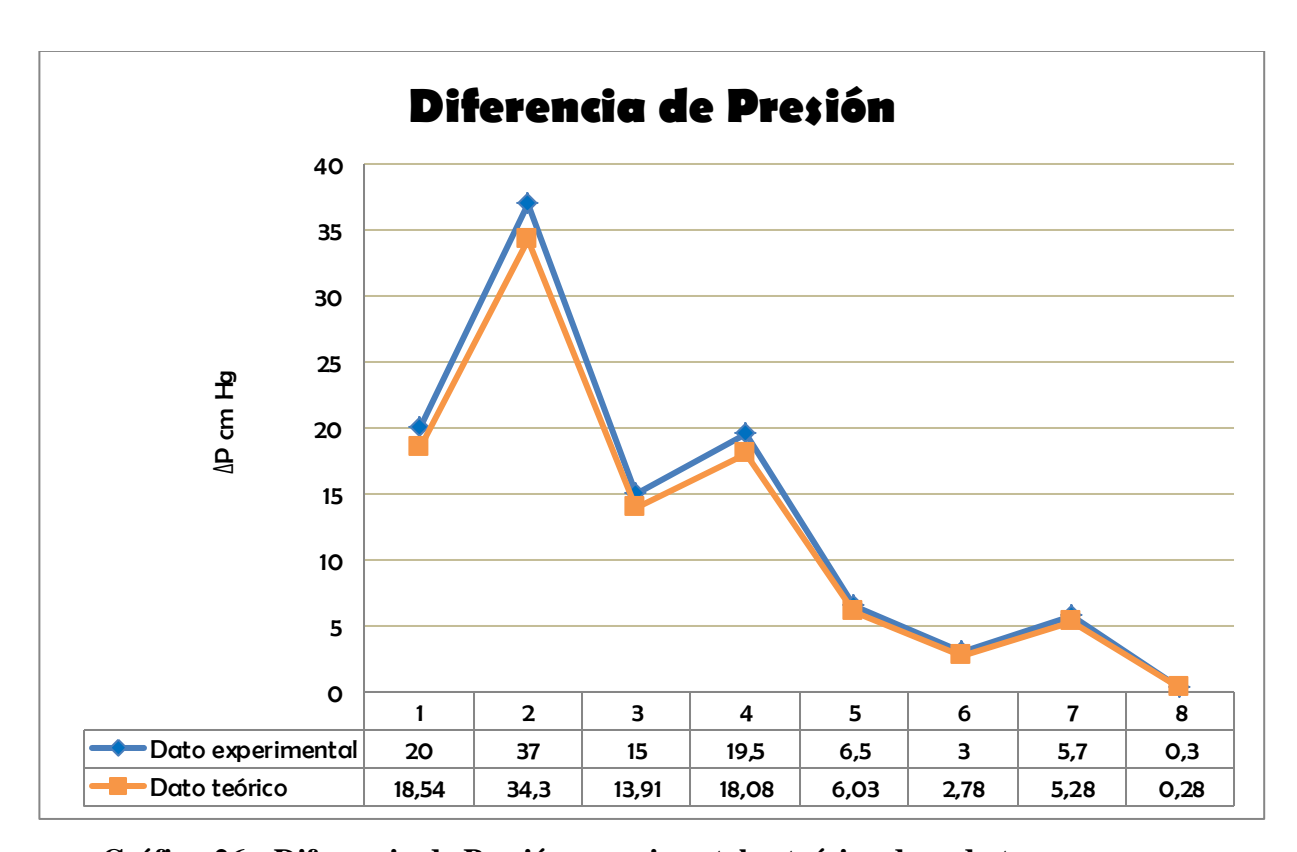


Gráfico 26: Diferencia de Presión experimental y teórica de cada tramo

## B. ANÁLISIS DE RESULTADOS

De acuerdo a los resultados obtenidos se analiza que:

- La pérdida de carga total se calcula mediante la sumatoria de las pérdidas de carga por fricción y pérdidas de carga por accesorios, en el resultado inciden distintos parámetros, entre los principales se nombra: el material de tubería, el diámetro, su rugosidad, accesorios, longitud de tubería.
- El material con mayor rugosidad de entre los evaluados en el equipo de pérdidas de presión es el hierro galvanizado con una rugosidad absoluta (ε) 0,15mm, mientras que la rugosidad media la posee el PVC con 0,005mm y por último la rugosidad menor se presenta en la tubería de cobre con 0,0015mm de rugosidad absoluta.
- Comparando las pérdidas totales de carga por cada trayectoria, se determinó que la mayor pérdida de carga se presentó en la trayectoria #2, con un valor de 54,75m a pesar de que la tubería es de cobre, sin embargo la presencia de válvulas de globos incrementa significativamente el resultado resaltando que dicha válvula presenta una longitud equivalente de 340 siendo éste valor el mayor de entre los accesorios presentes en la trayectoria.
- La trayectoria con menor cantidad de pérdidas de cargas fue la #8, con un valor de 3,34m, esto se debe a que la tubería solo posee dos válvulas de compuertas, notándose que la mayor cantidad de pérdidas se da por accesorio y no por fricción.
- El diámetro de tubería también es un factor que origina un aumento en la pérdida de carga total, ya que a menor diámetro mayor es la pérdida, notándose en las trayectorias #1, #2 y #3 con un diámetro de 1/2 pulg. presentan pérdidas de 30,73 m, 54,75 m y 23,8 m, respectivamente.

- La pérdida de carga total es un valor necesario, éste permite calcular la carga neta positiva de succión (NPSH) y así comprobar que no exista cavitación, fenómeno perjudicial en la bomba. De acuerdo a lo observado experimentalmente se deduce que no existe cavitación en la bomba y al comprobarlo teóricamente el resultado indica que el NPSH disponible es 9,4798m valor mayor al NPSH requerido 8,53m establecido en las especificaciones de la bomba, al cumplirse con la condición se verifica teóricamente que no existe cavitación.
- La diferencia de presión es directamente proporcional a la pérdida de carga total de una trayectoria teniendo como resultado que la mayor diferencia de presión se determinó en la #2 con un valor de 37cm Hg como dato experimental, mientras que en el teórico el valor fue de 34,3cm Hg. Por consiguiente el menor valor se presentó en la trayectoria #8 con un valor de 0,3cm Hg como dato experimental y 0,28cm Hg como dato teórico.
- Al obtener tanto datos experimentales como teóricos es posible hacer una relación entre estos valores, calculando el porcentaje de error de entre dichos valores se obtuvo el 7,3% resultado que se encuentra dentro del límite de error en experimentaciones.

# 13.2 UNIDAD MEDIDORA DE FLUJO

# A. RESULTADOS

Tabla 23: Resultados de la Unidad Medidora de Flujo

Párametro	Valor	Unidad
Caudal Promedio	0,00121092	$m^3/s$
Á. de la Secc. Transv. (1'')	0,00050671	m <sup>2</sup>
Á. de la Secc. Transv. (1 1/2")	0,00114009	m <sup>2</sup>
Á. de la Secc. Transv. (2'')	0,00202683	$m^2$
Velocidad (1")	2,38977493	m/s
Velocidad (1 1/2")	1,06212219	m/s
Velocidad (2")	0,59744373	m/s
N° Reynolds (1")	31990,6465	Adimensional
N° Reynolds (1 1/2")	21327,0976	Adimensional
N° Reynolds (2")	15995,3232	Adimensional
Velocidad Reducción (1")	2,38977493	m/s
Velocidad Reducción (3/4")	4,24848876	m/s
Velocidad Reducción (1/2")	9,55909972	m/s
Reynolds Reducción (1")	31990,6465	Adimensional
Reynolds Reducción (3/4")	42654,1953	Adimensional
Reynolds Reducción (1/2")	63981,2929	Adimensional

# Gráfico de la variación del flujo para determinación del caudal promedio

Tabla 24: Variación del caudal del flujo

CAUDAL	
PRUEBA	Caudal (m <sup>3</sup> /s)
1	0,001233
2	0,0012195
3	0,0011998
4	0,0011976
5	0,0012158
6	0,0012136
7	0,0012077
8	0,0011919
9	0,0012225
10	0,0012077

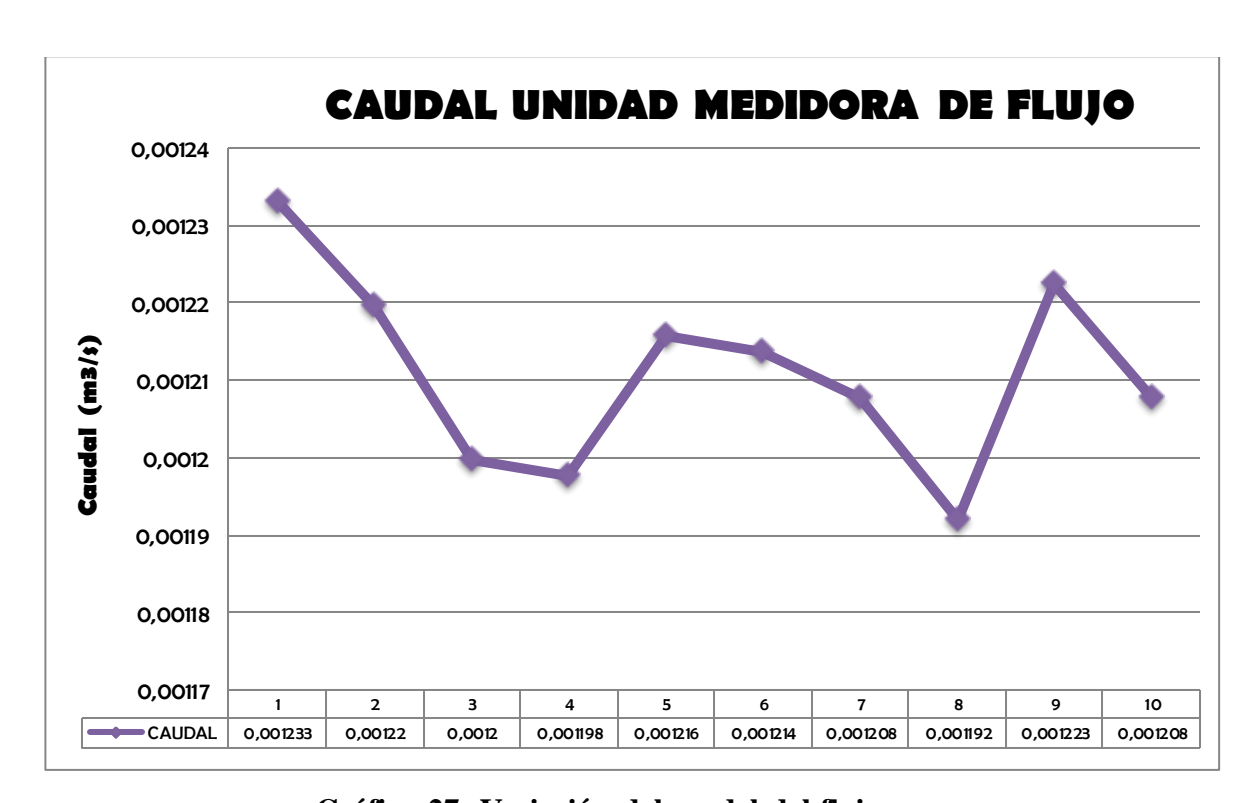


Gráfico 27: Variación del caudal del flujo

Resultados de la variación del flujo para determinación de la velocidad promedio

Tabla 25: Variación de la velocidad del flujo

VELOCIDAD	
PRUEBA Velocidad (m/s)	
1	2,433447
2	2,406738
3	2,367757
4	2,363503
5	2,399423
6	2,395055
7	2,383485
8	2,352235
9	2,412623
10	2,383485

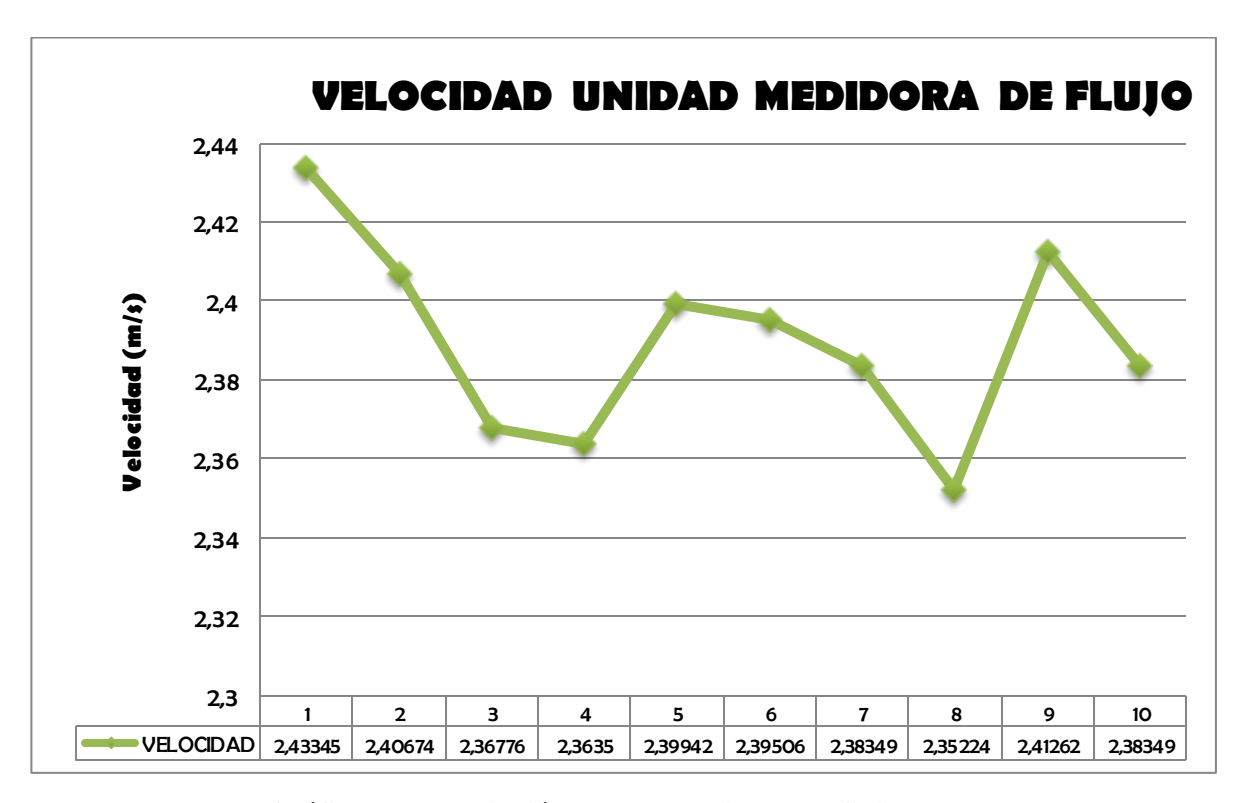


Gráfico 28 : Variación de la velocidad del flujo

Resultado demostrativo del aumento de la velocidad en función del diámetro.

Tabla 26: Aumento de la velocidad en función del diámetro

VELOCIDAD EN LAS REDUCCIONES		
DIÁMETRO (pulg) Velocidad (m		
1	2,389775	
3/4	4,248489	
1/2	9,5591	

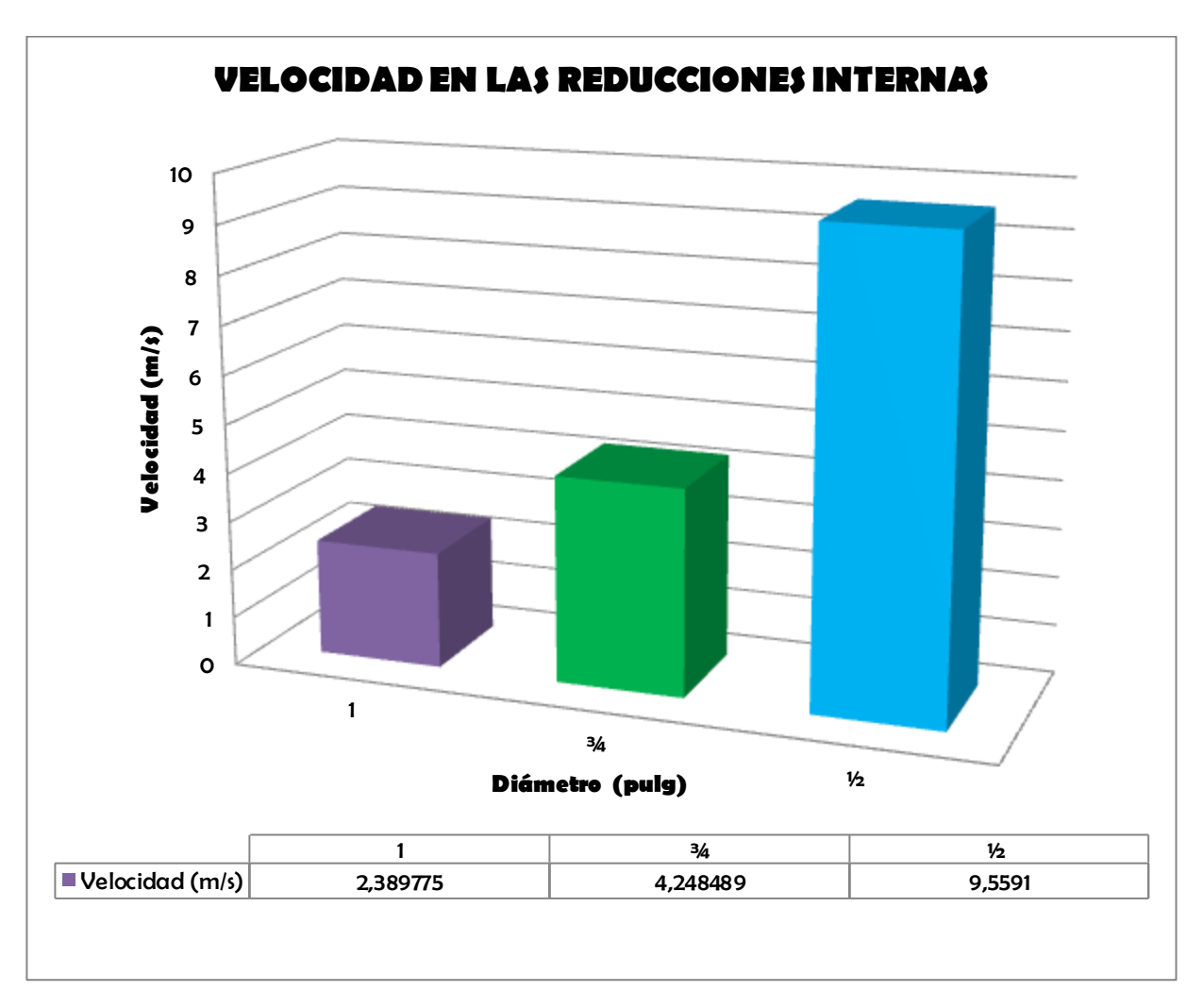


Gráfico 29: Aumento de la velocidad en función del diámetro

# Resultado demostrativo del incremento de la velocidad en las diferentes ubicaciones de los manómetros – Ecuación de Bernoulli

Tabla 27: Incremento de la Velocidad del fluido en función de la presión manométrica.

	Presión (atm)	Velocidad (m/s)
Manómetro #1	0,476	1,06
Manómetro #2	0,408	3,76
Manómetro #3	0,340	5,36

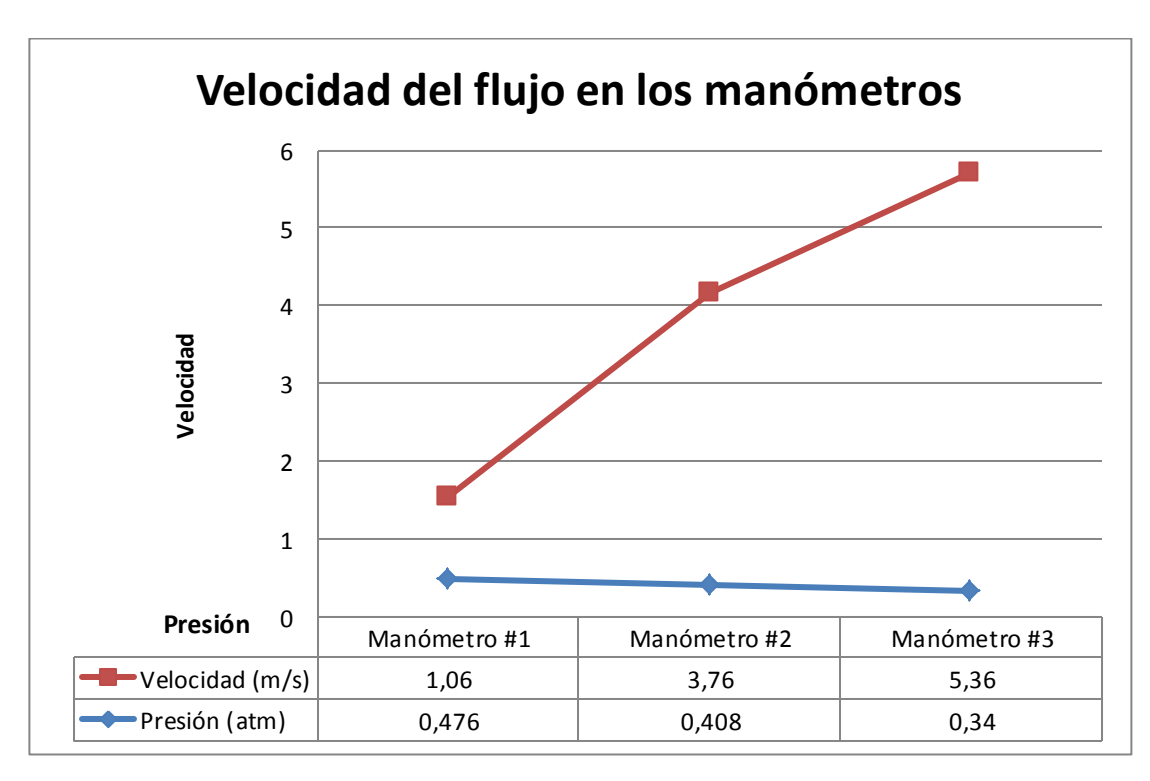


Gráfico 30: Incremento de la Velocidad del fluido en función de la presión manométrica.

Tabla 28: Variación de la velocidad de descarga ideal y real de un fluido hidrostático.

RECIPIENTE DE 20 LITROS	
Diámetro de descarga de ¾"	Altura: 0.145m
Velocidad ideal	Velocidad real
1,687 m/s	1.603m/s
Diámetro de descarga de 1/2"	<b>Altura:</b> 0.145m
Velocidad ideal	Velocidad real
1,687 m/s	1.603m/s
RECIPIENTE DE 10 I	LITROS
RECIPIENTE DE 10 I Diámetro de descarga de 3/4"	LITROS Altura: 0.15m
RECIPIENTE DE 10 I  Diámetro de descarga de ¾"  Velocidad ideal	
Diámetro de descarga de ¾"	Altura: 0.15m
Diámetro de descarga de ¾" Velocidad ideal	Altura: 0.15m Velocidad real
Diámetro de descarga de ¾"  Velocidad ideal  1,716m/s	Altura: 0.15m  Velocidad real  1.6302 m/s

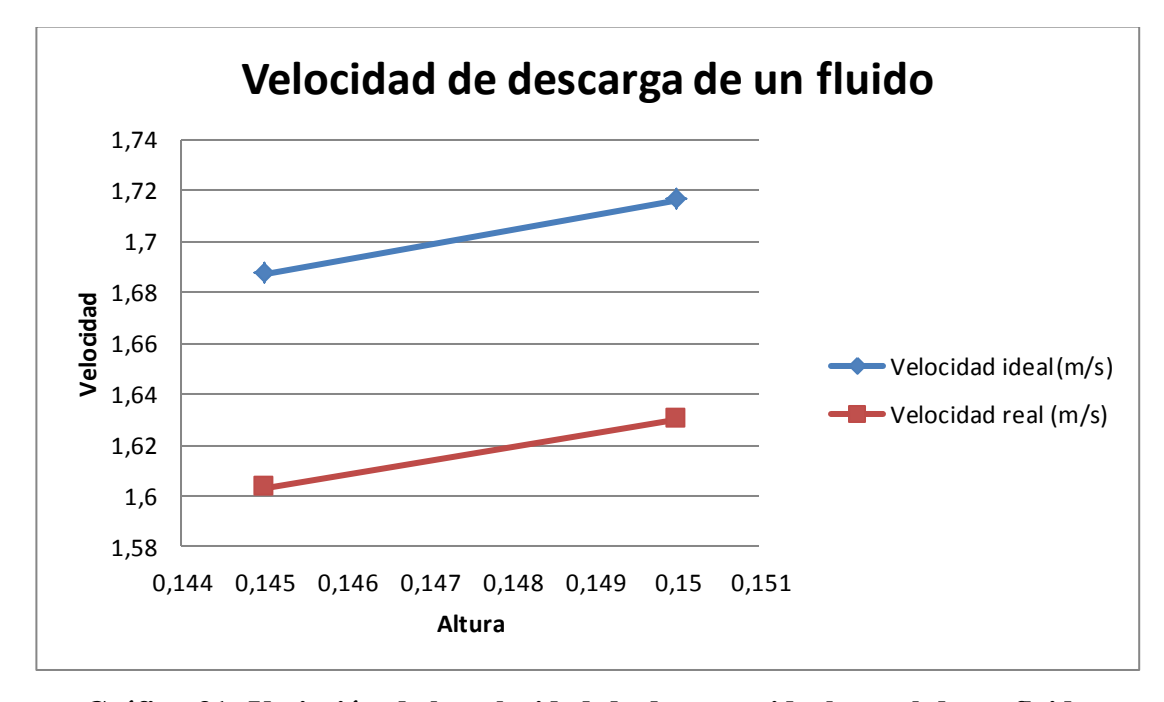


Gráfico 31: Variación de la velocidad de descarga ideal y real de un fluido hidrostático.

#### B. ANÁLISIS DE RESULTADOS

De acuerdo al resultado de las experimentaciones realizadas se deduce:

- Para determinar el caudal promedio de la unidad medidora de flujo se utilizó el método de la cubeta comparando éste resultado con el valor proporcionado por el rotámetro, instrumento adherido al sistema. El flujo observado en el rotámetro fue de 75 L/min, mientras que el resultado obtenido mediante la cubeta fue de 72,66 L/min, por ende el porcentaje de error es de 3,1%, es decir que la variación presentada es aceptable.
- El valor del caudal será constante en una tubería (de acuerdo a la ecuación de la continuidad), si a esta tubería se le conecta otra de mayor o menor diámetro el valor de la velocidad aumentará o se reducirá, con el fin de compensar, y mantener el valor constante del caudal.
- La velocidad del fluido es inversamente proporcional al diámetro de tubería, de acuerdo a los resultados obtenidos en la experimentación se identificó que en un diámetro de 1" la velocidad es de 2,3897m/s, en el de 3/4" es de 4,2484m/s y en el diámetro de 1/2" la velocidad del fluido es de 9,5590m/s, notándose el incremento de la velocidad en función de la reducción del diámetro de tubería.
- El número de Reynolds es inversamente proporcional al diámetro de la tubería, es decir cuando la tubería es de bajo diámetro el número de Reynolds será elevado, esto debido a la rotacionalidad de las partículas que se da en el interior de las tuberías, por lo contrario, cuando una tubería es de mayor diámetro el Reynolds tiende a disminuir, ya que el fluido podrá controlar la rotacionalidad en las tuberías disminuyendo el Reynolds drásticamente, el régimen de flujo presente en los diámetro de tuberías evaluadas se consideraron turbulentos ya que sobrepasaron el valor establecido de 4000

para régimen turbulento, los cuales fueron: 31990,64 para reducción de 1", 42654,19 para 3/4" y 63981,29 para 1/2".

- La presión que tiene el fluido dentro de una tubería es inversamente proporcional a la velocidad de la misma, es decir que al aumentar la velocidad del flujo la presión disminuirá, de acuerdo a la Ecuación de Bernoulli. Confirmándose esta deducción mediante los cálculos de las velocidades de flujo en las diferentes ubicaciones de los manómetros; siendo el manómetro #1 el que tenía la presión más elevada, de 0,476atm (7 psig) con una velocidad de1.06,m/s mientras que el manómetro #3 tenía una presión menor 0,340atm (5 psig) con una velocidad de 5,36m/s.
- En el proceso de descarga de un depósito, la velocidad de salida irá disminuyendo hasta el momento que alcance la altura de referencia del caño de la salida, cuando la velocidad será igual a cero. Se observó que la velocidad de salida no es constante, sino una función decreciente con respecto al tiempo. En las prácticas reales se utiliza el factor de corrección Cv que es igual a 0.95 para la mayoría de casos de descarga, no obstante en las prácticas ideales se considera un valor de corrección igual a 1 con el fin de omitir el factor de corrección.

#### 14. CONCLUSIONES Y RECOMENDACIONES

#### 14.1 CONCLUSIONES

Una vez finalizado el proyecto se concluye que:

- ➤ El rediseño de los sistemas hidrodinámicos didácticos del laboratorio de Operaciones Unitarias se realizó con la finalidad de preparar a los estudiantes para la realidad industrial y mediante el refuerzo práctico de la Mecánica de fluidos, asignatura básica de las ingenierías, beneficiando primordialmente a los estudiantes que se forman en la Escuela de Ingeniería Química.
- ➤ La Unidad de Pérdidas de Presión se valoró inicialmente en un 60% de funcionamiento óptimo de acuerdo a sus accesorios e instrumentos, que impedía obtener datos experimentales reales, además evitaba contrastar con lo teóricamente establecido en la bibliografía, luego de las modificaciones realizadas el equipo funciona al 90%, valor estimado debido a la condiciones actuales de las tuberías por el paso del tiempo.
- ➤ La Unidad Medidora de Flujo se evaluó en un 30% de funcionamiento óptimo, rediseñando las respectivas falencias se logró optimizar el equipo en un 100%.
- Dentro de los sistemas hidrodinámicos didácticos se rediseñó la Unidad de Pérdidas de Presión, equipo indispensable en el análisis de pérdida de carga dentro de un sistema hidráulico y de aplicación directa en la industria, y la Unidad Medidora de Flujo, que permite la medición del flujo mediante un instrumento de medición de caudal, además de poseer contenedores aforados que permitirán comparar el resultado observado en el rotámetro y la velocidad de descarga en relación al diámetro de salida.
- ➤ El rotámetro (medidor de flujo) de la Unidad Medidora de Flujo, permite comparar los resultados experimentales con los resultados teóricos, notándose una variación despreciable entre estos dos resultados; ya que se comparó el caudal observado en el flujómetro y el resultado mediante el método de la cubeta determinándose la variación del caudal, y obteniéndose una desviación de 3,1% con respecto a los m3/s que fluyen por el equipo.

- ➤ El diferencial de presión (Columna en U de mercurio), de la Unidad de Pérdidas de Presión es un instrumento que proporciona la lectura de presiones en dos puntos diferentes del tramo, de acuerdo a las pruebas experimentales del diferencial de presión se notó que el valor teórico está ligeramente por debajo del resultado experimental, pero no fuera de los límites aceptables. Las pruebas experimentales realizadas en los equipos permiten conocer resultados tanto teóricos como prácticos, y compararlos entre ellos, reduciendo el margen de error de 11,2% a 7,3%, valor aceptable en experimentaciones.
- Al comparar los datos experimentales con los teóricos se notan pequeñas variaciones, dichas variaciones se presentan por la sensibilidad y calibración del diferencial de presión de mercurio, ya que cualquier movimiento brusco provoca que dichos datos varíen repentinamente.
- ➤ En la Unidad de Pérdidas de Presión se realizó pruebas experimentales completas para el sistema hidráulico calculando las pérdidas de carga por fricción y por accesorios, obteniendo la pérdida total de cada tramo. Además en la Unidad Medidora de Flujo se realizaron prácticas experimentales para determinar caudal, velocidad, número de Reynolds; para la descarga y cada reducción interna implantada dentro del sistema además de calcular de velocidad de descarga de un depósito variando su diámetro.
- ➤ Los diagramas de los sistemas hidrodinámicos didácticos permiten una mejor visualización de cada uno de los equipos, con su respectiva simbología de cada trayectoria, accesorios e instrumentos. Además de sus respectivos manuales de operación y mantenimiento evitando así las futuros daños en el equipo por impericia.

#### 14.2 RECOMENDACIONES

De acuerdo a las conclusiones se recomienda:

- ➤ Gestionar ante las autoridades la adquisición de sistemas hidrodinámicos didácticos que trabajen con fluidos de diferentes propiedades físicas por ejemplo aceite, leche u otros fluidos que se utilicen en las industrias y así acercarse a la realidad de los procesos industriales.
- ➤ El paso del tiempo ocasiona corrosión en la Unidad de Pérdidas de Presión ya que el material de sus tuberías y accesorias son de metales por esto se recomienda recircular un inhibidor de corrosión denominado Rocor NB compuesto que protege a las líneas y elimina la corrosión
- Incrementar prácticas experimentales en los sistemas hidrodinámicos, tales como: cálculo de pérdidas de carga por piezas especiales (ampliación brusca, contracción brusca), de esta forma lograr el mayor aprovechamiento de los equipos.
- Para evitar la pérdida de mercurio contenido en el diferencial de presión y que éste ingrese a la línea de las trayectorias es recomendable cambiar las válvulas de bola ubicadas a la entrada del diferencial por válvulas de diafragma de paso restringido ya que éstas aislarían el mercurio del sistema hidráulico.
- Cambiar el diferencial de presión de mercurio por manómetros que posean un rango menor de presiones es decir que sean más sensibles, dicha recomendación se justifica en que el mercurio es una sustancia tóxica, cancerígena para los humanos y peligrosas para el medio ambiente.
- Aplicar el procedimiento del manual de operación, de mantenimiento y las guías prácticas bajo la supervisión del operador del Laboratorio y del docente responsable de la asignatura para evitar averías en los equipos consecuencia del mal manejo. Importante recalcar que el uso del Laboratorio de Operaciones Unitarias sea de uso primordial para los estudiantes de la Escuela de Ingeniería Química.
- Se recomienda que se apoyen visualmente en los diagramas de cada equipo para facilitar el desarrollo de las prácticas experimentales.

# **BIBLIOGRAFÍA**

- Guanutaxi, G. J. (14 de Septiembre de 2012). Diseño y construcción de un banco de pruebas para ensayos de pérdidas de carga en tuberías y accesorios.
   T-UCE-0011-14. Quito, Pichincha, Ecuador: Universidad Central del Ecuador.
- Ocón, J., & Tojo, G. (1980). Problemas de Ingeniería Química: Operaciones Básicas. España: Aguilar S.A.
- Foust, A.S., Wenzel, L. A., Clump, L. M., Andersen, L. B. (2006). *Principios de Operaciones Unitarias*. México: Editorial Continental
- Díaz, J. (2006). *Mecánica de los Fluidos e Hidráulica*. Cali, Colombia: Editorial Universidad del Valle
- Mott, Robert (1996). Mecánica de fluidos aplicada. Naucalpan de Juárez,
   México: Editorial Prentice Hall Hispanoamerica.
- GeanKoplis, C. J. (1998). Procesos de Transporte y Operaciones Unitaria,
   3era Ed. México: Editorial Continental
- Shames, I. H., (1995). Mecánica de Fluidos. Santa Fé de Bogotá, Colombia: McGRAW-HILL TNTERAMERICANA.
- McCabe, W. L., Smith, J. C., Harriot, P., (1991). Operaciones Unitarias en Ingeniería Química, 4ta Ed. España: EDIGRAFOS.
- Ocón J. y Tojo G. (1980) Problemas de Ingeniería Química Madrid, España.
   Editorial Aguilar
- Raymond A. Serway y John W. Jewett, (2008) Física para ciencias e ingeniería, séptima edición, México. Director editorial Latinoamérica: José Tomás Pérez Bonilla
- Frederick J. B., Eugene Hecht, (2007) Física General de Shaum, décima edición, décima edición, México. INTERAMERICANA EDITORES, S.A. DE C.V.
- Yunus A. Cengel y Jhon M. Cimbala, (2012) Mecánica de Fluidos.
   Fundamentos y aplicaciones, segunda edición, México.
   INTERAMERICANA EDITORES, S.A. DE C.V.

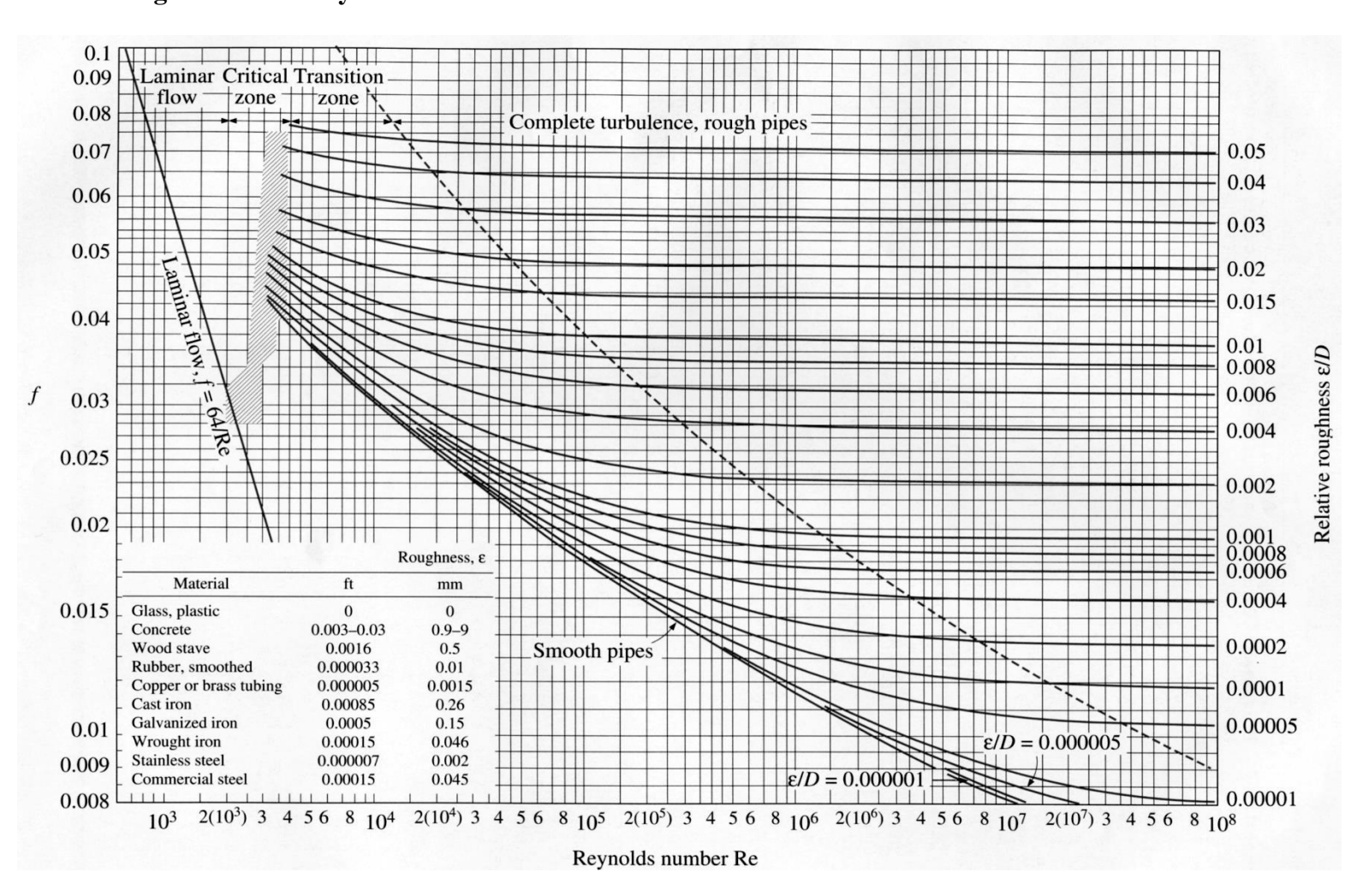
• Saldarriaga , (2012). Hidráulica de Tuberías. Bogotá: McGraw-Hill. p. 41-45.

## FUENTES DE INFORMACIÓN

- Miliarium Aureum, S. (20 de Mayo de 2001). *Miliarium.com*. Recuperado el 13 de Octubre de 2014, de Miliarium.com: http://www.miliarium.com
- DaironFísica. (2012). Hidrodinámica. Recuperado de http://daironfisica.wordpress.com
- Llosa Rodrigo (2008). Pérdidas de carga en tuberías. Perú: Pontificia Universidad Católica de Perú. Recuperado de http://corinto.pucp.edu.pe

#### **ANEXOS**

Anexo 1: Diagrama de Moody



Anexo 2: Propiedades Físicas del Agua (1atm)

PROPIEDADES FÍSICAS DEL AGUA (1atm)					
Temperatura (°C)	Peso específico (kN/m³)	Densidad (kg/m³)	Módulo de elasticidad (kN/m²)	Viscosidad dinámica (N·s/m²)	Presión de Vapor (Pa)
0	9,805	999,8	$1,98 \cdot 10^6$	$1,781 \cdot 10^{-3}$	600
5	9,807	1000,0	$2,05 \cdot 10^6$	$1,518 \cdot 10^{-3}$	850
10	9,804	999,7	$2,10 \cdot 10^6$	$1,307 \cdot 10^{-3}$	1210
15	9,798	999,1	$2,15 \cdot 10^6$	$1,139 \cdot 10^{-3}$	1680
20	9,789	998,2	$2,17 \cdot 10^6$	$1,009 \cdot 10^{-3}$	2310
30	9,764	995,7	$2,25 \cdot 10^6$	$0.80 \cdot 10^{-3}$	4190
40	9,730	992,2	$2,28 \cdot 10^6$	$0,653 \cdot 10^{-3}$	7380
50	9,689	988,0	$2,29 \cdot 10^6$	$0,547 \cdot 10^{-3}$	12330
60	9,642	983,2	$2,28 \cdot 10^6$	$0,466 \cdot 10^{-3}$	19920
70	9,589	977,8	$2,25 \cdot 10^6$	$0,404 \cdot 10^{-3}$	31160
80	9,530	971,8	$2,20 \cdot 10^6$	$0.354 \cdot 10^{-3}$	47340
90	9,466	965,3	$2,14 \cdot 10^6$	$0.315 \cdot 10^{-3}$	70100
100	9,399	958,4	$2,07 \cdot 10^6$	$0,282 \cdot 10^{-3}$	101325

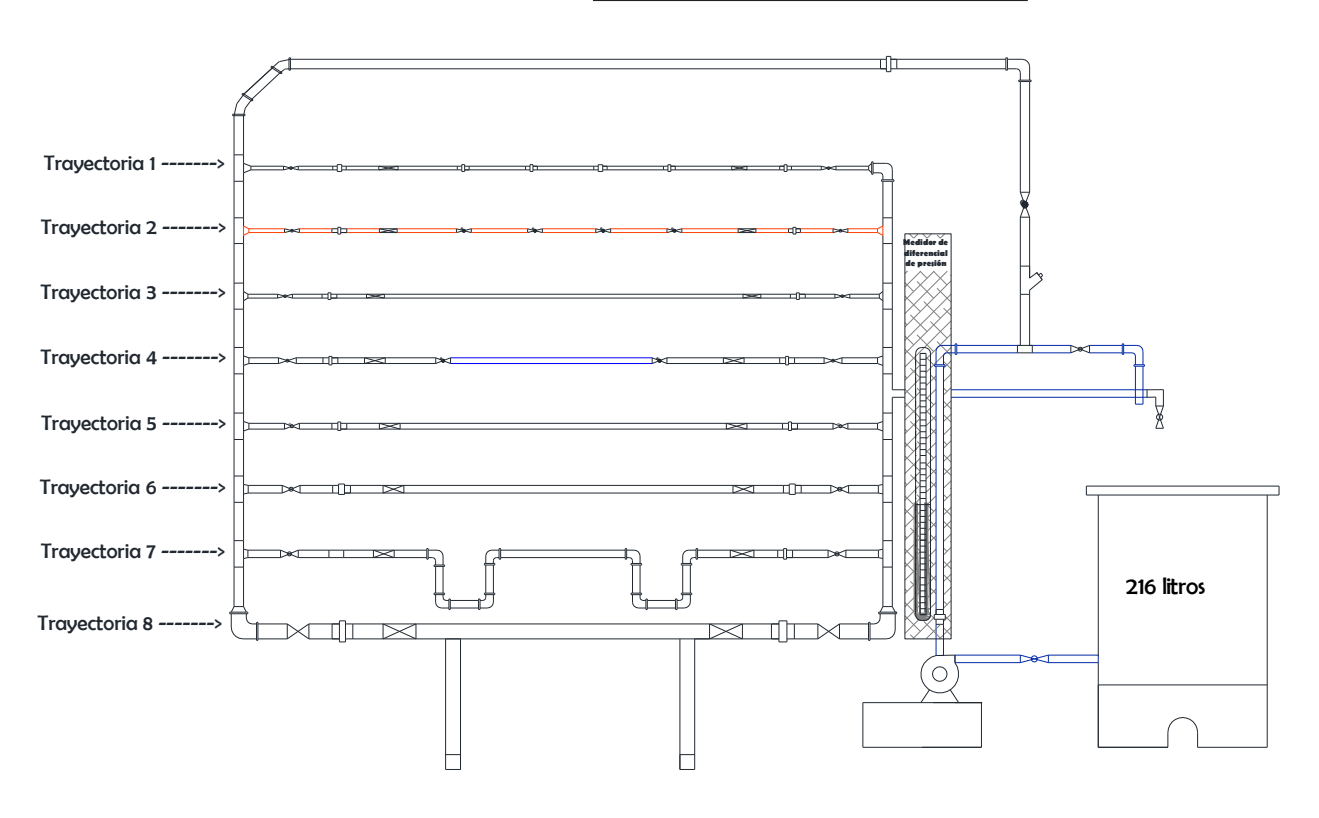
# Anexo 3: Diagrama de la Unidad de Pérdidas de Presión

Universidad Técnica de Manabí



Facultad de Ciencias Matemáticas, Físicas y Químicas Escuela de Ingeniería Química - Laboratorio de Operaciones Unitarias

#### Equipo: UNIDAD DE PÉRDIDAS DE PRESIÓN



Simbología de Instrumentación	
Accesorio	\$ímbolo
Válvula bola	<b>S</b>
Válvula globo	
Válvula de compuerta	
Nudo	Ф
Codo 90°	
Codo 45°	4
Conector Te	
Bomba	Q
Línea de hierro galvanizado	
Línea de PVC	
Línea de Cobre	

\$imbología de Trayectoria;		
Trayectoria	Diámetro interno (pulgada;)	Material
1	1/2	Hierro Galvanizado
2	1/2	Cobre
3	1/2	Hierro Galvanizado
4	3/4	Hierro Galvanizado y PVC
5	3/4	Hierro Galvanizado
6	1	Hierro Galvanizado
7	1	Hierro Galvanizado
8	2	Hierro Galvanizado

# Anexo 4: Diagrama de la Unidad Medidora de Flujo

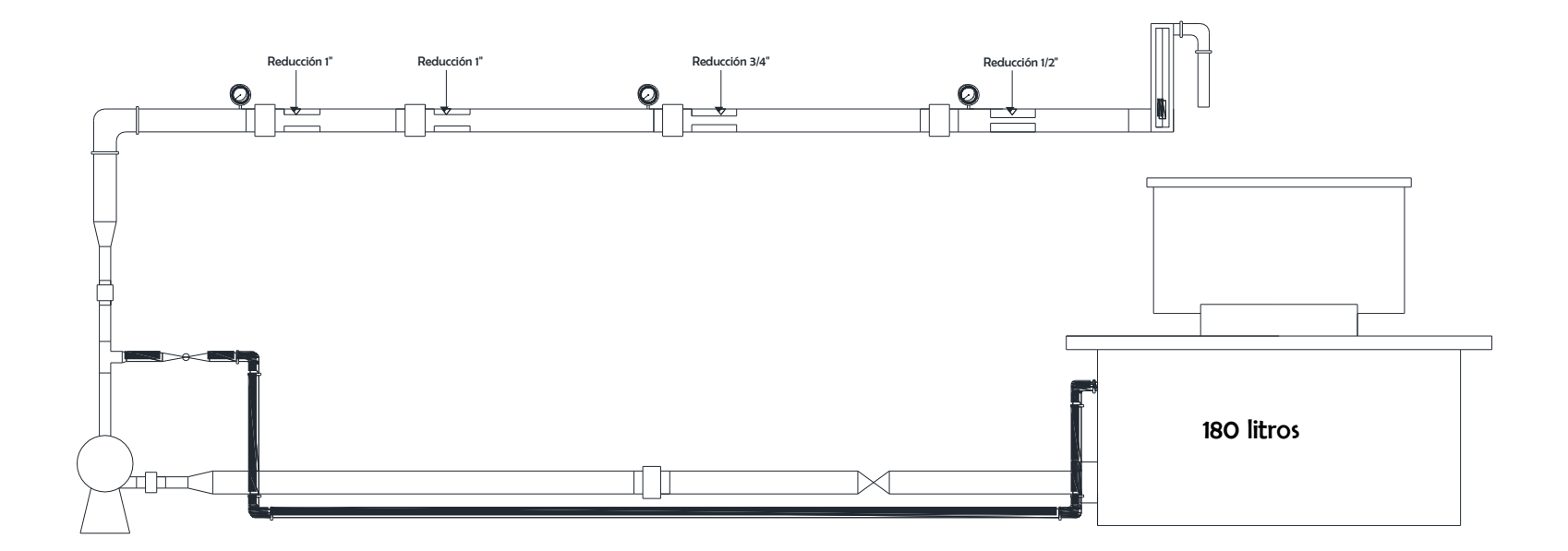
#### Universidad Técnica de Manabí



Facultad de Ciencias Matemáticas, Físicas y Químicas Escuela de Ingeniería Química - Laboratorio de Operaciones Unitarias

## Equipo: UNIDAD MEDIDORA DE FLUJO

Simbología de Instrumentación		
Accesorio Simbología		
Válvula de bola		
Válvula de compuerta		
Nudo	<u> </u>	
Codo 90°	$\overline{\Box}$	
Bomba	9	
Manómetro	Q	



Anexo 5: Especificaciones de la bomba

BOMBA PAOLO (0,55kW)	
Denominación: Bomba centrífuga, periférica	Fluido: <b>Agua</b>
CONDICIONES DE OPERACIÓN	
Caudal (m3/h)	5
Temperatura del líquido	-10 °C hasta +60 °C
NPSH requerido	8,53
CARACTERÍSTICAS BOMBA	
Eficiencia (%)	63
Diámetro del rodete máx.(mm)	141
Frecuencia (Hz)	60
Velocidad máxima de giro rodete (rpm)	3500
Potencia (KW)	0,55
Peso (Kg)	68

# Anexo 6: Cálculos de Prueba experimental Pérdidas Totales de Carga

H.G.: Hierro Galvanizado

#### CÁLCULO DE PÉRDIDAS DE CARGAS TRAMO #1

## PÉRDIDAS DE CARGAS POR FRICCIÓN

	MATER	DIÁMETR	DIÁMETRO	LONGITUD	LONGITU	VELOCIDAD	Reynol	3	3	f	hf (m)	
	IAL	O (cm)	( <b>m</b> )	(cm)	<b>D</b> (m)	(m/s)	ds	(mm)	relativa	1	III (III)	
	PVC	2,54	0,0254	16,8	0,168			0,005	0,00019	0,02	0,016374	
SUCCIÓN DE LA	1 VC	2,54	0,0234	10,6	0,108	1,341278234	17954,9	0,003	685	7	878	
BOMBA	PVC	2,54	0,0254	22	0,22		786	0,005	0,00019	0,02	0,021443	
	1 10	2,54	0,0254	22	0,22			0,003	685	7	293	
	PVC	2,54	0,0254	10,5	0,105			0,005	0,00019	0,02	0,010234	
	1 40	2,54	0,0254	10,5	0,103			0,005	685	7	299	
	PVC	2,54	0,0254	82	0,82			0,005	0,00019	0,02	0,079925	
	1 10	2,54	0,0254	02	0,02	1,341278234	17954,9	0,003	685	7	001	
	PVC	2,54 0,0254 20,5 0,205	786	0,005	0,00019	0,02	0,019981					
	1,0	2,5 1	0,0251	20,5	0,203				0,0	0,005	685	7
	H.G.	2,54	0,0254	7,8	0,078		0,15	0,00590	0,03	0,010136		
DES CARGA DE LA		,	,	ŕ	,				551	6	829	
BOMBA	H.G.	3,175	0,03175	17,2	0,172			0,15	0,00472	0,03	0,007121	
		·	,	,				,	441	5	172	
	H.G.	3,175	0,03175	16,5	0,165			0,15	0,00472	0,03	0,006831	
		·	,	,		0,85841807	14363,9		441	5	357	
	H.G.	3,175	0,03175	37,2	2 0,372	0,85841807	829	0,15	0,00472	0,03	0,015401	
					,					441	5	604
	H.G.	3,175	0,03175	36,8	0,368			0,15	0,00472	0,03	0,015235	
								,	441	5	995	

H.G.	3,175	0,03175	199	1,99			0,15	0,00472	0,03	0,082390					
	,	,		,			,	441	5	301					
H.G.	3,175	0,03175	12,9	0,129			0,15	0,00472	0,03	0,005340					
11.0.	5,170	0,00170	12,5	0,125			0,10	441	5	879					
H.G.	3,175	0,03175	13,2	0,132			0,15	0,00472	0,03	0,005465					
11.0.	3,173	0,03173	13,2	0,132			0,13	441	5	085					
H.G.	1,27	0,0127	10,6	0,106			0,15	0,01181	0,03	0,477557					
11.0.	1,27	0,0127	10,0	0,100			0,13	102	9	296					
H.G.	1,27	0,0127	9,8	0,098			0,15	0,01181	0,03	0,441515					
11.0.	1,27	0,0127	7,0	0,070			0,13	102	9	236					
H.G.	1,27	0,0127	10	0,1			0,15	0,01181	0,03	0,450525					
11.0.	1,27	0,0127	10	0,1			0,13	102	9	751					
H.G.	1,27	0,0127	19	0,19			0,15	0,01181	0,03	0,855998					
11.0.	1,27	0,0127	1)	0,17			0,13	102	9	927					
H.G.	1,27	0,0127	18,8	0,188			0,15	0,01181	0,03	0,846988					
11.0.	1,27	0,0127	10,0	0,100			0,13	102	9	412					
H.G.	1,27	0,0127	18,6	0,186	5,365112935	35909,9	0,15	0,01181	0,03	0,837977					
11.0.	1,27	0,0127	10,0	0,100		572	0,13	102	9	897					
H.G.	1,27	0,0127	18,6	0,186			0,15	0,01181	0,03	0,837977					
11.0.	1,27	0,0127	10,0	0,100			0,13	102	9	897					
H.G.	1,27	0,0127	19,4	0,194			0,15	0,01181	0,03	0,874019					
11.0.	1,27	0,0127	17,4	0,154			0,13	102	9	957					
H.G.	1,27	0,0127	9,7	0,097		7	0,15	0,01181	0,03	0,437009					
11.0.	1,27	0,0127	9,1	0,097			0,13	102	9	979					
H.G.	1,27	0,0127	10,5	0,105								0,15	0,01181	0,03	0,473052
11.0.	1,27	0,0127	10,5	0,103			0,13	102	9	039					
H.G.	1,27	0,0127	10	0,1								0,15	0,01181	0,03	0,450525
	1,27		10	0,1			0,15	102	9	751					
H.G.	3,175	0,03175	13,8	0,138	0,85841807	14363,9	0,15	0,00472	0,03	0,005713					

						829		441	5	498
H.G.	3,175	0,03175	13	0,13			0,15	0,00472	0,03	0,005382
11.0.	3,173	0,03173	13	0,13			0,13	441	5	281
H.G.	3,175	0,03175	12,1	0,121			0,15	0,00472	0,03	0,005009
11.0.	3,173	0,03173	12,1	0,121			0,13	441	5	662
PVC	2,54	0,0254	73	0,73	1,341278234	17954,9	0,005	0,00019	0,02	0,071152
170	<del>2,</del> 54	0,0254		0,73	1,3+12/0234	786	0,003	685	70	745
										7,366289

#### PÉRDIDAS DE CARGAS POR ACCESORIOS

	ACCESORIO	MATERIAL	DIAMETR O (cm)	DIAMETR O (m)	VELOCIDAD (m/s)	Le/D	ε/D	Ft	K	hm (m)
SUCCIÓN DE LA BOMBA	VÁLVULA DE BOLA	PVC	2,54	0,0254	1,341278234	150	0,000 197	0,027	4,05	0,371358 846
	NUDO	H.G .	2,54	0,0254		6	0,000 197	0,027	0,16	0,014854 354
	CODO ESTÁNDAR 90°	PVC	2,54	0,0254	1,341278234	30	0,000	0,027	0,81	0,074271 769
	TEE	H.G.	2,54	0,0254		20	0,000 197	0,027	0,54	0,049514 513
DES CARGA DE LA BOMBA	CODO ESTÁNDAR 90°	H.G.	3,175	0,03175		30	0,004 724	0,035	1,05	0,039435 559
201.211	VÁLVULA CHECK	HIERRO FUNDIDO	3,175	0,03175		100	0,004 724	0,035	3,5	0,131451 862
	VÁLVULA DE GLOBO	HIERRO FUNDIDO	3,175	0,03175	0,85841807	340	0,004 724	0,035	11,9	0,446936 332
	CODO ESTÁNDAR 90°	H.G.	3,175	0,03175		30	0,004 724	0,035	1,05	0,039435 559
	NUDO	H.G.	3,175	0,03175		6	0,004	0,035	0,21	0,007887

						724			112
CODO ESTÁNDAR 45°	H.G.	3,175	0,03175		16	0,004 724	0,035	0,56	0,021032 298
CODO ESTÁNDAR 90°	H.G.	3,175	0,03175		30	0,004 724	0,035	1,05	0,039435 559
TEE	H.G.	3,175	0,03175		20	0,004 724	0,035	0,7	0,026290 372
VÁLVULA DE BOLA	H.G.	1,27	0,0127		150	0,011 811	0,039	5,85	8,582515 56
NUDO	H.G.	1,27	0,0127		6	0,011 811	0,039	0,23	0,343300 622
TEE	H.G.	1,27	0,0127		20	0,011 811	0,039	0,78	1,144335 408
NUDO	H.G.	1,27	0,0127		6	0,011 811	0,039	0,23	0,343300 622
NUDO	H.G.	1,27	0,0127	5,365112935	6	0,011 811	0,039	0,23	0,343300 622
NUDO	H.G.	1,27	0,0127	3,303112733	6	0,011 811	0,039	0,23	0,343300 622
NUDO	H.G.	1,27	0,0127		6	0,011 811	0,039	0,23	0,343300 622
TEE	H.G.	1,27	0,0127		20	0,011 811	0,039	0,78	1,144335 408
NUDO	H.G.	1,27	0,0127		6	0,011 811	0,039	0,23	0,343300
VÁLVULA DE BOLA	H.G	1,27	0,0127		150	0,011	0,039	5,85	8,582515 56
CODO ESTÁNDAR DE 90°	H.G.	3,175	0,03175	0,85841807	30	0,004 724	0,035	1,05	0,039435 559

TEE	H.G.	3,175	0,03175		20	0,004 724	0,035	0,7	0,02629 372
TEE	H.G.	3,175	0,03175		20	0,004 724	0,035	0,7	0,026290 372
TEE	H.G.	3,175	0,03175		20	0,004 724	0,035	0,7	0,026290 372
TEE	H.G.	3,175	0,03175		20	0,004 724	0,035	0,7	0,026290 372
CODO ESTÁNDAR DE 90°	H.G.	2,54	0,0254	1,341278234	30	0,000 197	0,0270	0,81	0,074271 769
VÁLVULA DE BOLA	H.G.	2,54	0,0254	,-	150	0,000 197	0,0270	4,05	0,371358 846

23,36563

747

#### CÁLCULO DE PÉRDIDAS DE CARGAS TRAMO #2

#### PÉRDIDAS DE CARGAS POR FRICCIÓN

	MATER IAL	DIÁMETR O (cm)	DIÁMETRO (m)	LONGITUD (cm)	LONGITU D (m)	VELOCIDA D (m/s)	Reynol ds	ε (mm)	ε relativa	f	hf (m)
SUCCIÓN DE LA	PVC	2,54	0,0254	16,8	0,168			0,005	0,00019	0,02 75	0,01360 936
ВОМВА	PVC	2,54	0,0254	22	0,22			0,005	0,00019 685	0,02 75	0,01782 178
	PVC	2,54	0,0254	10,5	0,105	1,211613963	16219,2	0,005	0,00019 685	0,02 75	0,00850 585
	PVC	2,54	0,0254	82	0,82	1,211013703	32	0,005	0,00019	0,02 75	0,06642 665
	PVC	2,54	0,0254	20,5	0,205			0,005	0,00019 685	0,02 75	0,01660 666
	H.G.	2,54	0,0254	7,8	0,078			0,15	0,00590 551	0,03 6	0,00827 166
DES CARGA DE LA	H.G.	3,175	0,03175	17,2	0,172			0,15	0,00472 441	0,03 6	0,00729 739
вомва	H.G.	3,175	0,03175	16,5	0,165		0,15	0,00472 441	0,03 6	0,00955 611	
	H.G.	3,175	0,03175	37,2	0,372	0,775432936	12975,3	0,15	0,00472	0,03 6	0,00456 087
_	H.G.	3,175	0,03175	36,8	0,368		856	0,15	0,00472	0,03 6	0,03561 821
	H.G.	3,175	0,03175	199	1,99				0,15	0,00472	0,03 6
	H.G.	3,175	0,03175	12,9	0,129			0,15	0,00472	0,03 6	0,00338 807

H.G.	3,175	0,03175	13,2	0,132			0,15	0,00472	0,03	0,00597											
	2,2,2	3,000.0	,-	3,222			2,22	441	6	691											
H.G.	3,175	0,03175	12,3	0,123			0,15	0,00472 441	0,03 6	0,00573 366											
								0,00011	0,02	0,32260											
COBRE	1,27	0,0127	10,2	0,102			0,0015	811	3	906											
								0,00011	0,02	0,31914											
COBRE	1,27	0,0127	10,5	0,105			0,0015	811	3	015											
COBRE	1,27	0,0127	10,2	0,102			0,0015	0,00011	0,02	1,72578											
COBRE	1,27	0,0127	10,2	0,102			0,0013	811	3	505											
COBRE	1,27	0,0127	19,9	0,199			0,0015	0,00011	0,02	0,11187											
								811	3	25											
COBRE	1,27	0,0127	18,4	0,184			0,0015	0,00011	0,02	0,11447 418											
						32438,4		0,00011	0,02	0,10666											
COBRE	1,27	0,0127	18	0,18	4,846455852	639	0,0015	811	3	913											
								0,00011	0,02	0,22114											
COBRE	1,27	0,0127	17	0,17			0,0015	811	3	331											
COBRE	1,27	0,0127	18,4	0,184			0,0015	0,00011	0,02	0,22764											
COBRE	1,27	0,0127	10,4	0,104			0,0013	811	3	752											
COBRE	1,27	0,0127	10	0,1			0,0015	0,00011	0,02	0,22114											
								811	3	331											
COBRE	1,27	0,0127	10,7	0,107			0,0015	0,00011	0,02	0,43144											
																			811 0,00011	3 0,02	626 0,39892
COBRE	1,27	0,0127	9,7	0,097		0,0	0,0015	811	3	519											
								0,00472	0,03	0,61083											
H.G.	3,175	0,03175	13	0,13	0,775432936	12975,3	0,15	441	6	063											
H.G.	3,175	0,03175	12,1	0,121		856	0,15	0,00472	0,03	0,57689											
 I																					

Ī									441	6	559
	PVC	2,54	0,0254	73	0,73	1,211613963	16219,2 32	0,005	0,00019	0,02 75	0,47697 577
											6,0778

#### PÉRDIDAS DE CARGAS POR ACCESORIOS

SUCCIÓN DE LA	ACCESORIO	MATERIAL	DIÁMETR	DIÁMETR	VELOCIDA	Le/D	ε/D	Ft	K	hm (m)	
BOMBA	ACCESORIO	WATERIAL	O (cm)	O (m)	D (m/s)	LEID	ε/D	Ft	K	mm (m)	
	VÁLVULA DE BOLA	PVC	2,54	0,0254	1,211613963	150	0,00019	0,0275	4,12	0,30864	
	VALEVOLA DE BOLA	1 10	2,54	0,0234	1,211013703	150	685	0,0273	5	091	
	NUDO	H.G .	2,54	0,0254	1,211613963	6	0,00019	0.0275	0,16	0,01234	
			_,	3,020	3,23333730		685	3,3273	5	564	
	CODO ESTÁNDAR 90°	PVC	2,54	0,0254	1,211613963	30	0,00019	0,0275	0,82	0,06172	
			7-	2,42	,		685	,,,,,,,,,,,,,,,,,,,,,,,,,,,,,,,,,,,,,,,	5	818	
	TEE	H.G.	2,54	0,0254	1,211613963	20	0,00590	0,036	0,72	0,05387	
			,	ŕ	,		551			187	
DES CARGA DE LA	CODO ESTÁNDAR 90°	H.G.	3,175	0,03175	0,775432936	30	0,00472	0,036	1,08	0,03309	
BOMBA					,	0,773432730		441			888
	VÁLVULA CHECK	HIERRO	3,175	0,03175	0,775432936	100	0,00472	0,036	3,6	0,11032	
		FUNDIDO					441			959	
	VÁLVULA DE GLOBO	HIERRO	3,175	0,03175	0,775432936	340	0,00472	0,036	12,2	0,37512	
		FUNDIDO					441		4	059	
	CODO ESTÁNDAR 90°	H.G.	3,175	0,03175	0,775432936	30	0,00472	0,036	1,08	0,03309	
							441			888	
	NUDO	H.G.	3,175	0,03175	5 0,775432936	6	0,00472	0,036	0,21	0,00661	
							441		6	978	

CODO ESTÁNDAR 45°	H.G.	3,175	0,03175	0,775432936	16	0,00472	0,036	0,57 6	0,01765 273
CODO ESTÁNDAR 90°	H.G.	3,175	0,03175	0,775432936	30	0,00472	0,036	1,08	0,03309
TEE	H.G.	3,175	0,03175	0,775432936	20	0,00472	0,036	0,72	0,02206
TEE	H.G.	3,175	0,03175	0,775432936	20	0,00011	0,023	0,46	0,01409 767
VÁLVULA DE BOLA	H.G.	1,27	0,0127	4,846455852	150	0,00011	0,023	3,45	4,13017 652
NUDO	H.G	1,27	0,0127	4,846455852	6	0,00011	0,023	0,13	0,16520 706
TEE	H.G	1,27	0,0127	4,846455852	20	0,00011	0,023	0,46	0,55069
VÁLVULA DE GLOBO	HIERRO FUNDIDO	1,27	0,0127	4,846455852	340	0,00011	0,023	7,82	9,36173 346
VÁLVULA DE GLOBO	HIERRO FUNDIDO	1,27	0,0127	4,846455852	340	0,00011 811	0,023	7,82	9,36173 346
VÁLVULA DE GLOBO	HIERRO FUNDIDO	1,27	0,0127	4,846455852	340	0,00011	0,023	7,82	9,36173 346
VÁLVULA DE GLOBO	HIERRO FUNDIDO	1,27	0,0127	4,846455852	340	0,00011	0,023	7,82	9,36173 346
TEE	H.G.	1,27	0,0127	4,846455852	20	0,00011	0,023	0,46	0,55069
NUDO	H.G.	1,27	0,0127	4,846455852	6	0,00011	0,023	0,13	0,16520 706
VÁLVULA DE BOLA	H.G.	1,27	0,0127	4,846455852	150	0,00011	0,023	3,45	4,13017 652
TEE	H.G.	3,175	0,03175	0,775432936	20	0,00472	0,036	0,72	0,02206

							441			592
	TEE	H.G.	3,175	0,03175	0,775432936	20	0,00472 441	0,036	0,72	0,02206 592
	TEE	H.G.	3,175	0,03175	0,775432936	20	0,00472 441	0,036	0,72	0,02206 592
	TEE	H.G.	3,175	0,03175	0,775432936	20	0,00472 441	0,036	0,72	0,02206 592
	CODO ESTÁNDAR DE 90°	H.G.	2,54	0,0254	1,211613963	30	0,00019 685	0,0275	0,82 5	0,06172 818
	VÁLVULA DE BOLA	H.G.	2,54	0,0254	1,211613963	150	0,00019 685	0,0275	4,12 5	0,30864

48,6794 836

# CÁLCULO DE PÉRDIDAS DE CARGAS TRAMO #3 PÉRDIDAS DE CARGAS POR FRICCIÓN

	MATER IAL	DIÁMETRO (cm)	DIÁMETR O (m)	LONGITUD (cm)	LONGITU D (m)	VELOCIDAD (m/s)	Reynol ds	ε (mm )	ε relativa	f	hf (m)		
SUCCIÓN DE LA	PVC	2,54	0,0254	16,8	0,168			0,00	0,000196	0,0 27	0,01310		
вомва	PVC	2,54	0,0254	22	0,22			0,00	0,000196		0,01715		
	PVC	2,54	0,0254	10,5	0,105		16061,7	0,00	0,000196	0,0	0,00818		
	PVC	2,54	0,0254	82	0,82	1,19984956	482	0,00	0,000196	0,0 27	0,06395		
	PVC	2,54	0,0254	20,5	0,205	-		0,00	0,000196	0,0 27	0,01598 963		
	H.G.	2,54	0,0254	7,8	0,078			0,15	0,005905 512	0,0 36	0,00811		
DES CARGA DE LA	H.G.	3,175	0,03175	17,2	0,172			0,15	0,004724 409	0,0 36	0,00586 141		
ВОМВА	H.G.	3,175	0,03175	16,5	0,165	0,767903718 12849,3		0,15	0,004724 409	0,0 36	0,00562 286		
	H.G.	3,175	0,03175	37,2	0,372		12849,3	0,15	0,004724	0,0 36	0,01267 699		
	H.G.	3,175	0,03175	36,8	0,368		0,15	0,004724 409	0,0 36	0,01254 068			
	H.G.	3,175	0,03175	199	1,99			0,15	0,004724 409	0,0 36	0,06781 51		
	H.G.	3,175	0,03175	12,9	0,129					0,15	0,004724 409	0,0 36	0,00439 605

77.0	2.155	0.02155		0.400			0.45	0,004724	0,0	0,00449
H.G.	3,175	0,03175	13,2	0,132			0,15	409	36	829
H.G.	3,175	0,03175	12,3	0,123			0,15	0,004724	0,0	0,00419
n.G.	3,173	0,03173	12,3	0,123			0,13	409	36	159
H.G.	3,175	0,03175	13,3	0,133			0,15	0,004724	0,0	0,00453
11.0.	3,173	0,03173	13,5	0,133			0,13	409	36	237
H.G.	1,27	0,0127	9	0,09			0,15	0,011811	0,0	0,32447
11.0.	1,27	0,0127		0,09			0,10	024	39	255
H.G.	1,27	0,0127	9,5	0,095			0,15	0,011811	0,0	0,34249
11.0.	1,27	0,0127	,,,	0,000			0,10	024	39	881
H.G.	1,27	0,0127	9	0,09			0,15	0,011811	0,0	0,32447
11.0.	1,27	0,0127		0,09			0,10	024	39	255
H.G.	1,27	0,0127	107,5	1,075	4,79939824	32123,4	0,15	0,011811	0,0	3,87564
	-,	*,**=		-,	.,.,,,,,,,,,,,,,,,,,,,,,,,,,,,,,,,,,,,,	963	3,20	024	39	44
H.G.	1,27	0,0127	9,5	0,095			0,15	0,011811	0,0	0,34249
	-,	*,**=	- ,-	,,,,,			3,20	024	39	881
H.G.	1,27	0,0127	9,4	0,094			0,15	0,011811	0,0	0,33889
	-,	*,**=	.,.	2,02			3,20	024	39	356
H.G.	1,27	0,0127	9,2	0,092			0,15	0,011811	0,0	0,33168
	-,	*,**=	-,-	-,			3,20	024	39	306
H.G.	3,175	0,03175	12,1	0,121	0,767903718	12849,3	0,15	0,004724	0,0	0,00412
11.0.	5,275	0,00170	,.	0,121	3,707703710	985	,,10	409	36	343
PVC	2,54	0,0254	73	0,73	1,19984956	16061,7	0,00	0,000196	0,0	0,05693
		0,023 1		0,75		482	5	85	27	869
										6,18987

SUCCION DE LA BOMBA	ACCESORIO	MATERIAL	DIAMETRO (cm)	DIAMETRO (m)	VELOCIDAD (m/s)	Le/ D	ε/D	Ft	K	hm (m)
	VÁLVULA DE BOLA	PVC	2,54	0,0254	1,19984956	150	0,000196	0,02 7	4,05	0,297173
	NUDO	H.G.	2,54	0,0254	1,19984956	6	0,000196	7	0,16	0,011886
	CODO ESTÁNDAR 90°	PVC	2,54	0,0254	1,19984956	30	0,000196 85	0,02 7	0,81	0,059434 64
	TEE	H.G.	2,54	0,0254	1,19984956	20	0,000196 85	0,02 7	0,54	0,039623
	CODO ESTÁNDAR 90°	H.G.	3,175	0,03175	0,767903718	30	0,004724	0,03 6	1,08	0,032459
DES CARGA DE LA	VÁLVULA CHECK	HIERRO FUNDIDO	3,175	0,03175	0,767903718	100	0,004724	0,03 6	3,6	0,108197 45
вомва	VÁLVULA DE GLOBO	HIERRO FUNDIDO	3,175	0,03175	0,767903718	340	0,004724	0,03 6	12,2 4	0,367871
	CODO ESTÁNDAR 90°	H.G.	3,175	0,03175	0,767903718	30	0,004724	0,03 6	1,08	0,032459
	NUDO	H.G.	3,175	0,03175	0,767903718	6	0,004724	0,03 6	0,21 6	0,006491 85
	CODO ESTÁNDAR 45°	H.G.	3,175	0,03175	0,767903718	16	0,004724	0,03 6	0,57 6	0,017311 59
	CODO ESTÁNDAR 90°	H.G.	3,175	0,03175	0,767903718	30	0,004724	0,03 6	1,08	0,032459
	TEE	H.G.	3,175	0,03175	0,767903718	20	0,004724	0,03 6	0,72	0,021639

TEE	H.G.	3,175	0,03175	0,767903718	20	0,004724	0,03	0,72	0,021639
TEE	11.0.	3,173	0,03173	0,707903718	20	41	6	0,72	49
TEE	H.G.	3,175	0,03175	0,767903718	20	0,004724	0,03	0,72	0,021639
						41	6 0,03		49 6,868002
VÁLVULA DE BOLA	H.G.	1,27	0,0127	4,79939824	150	0,011811	9	5,85	41
						0,011811	0,03	0,23	0,274720
NUDO	H.G	1,27	0,0127	4,79939824	6	02	9	4	1
TEE	II.C	1.07	0.0127	4.70020024	20	0,011811	0,03	0.70	0,915733
TEE	H.G	1,27	0,0127	4,79939824	20	02	9	0,78	65
TEE	H.G.	1,27	0,0127	4,79939824	20	0,011811	0,03	0,78	0,915733
		, .		,		02	9		65
NUDO	H.G.	1,27	0,0127	4,79939824	6	0,011811	0,03	0,23	0,274720
						0,011811	0,03	4	6,868002
VÁLVULA DE BOLA	H.G.	1,27	0,0127	4,79939824	150	02	9	5,85	41
	a	0.455	0.00455	0.54500540	20	0,000196	0,03	0.70	0,021639
TEE	H.G.	3,175	0,03175	0,767903718	20	85	6	0,72	49
TEE	H.G.	3,175	0,03175	0,767903718	20	0,000196	0,03	0,72	0,021639
1 LL	11.0.	3,173	0,03173	0,707703710	20	85	6	0,72	49
TEE	H.G.	3,175	0,03175	0,767903718	20	0,000196	0,03	0,72	0,021639
CODO ECT (NDAD						85	6		49
CODO ESTÁNDAR DE 90°	H.G.	2,54	0,0254	1,19984956	30	0,000196 85	7	0,81	0,059434
DE 90						0,000196			0,297173
VÁLVULA DE BOLA	H.G.	2,54	0,0254	1,19984956	150	85	7	4,05	18
									17,60872

# CÁLCULO DE PÉRDIDAS DE CARGAS TRAMO #4

# PÉRDIDAS DE CARGAS POR FRICCIÓN

	MATER IAL	DIÁMETR O (cm)	DIÁMETRO (m)	LONGITUD (cm)	LONGITU D (m)	VELOCIDA D (m/s)	Reynol ds	ε (mm )	ε relativa	f	hf (m)		
SUCCIÓN DE LA	PVC	2,54	0,0254	16,8	0,168			0,00	0,00019 685	0,027	0,01717 92		
вомва	PVC	2,54	0,0254	22	0,22			0,00 5	0,00019 685	0,027	0,02249 657		
	PVC	2,54	0,0254	10,5	0,105	1,373824573	18390,6	0,00 5	0,00019 685	0,027	0,01073 7		
	PVC			592	0,00	0,00019 685	0,027	0,08385 085					
	PVC	2,54	0,0254			0,00	0,00019 685	0,027	0,02096 271				
	H.G.	2,54	0,0254	7,8	0,078					0,15	0,00590 551	0,036	0,01063 474
DES CARGA DE LA BOMBA	H.G.	3,175	0,03175	17,2	0,172	172	0,15	0,00472 441	0,035	0,00747 096			
	H.G.	3,175	0,03175	16,5	0,165	-			0,15	0,00472 441	0,035	0,00716 691	
	H.G.	3,175	0,03175	37,2	0,372	0,879247727	14712,5 273	0,15	0,00472 441	0,035	0,01615 812		
	H.G.	3,175	0,03175	36,8	0,368			273	0,15	0,00472 441	0,035	0,01598 437	
	H.G.	3,175	0,03175	199	1,99			0,15	0,00472 441	0,035	0,08643 724		
	H.G.	3,175	0,03175	12,9	0,129			0,15	0,00472	0,035	0,00560		

H.G.	3,175	0,03175	13,2	0,132			0,15	0,00472	0,035	0,00573
H.G.	3,175	0,03175	12,3	0,123			0,15	0,00472	0,035	0,00534
H.G.	3,175	0,03175	13,3	0,133			0,15	0,00472	0,035	0,00577 696
H.G.	3,175	0,03175	12,9	0,129			0,15	0,00472	0,035	0,00560
H.G.	1,905	0,01905	9,4	0,094			0,15	0,00787	0,027	0,04050
H.G.	1,905	0,01905	9	0,09			0,15	0,00787	0,027	0,03878
H.G.	1,905	0,01905	8	0,08			0,15	0,00787 402	0,027	0,03447 286
H.G.	1,905	0,01905	16,8	0,168			0,15	0,00787 402	0,027	0,07239
PVC	1,905	0,01905	67	0,67	2,442354796	24520,8 789	0,00 5	0,00026 247	0,025	0,26732 424
H.G.	1,905	0,01905	18,7	0,187			0,15	0,00787 402	0,027	0,08058
H.G.	1,905	0,01905	9,8	0,098			0,15	0,00787 402	0,027	0,04222 925
H.G.	1,905	0,01905	8,9	0,089			0,15	0,00787 402	0,027	0,03835
H.G.	1,905	0,01905	9	0,09			0,15	0,00787 402	0,027	0,03878 196
PVC	2,54	0,0254	73	0,73	1,373824573	18390,6 592	0,00 5	0,00019 685	0,027	0,07464 771
										1,05520

SUCCIÓN DE LA BOMBA	ACCESORIO	MATERIAL	DIÁMETR O (cm)	DIÁMETR O (m)	VELOCIDA D (m/s)	Le/D	Ft	K	hm (m)
	VÁLVULA DE BOLA	PVC	2,54	0,0254	1,373824573	150	0,02 7	4,05	0,38959 967
	NUDO	H.G .	2,54	0,0254	1,373824573	6	0,02 7	0,162	0,01558 399
	CODO ESTÁNDAR 90°	PVC	2,54	0,0254	1,373824573	30	0,02 7	0,81	0,07791 993
	TEE	H.G.	2,54	0,0254	1,373824573	20	0,02 7	0,54	0,05194 662
	CODO ESTÁNDAR 90°	H.G.	3,175	0,03175	0,879247727	30	0,03 5	1,05	0,04137
	VÁLVULA CHECK	HIERRO FUNDIDO	3,175	0,03175	0,879247727	100	0,03	3,5	0,13790 866
DES CARGA DE LA BOMBA	VÁLVULA DE GLOBO	HIERRO FUNDIDO	3,175	0,03175	0,879247727	340	0,03	11,9	0,46888 946
	CODO ESTÁNDAR 90°	H.G.	3,175	0,03175	0,879247727	30	0,03	1,05	0,04137
	NUDO	H.G.	3,175	0,03175	0,879247727	6	0,03	0,21	0,00827 452
	CODO ESTÁNDAR 45°	H.G.	3,175	0,03175	0,879247727	16	0,03 5	0,56	0,02206 539
	CODO ESTÁNDAR 90°	H.G.	3,175	0,03175	0,879247727	30	0,03	1,05	0,04137
	TEE	H.G.	3,175	0,03175	0,879247727	20	0,03	0,7	0,02758 173
	TEE	H.G.	3,175	0,03175	0,879247727	20	0,03	0,7	0,02758
	TEE	H.G.	3,175	0,03175	0,879247727	20	0,03	0,7	0,02758

						5		173
TEE	H.G.	3,175	0,03175	0,879247727	20	0,03	0,7	0,02758
VÁLVULA DE BOLA	H.G.	1,905	0,01905	2,442354796	150	0,02 7	4,05	1,23132 735
NUDO	H.G	1,905	0,01905	2,442354796	6	0,02 7	0,162	0,04925 309
TEE	H.G	1,905	0,01905	2,442354796	20	0,02 7	0,54	0,16417 698
VÁLVULA DE GLOBO	H.G.	1,905	0,01905	2,442354796	150	0,02 7	4,05	1,23132 735
VÁLVULA DE GLOBO	H.G.	1,905	0,01905	2,442354796	150	0,02 7	4,05	1,23132 735
TEE	H.G.	1,905	0,01905	2,442354796	20	0,02 7	0,54	0,16417 698
NUDO	H.G.	1,905	0,01905	2,442354796	6	0,02 7	0,162	0,04925 309
VÁLVULA DE BOLA	H.G.	1,905	0,01905	2,442354796	150	0,02 7	4,05	1,23132 735
TEE	H.G.	3,175	0,03175	0,879247727	20	0,03	0,7	0,02758
TEE	H.G.	3,175	0,03175	0,879247727	20	0,03	0,7	0,02758
CODO ESTÁNDAR DE 90°	H.G.	2,54	0,0254	1,373824573	30	0,02 7	0,81	0,07791 993
VÁLVULA DE BOLA	H.G.	2,54	0,0254	1,373824573	150	0,02 7	4,05	0,38959 967
								7,28148

# CÁLCULO DE PÉRDIDAS DE CARGAS TRAMO #5 PÉRDIDAS DE CARGAS POR FRICCIÓN

	MATER	DIÁMETR	DIÁMETRO	LONGITUD	LONGITU	VELOCIDAD	Reynol	ε (mm)	3	f	hf (m)	
	IAL	O (cm)	( <b>m</b> )	(cm)	<b>D</b> (m)	(m/s)	ds	& (IIIII)	relativa	1	m (m)	
	PVC	2,54	0,0254	16,8	0,168			0,005	0,00019	0,0	0,02074	
SUCCIÓN DE LA	1 10	2,54	0,0234	10,0	0,100			0,003	685	26	371	
BOMBA	PVC	2,54	0,0254	22	0,22			0,005	0,00019	0,0	0,02716	
	- , -	_,-,-	3,320		*,			3,000	685	26	438	
	PVC	2,54	0,0254	10,5	0,105			0,005	0,00019	0,0	0,01296	
			ŕ	ŕ	,	1,538396332	20593,6		685	26	482	
	PVC	2,54	0,0254	82	0,82		938	0,005	0,00019	0,0	0,10124	
									685	26	905	
	PVC	2,54	0,0254	20,5	0,205			0,005	0,00019	0,0	0,02531	
									685	26	226	
	H.G.	H.G. 2,54 0,0254 7,8 0,078			0,15	0,00590	0,0	0,00546				
	H.G. 2,54							551	36	211		
	H.G.	3,175	0,03175	17,2	0,172			0,15	0,00472	0,0	0,00910	
DES CARGA DE LA									441	34	041	
BOMBA	H.G.	3,175	0,03175	16,5	0,165				0,15	0,00472	0,0	0,00873
									441	34	005	
	H.G.	3,175	0,03175	37,2	0,372			0,15	0,00472	0,0	0,01968	
							16474,9		0,00472	34	229 0,01947	
	H.G.	3,175	0,03175	36,8	0,368	0,984573653	551	0,15	441	0,0	0,01947	
	H.G.	3,175	0,03175	199 1,99		0,15	0,00472 441	0,0	0,10528			
									0,00472	0,0	965 0,00682	
	H.G.	3,175	0,03175	12,9	0,129			0,15			ĺ ,	
	пс	2 175	0.02175	12.2	0.122				0.15	441	34	531
	H.G.	3,175	0,03175	13,2	0,132			0,15	0,00472	0,0	0,00698	

H.G.   3,175   0,03175   12,3   0,123   0,123   0,15   0,00472   0,0   0,00650   34   785   0,15   0,00472   0,0   0,00703   0,0003   0,									441	34	404
$\begin{array}{c ccccccccccccccccccccccccccccccccccc$	H.G.	3,175	0.03175	12.3	0.123			0.15		0,0	
$\begin{array}{c ccccccccccccccccccccccccccccccccccc$		5,275	3,000.0	,-	3,222			0,20			
$ \begin{array}{ c c c c c c c c c c c c c c c c c c c$	H.G.	3,175	0,03175	13,3	0,133			0,15		,	,
H.G. 3,175 0,03175 12,9 0,129  H.G. 3,175 0,03175 13,2 0,132  H.G. 1,905 0,01905 10,6 0,106  H.G. 1,905 0,01905 10,5 0,105  H.G. 1,905 0,01905 10,3 0,103  H.G. 1,905 0,01905 10,3 0,103  H.G. 1,905 0,01905 10,5 0,105  H.G. 1,905 0,01905 10,7 0,107  H.G. 1,905 0,01905 0,01905 10,7 0,107											
H.G. 3,175 0,03175 13,2 0,132 0,132 0,15 0,00472 0,0 0,00698 H.G. 1,905 0,01905 10,5 0,105 H.G. 1,905 0,01905 10,3 0,103 H.G. 1,905 0,01905 10,3 0,103 H.G. 1,905 0,01905 10,5 0,105 H.G. 1,905 0,01905 10,7 0,107 H.G. 1,905 0,01905 10,7 0,107 H.G. 1,905 0,01905 10,7 0,107  H.G. 1,905 0,01905 10,7 0,107	H.G.	3,175	0,03175	12,9	0,129			0,15		,	,
$\begin{array}{c ccccccccccccccccccccccccccccccccccc$											
$\begin{array}{ c c c c c c c c c c c c c c c c c c c$	H.G.	3,175	0,03175	13,2	0,132			0,15	, i	,	,
$\begin{array}{c ccccccccccccccccccccccccccccccccccc$											
$\begin{array}{ c c c c c c c c c c c c c c c c c c c$	H.G.	1,905	0,01905	10,6	0,106			0,15			
$\begin{array}{ c c c c c c c c c c c c c c c c c c c$						_					
$\begin{array}{ c c c c c c c c c c c c c c c c c c c$	H.G.	1,905	0,01905	10,5	0,105			0,15			· ·
$\begin{array}{ c c c c c c c c c c c c c c c c c c c$									0,00787		0,07626
H.G. 1,905 0,01905 108,2 1,082 2,734926813  H.G. 1,905 0,01905 10,5 0,105  H.G. 1,905 0,01905 10,7 0,107  H.G. 1,905 0,01905 9,6 0,096  PVC 2,54 0,0254 73 0,73 1,538396332 20593,6 938 0,005 685 26 635	H.G.	1,905	0,01905	10,3	0,103			0,15	402	37	695
$\begin{array}{c ccccccccccccccccccccccccccccccccccc$	II.C	1.005	0.01005	100.2	1.002	2 724026912	27458,2	0.15	0,00787	0,0	0,80117
H.G. 1,905 0,01905 10,5 0,105  H.G. 1,905 0,01905 10,7 0,107  H.G. 1,905 0,01905 9,6 0,096  PVC 2,54 0,0254 73 0,73 1,538396332 0,005 685 26 635	п.б.	1,903	0,01903	108,2	1,082	2,734920813	584	0,13	402	37	321
H.G. $1,905$ $0,01905$ $10,7$ $0,107$ $0,107$ $0,107$ $0,15$ $0,00787$ $0,0$ $0,007922$ $0,15$ $0,00787$ $0,0$ $0,007922$ $0,15$ $0,00787$ $0,0$ $0,007108$ $0,15$ $0,15$ $0,00787$ $0,0$ $0,007108$ $0,15$ $0,00787$ $0,0$ $0,007108$	НG	1 905	0.01905	10.5	0.105			0.15	0,00787	0,0	0,07774
H.G. 1,905 0,01905 10,7 0,107  H.G. 1,905 0,01905 9,6 0,096  PVC 2,54 0,0254 73 0,73 1,538396332 0,005 685 26 635	11.0.	1,505	0,01703	10,5	0,103			0,13		37	
H.G. 1,905 0,01905 9,6 0,096 0,096 0,15 0,00787 0,0 0,07108 402 37 376  PVC 2,54 0,0254 73 0,73 1,538396332 20593,6 938 0,005 685 26 635	H.G.	1,905	0,01905	10,7	0,107			0,15	, i		
H.G. 1,905 0,01905 9,6 0,096 0,096 0,15 402 37 376  PVC 2,54 0,0254 73 0,73 1,538396332 20593,6 938 0,005 685 26 635		,	,	,	,			,			
PVC 2,54 0,0254 73 0,73 1,538396332 20593,6 938 0,005 685 26 635	H.G.	1,905	0,01905	9,6	0,096			0,15	, i	,	· ·
PVC 2,54 0,0254 73 0,73 1,538396332 938 0,005 685 26 635											
	PVC	2,54	0,0254	73	0,73	1,538396332		0,005			
							938		685	26	

SUCCIÓN DE LA	ACCESORIO	MATERIAL	DIÁMETR	DIÁMETR	VELOCIDAD	Le/D	ε/D	Ft	K	hm (m)
BOMBA	ACCESORIO	WATERIAL	O (cm)	O (m)	(m/s)	Le/D	ε/D	Γt	I.	IIII (III)
	VÁLVULA DE BOLA	PVC	2,54	0,0254	1,538396332	150	0,00019 685	0,026	3,9	0,47043 765
	NUDO	H.G .	2,54	0,0254	1,538396332	6	0,00019	0,026	0,1 56	0,01881 751
	CODO ESTÁNDAR 90°	PVC	2,54	0,0254	1,538396332	30	0,00019	0,026	0,7	0,09408 753
	TEE	H.G.	2,54	0,0254	1,538396332	20	0,00019	0,026	0,5	0,06272 502
	CODO ESTÁNDAR 90°	H.G.	3,175	0,03175	0,984573653	30	0,00472 441	0,034	1,0	0,05039 618
	VÁLVULA CHECK	HIERRO FUNDIDO	3,175	0,03175	0,984573653	100	0,00472 441	0,034	3,4	0,16798 726
DES CARGA DE LA BOMBA	A VÁLVULA DE GLOBO	HIERRO FUNDIDO	3,175	0,03175	0,984573653	340	0,00472 441	0,034	11, 56	0,57115 667
	CODO ESTÁNDAR 90°	H.G.	3,175	0,03175	0,984573653	30	0,00472 441	0,034	1,0 2	0,05039 618
	NUDO	H.G.	3,175	0,03175	0,984573653	6	0,00472	0,034	0,2	0,01007 924
	CODO ESTÁNDAR 45°	H.G.	3,175	0,03175	0,984573653	16	0,00472 441	0,034	0,5 44	0,02687 796
	CODO ESTÁNDAR 90°	H.G.	3,175	0,03175	0,984573653	30	0,00472 441	0,034	1,0	0,05039 618
	TEE	H.G.	3,175	0,03175	0,984573653	20	0,00472	0,034	0,6 8	0,03359 745
	TEE	H.G.	3,175	0,03175	0,984573653	20	0,00472 441	0,034	0,6 8	0,03359 745

TEE	шо	2.175	0.02175	0.004572652	20	0,00472	0.024	0,6	0,03359
TEE	H.G.	3,175	0,03175	0,984573653	20	441	0,034	8	745
TEE	H.G.	3,175	0,03175	0,984573653	20	0,00472	0,034	0,6	0,03359
TEE	11.0.	3,173	0,03173	0,501373033	20	441	0,031	8	745
TEE	H.G.	3,175	0,03175	0,984573653	20	0,00472	0,034	0,6	0,03359
	IHEDDO					441		8	745
VÁLVULA DE GLOBO	HIERRO FUNDIDO	1,905	0,01905	2,734926813	340	0,00787	0,037	12, 58	4,79593 244
	FUNDIDO					0,00787		0,2	0,08463
NUDO	H.G	1,905	0,01905	2,734926813	6	402	0,037	22	41
						0,00787		0,7	0,28211
TEE	H.G	1,905	0,01905	2,734926813	20	402	0,037	4	367
TEE	шс	1.005	0.01005	2.724026912	20	0,00787	0.027	0,7	0,28211
TEE	H.G.	1,905	0,01905	2,734926813	20	402	0,037	4	367
NUDO	H.G.	1,905	0,01905	2,734926813	6	0,00787	0,037	0,2	0,08463
1,020		1,500	0,01700	2,701,720010	,	402	0,027	22	41
VÁLVULA DE GLOBO	HIERRO	1,905	0,01905	2,734926813	340	0,00787	0,037	12,	4,79593
	FUNDIDO					402		58	244
TEE	H.G.	3,175	0,03175	0,984573653	20	0,00472	0,034	0,6	0,03359 745
						0,00472		0,6	0,03359
TEE	H.G.	3,175	0,03175	0,984573653	20	441	0,034	8	745
CODO ESTÁNDAR DE						0,00019		0,7	0,09408
90°	H.G.	2,54	0,0254	1,538396332	30	685	0,026	8	753
WALMILA DE DOLA	шс	2.54	0.0254	1 52020(222	150	0,00019	0.026	2.0	0,47043
VÁLVULA DE BOLA	H.G.	2,54	0,0254	1,538396332	150	685	0,026	3,9	765
									12,6984

# CÁLCULO DE PÉRDIDAS DE CARGAS TRAMO #6

# PÉRDIDAS DE CARGAS POR FRICCIÓN

	MATER	DIÁMETR	DIÁMETRO	LONGITUD	LONGITU	VELOCIDA	Reynol		ε		
	IAL	O (cm)	( <b>m</b> )	(cm)	D (m)	D (m/s)	ds	ε (mm)	relativa	f	hf (m)
									0,00019	0,02	0,01688
SUCCIÓN DE LA	PVC	2,54	0,0254	16,8	0,168			0,005	685	65	103
BOMBA	PVC	2,54	0,0254	22	0,22			0,005	0,00019 685	0,02 65	0,02210 611
									0,00019	0,02	0,01055
	PVC	2,54	0,0254	10,5	0,105	1,37463774	18401,5	0,005	685	65	064
						1,37403774	446		0,00019	0,02	0,08239
	PVC	2,54	0,0254	82	0,82			0,005	685	65	551
									0,00019	0,02	0,02059
	PVC	2,54	0,0254	20,5	0,205			0,005	685	65	888
									0,00590	0,03	0,01064
	H.G.	2,54	0,0254	7,8	0,078			0,15	551	6	733
DES CARGA DE LA BOMBA	H.G.	3,175	0,03175	17,2	0,172			0,15	0,00472	0,03 5	98
	H.G.	3,175	0,03175	16,5	0,165			0,15	0,00472 441	0,03	0,00717 539
	H.G.	3,175	0,03175	37,2	0,372	0,87976815	14721,2 357	0,15	0,00472 441	0,03 5	0,01617 725
	H.G.	3,175	0,03175	36,8	0,368		557	0,15	0,00472 441	0,03	0,01600
									0,00472	0,03	0,08653
	H.G.	3,175	0,03175	199	1,99			0,15	441	5	96
	H.G.	3,175	0,03175	12,9	0,129			0,15	0,00472	0,03	0,00560

								441	5	985
								0,00472	0,03	0,00574
H.G.	3,175	0,03175	13,2	0,132			0,15	441	5	031
								0,00472	0,03	0,00534
H.G.	3,175	0,03175	12,3	0,123			0,15	441	5	893
								0,00472	0,03	0,00578
H.G.	3,175	0,03175	13,3	0,133			0,15	441	5	38
								0,00472	0,03	0,00560
H.G.	3,175	0,03175	12,9	0,129			0,15	441	5	985
								0,00472	0,03	0,00574
H.G.	3,175	0,03175	13,2	0,132			0,15	441	5	031
								0,00472	0,03	0,00534
H.G.	3,175	0,03175	12,3	0,123			0,15	441	5	893
								0,00590	0,03	0,01405
H.G.	2,54	0,0254	10,3	0,103			0,15	551	6	994
								0,00590	0,03	0,01296
H.G.	2,54	0,0254	9,5	0,095			0,15	551	6	791
								0,00590	0,03	0,01365
H.G.	2,54	0,0254	10	0,1			0,15	551	6	043
					1,37463774	18401,5		0,00590	0,03	0,14783
H.G.	2,54	0,0254	108,3	1,083	1,37403774	446	0,15	551	6	415
								0,00590	0,03	0,01228
H.G.	2,54	0,0254	9	0,09			0,15	551	6	539
								0,00590	0,03	0,01296
H.G.	2,54	0,0254	9,5	0,095			0,15	551	6	791
								0,00590	0,03	0,01228
H.G.	2,54	0,0254	9	0,09			0,15	551	6	539
					0.07076015	14721,2		0,00472	0,03	0,00582
H.G.	3,175	0,03175	13,4	0,134	0,87976815	357	0,15	441	5	729
									L	

PVC	2,54	0,0254	73	0,73	1,37463774	18401,5 446	0,005	0,00019 685	0,02 65	0,07335
										0,64096
										735

SUCCIÓN DE LA			DIÁMETR	DIÁMETR	VELOCIDA					
BOMBA	ACCESORIO	MATERIAL	O (cm)	O (m)	D (m/s)	Le/D	ε/D	Ft	K	hm (m)
	VÁLVULA DE BOLA	PVC	2,54	0,0254	1,37463774	150	0,00019 685	0,0265	3,97 5	0,38283 766
	NUDO	H.G .	2,54	0,0254	1,37463774	6		0,0265	0,15 9	0,01531
	CODO ESTÁNDAR 90°	PVC	2,54	0,0254	1,37463774	30	0,00019	0,0265	0,79	0,07656 753
	TEE	H.G.	2,54	0,0254	1,37463774	20	0,00019	0,0265	0,53	0,05104 502
	CODO ESTÁNDAR 90°	H.G.	3,175	0,03175	0,87976815	30	0,00472	0,035	1,05	0,04142
DES CARGA DE LA BOMBA	VÁLVULA CHECK	HIERRO FUNDIDO	3,175	0,03175	0,87976815	100		0,035	3,5	0,13807 197
	VÁLVULA DE GLOBO	HIERRO FUNDIDO	3,175	0,03175	0,87976815	340	0,00472	0,035	11,9	0,46944
	CODO ESTÁNDAR 90°	H.G.	3,175	0,03175	0,87976815	30	0,00472 441	0,035	1,05	0,04142
	NUDO	H.G.	3,175	0,03175	0,87976815	6		0,035	0,21	0,00828
	CODO ESTÁNDAR 45°	H.G.	3,175	0,03175	0,87976815	16		0,035	0,56	0,02209
	CODO ESTÁNDAR 90°	H.G.	3,175	0,03175	0,87976815	30	0,00472	0,035	1,05	0,04142

						0,00472			0,02761
TEE	H.G.	3,175	0,03175	0,87976815	20	441	0,035	0,7	439
TEE						0,00472			0,02761
I LL	H.G.	3,175	0,03175	0,87976815	20	441	0,035	0,7	439
TEE						0,00472			0,02761
TEE	H.G.	3,175	0,03175	0,87976815	20	441	0,035	0,7	439
TEE						0,00472			0,02761
1 EE	H.G.	3,175	0,03175	0,87976815	20	441	0,035	0,7	439
TEE						0,00472			0,02761
1 DD	H.G.	3,175	0,03175	0,87976815	20	441	0,035	0,7	439
TEE						0,00472			0,02761
1 LL	H.G.	3,175	0,03175	0,87976815	20	441	0,035	0,7	439
VÁLVULA DE BOLA						0,00019			0,52008
VALE VOEA BE BOEA	H.G	2,54	0,0254	1,37463774	150	685	0,036	5,4	135
NUDO						0,00019		0,21	0,02080
11020	H.G	2,54	0,0254	1,37463774	6	685	0,036	6	325
TEE						0,00019			0,06934
TLL	H.G	2,54	0,0254	1,37463774	20	685	0,036	0,72	418
TEE						0,00019			0,06934
155	H.G.	2,54	0,0254	1,37463774	20	685	0,036	0,72	418
NUDO						0,00019		0,21	0,02080
11020	H.G.	2,54	0,0254	1,37463774	6	685	0,036	6	325
VÁLVULA DE BOLA						0,00019			0,52008
VALVOLA DE BOLA	H.G.	2,54	0,0254	1,37463774	150	685	0,036	5,4	135
TEE						0,00472			0,02761
I LL	H.G.	3,175	0,03175	0,87976815	20	441	0,035	0,7	439
TEE						0,00472			0,02761
	H.G.	3,175	0,03175	0,87976815	20	441	0,035	0,7	439
TEE	H.G.	3,175	0,03175	0,87976815	20	0,00472	0,035	0,7	0,02761

						441			439
CODO ESTÁNDAR DE						0,00019		0,79	0,07656
90°	H.G.	2,54	0,0254	1,37463774	30	685	0,0265	5	753
VÁLVULA DE BOLA						0,00019		3,97	0,38283
VALVOLA DE BOLA	H.G.	2,54	0,0254	1,37463774	150	685	0,0265	5	766
									3,21631
								l	3

# CÁLCULO DE PÉRDIDAS DE CARGAS TRAMO #7

# PÉRDIDAS DE CARGAS POR FRICCIÓN

	MATER	DIÁMETR	DIÁMETRO	LONGITUD	LONGITU	VELOCIDA	Reynol		ε		
	IAL	O (cm)	(m)	(cm)	<b>D</b> (m)	D (m/s)	ds	ε (mm)	relativa	f	hf (m)
									0,00019	0,02	0,01732
SUCCIÓN DE LA	PVC	2,54	0,0254	16,8	0,168			0,005	685	65	684
ВОМВА	PVC	2,54	0,0254	22	0,22			0,005	0,00019 685	0,02 65	0,02268 991
									0,00019	0,02	
	PVC	2,54	0,0254	10,5	0,105	1,392670869	18642,9	0,005	685	65	928
							445		0,00019	0,02	,
	PVC	2,54	0,0254	82	0,82			0,005	685	65	149
									0,00019	0,02	0,02114
	PVC	2,54	0,0254	20,5	0,205			0,005	685	65	287
	H.G.	2,54	0,0254	7,8	0,078			0,15	0,00590 551	0,03	0,01092 852
DES CARGA DE LA	H.G.	3,175	0,03175	17,2	0,172			0,15	0,00472	0,03	0,00767 734
ВОМВА	H.G.	3,175	0,03175	16,5	0,165			0,15	0,00472	0,03	489
	H.G.	3,175	0,03175	37,2	0,372	0,891309356	14914,3	0,15	0,00472	0,03	0,01660 448
	H.G.	3,175	0,03175	36,8	0,368		556	0,15	0,00472	0,03	0,01642 593
	H.G.	3,175	0,03175	199	1,99			0,15	0,00472	0,03	502
	H.G.	3,175	0,03175	12,9	0,129			0,15	0,00472 441	0,03	0,00575

								0,00472	0,03	0,00589
H.G.	3,175	0,03175	13,2	0,132			0,15	441	5	191
								0,00472	0,03	0,00549
H.G.	3,175	0,03175	12,3	0,123			0,15	441	5	0,00593
H.G.	3,175	0,03175	13,3	0,133			0,15	0,00472 441	0,03	655
n.g.	3,173	0,03173	13,3	0,133			0,13	0,00472	0,03	
H.G.	3,175	0,03175	12,9	0,129			0,15	441	5	8
								0,00472	0,03	0,00589
H.G.	3,175	0,03175	13,2	0,132			0,15	441	5	191
								0,00472	0,03	
H.G.	3,175	0,03175	12,3	0,123			0,15	441	5	019
H.C	2.175	0.02177	12.0	0.120			0.15	0,00472	0,03	0,00575
H.G.	3,175	0,03175	12,9	0,129			0,15	441	5	8
H.G.	2,54	0,0254	9,5	0,095			0,15	0,00590	0,03	
	2,6 .	0,020 .	7,6	0,050			0,10	0,00590	0,03	
H.G.	2,54	0,0254	9,8	0,098			0,15	551	6	
								0,00590	0,03	0,01260
H.G.	2,54	0,0254	9	0,09			0,15	551	6	
						18642,9		0,00590	0,03	0,01260
H.G.	2,54	0,0254	9	0,09	1,392670869	445	0,15	551	6	
шс	2.54	0.0254	0	0.00			0.15	0,00590	0,03	
H.G.	2,54	0,0254	9	0,09			0,15	551 0,00590	0,03	983 0,01331
H.G.	2,54	0,0254	9,5	0,095			0,15	551	6	
11.5.	2,37	0,0234	,,5	0,073			0,13	0,00590	0,03	0,01331
H.G.	2,54	0,0254	9,5	0,095			0,15	551	6	
H.G.	2,54	0,0254	41,5	0,415			0,15	0,00590	0,03	0,05814

1	I								551	6	533
									0,00590	0,03	0,01331
	H.G.	2,54	0,0254	9,5	0,095			0,15	551	6	038
									0,00590	0,03	0,01331
	H.G.	2,54	0,0254	9,5	0,095			0,15	551	6	038
									0,00590	0,03	0,01331
	H.G.	2,54	0,0254	9,5	0,095			0,15	551	6	038
									0,00590	0,03	0,00980
	H.G.	2,54	0,0254	9,5	0,07			0,15	551	6	765
									0,00590	0,03	0,01457
	H.G.	2,54	0,0254	7	0,104			0,15	551	6	136
									0,00590	0,03	0,01485
	H.G.	2,54	0,0254	10,4	0,106			0,15	551	6	158
									0,00590	0,03	0,01625
	H.G.	2,54	0,0254	10,6	0,116			0,15	551	6	267
									0,00472	0,03	0,00598
	H.G.	3,175	0,03175	13,4	0,134	0,891309356	14914,3	0,15	441	5	118
						0,071307330	556		0,00472	0,03	0,00517
	H.G.	3,175	0,03175	11,6	0,116			0,15	441	5	774
						1 202 (700 (0	18642,9		0,00019	0,02	0,07528
1	PVC	2,54	0,0254	73	0,73	1,392670869	445	0,005	685	65	925
											0,68186

SUCCIÓN DE LA			DIÁMETR	DIÁMETR	VELOCIDA					
BOMBA	ACCESORIO	MATERIAL	O (cm)	O (m)	<b>D</b> (m/s)	Le/D	ε/D	Ft	K	hm (m)
DES CARGA DE LA	VÁLVULA DE BOLA	PVC	2,54	0,0254	1,392670869	150	0,00019	0,0265	3,97	0,39294

BOMBA							685		5	803
	MIIDO						0,00019		0,15	0,01571
	NUDO	H.G.	2,54	0,0254	1,392670869	6	685	0,0265	9	792
	CODO ESTÁNDAR 90°						0,00019		0,79	0,07858
	CODO ESTITIVATA	PVC	2,54	0,0254	1,392670869	30	685	0,0265	5	961
	TEE						0,00019			0,05239
		H.G.	2,54	0,0254	1,392670869	20	685	0,0265	0,53	307
	CODO ESTÁNDAR 90°						0,00472			0,04251
		H.G.	3,175	0,03175	0,891309356	30	441	0,035	1,05	549
	VÁLVULA CHECK	HIERRO					0,00472			0,14171
		FUNDIDO	3,175	0,03175	0,891309356	100		0,035	3,5	831
	VÁLVULA DE GLOBO	HIERRO					0,00472			0,48184
		FUNDIDO	3,175	0,03175	0,891309356	340	441	0,035	11,9	226
	CODO ESTÁNDAR 90°		0.455	0.004=-	0.004000074	20	0,00472	0.005		0,04251
		H.G.	3,175	0,03175	0,891309356	30		0,035	1,05	549
	NUDO	шС	2 175	0.02175	0.901200257		0,00472	0.025	0.21	0,00850
		H.G.	3,175	0,03175	0,891309356	6	0,00472	0,035	0,21	0,02267
	CODO ESTÁNDAR 45°	H.G.	3,175	0,03175	0,891309356	16	, i	0,035	0,56	493
		n.G.	5,175	0,03173	0,891309330	10	0,00472	0,033	0,36	0,04251
	CODO ESTÁNDAR 90°	H.G.	3,175	0,03175	0,891309356	30		0,035	1,05	549
		11.0.	3,173	0,03173	0,871307330	30	0,00472	0,033	1,03	0,02834
	TEE	H.G.	3,175	0,03175	0,891309356	20	, i	0,035	0,7	366
		11.0.	5,176	0,00170			0,00472	0,022	0,7	0,02834
	TEE	H.G.	3,175	0,03175	0,891309356	20	441	0,035	0,7	366
			<u> </u>	<u> </u>			0,00472	<u> </u>		0,02834
	TEE	H.G.	3,175	0,03175	0,891309356	20	441	0,035	0,7	366
							0,00472			0,02834
	TEE	H.G.	3,175	0,03175	0,891309356	20	441	0,035	0,7	366

						0,00472			0,02834
TEE	H.G.	3,175	0,03175	0,891309356	20	441	0,035	0,7	366
TEE						0,00472			0,02834
122	H.G.	3,175	0,03175	0,891309356	20	441	0,035	0,7	366
TEE						0,00472			0,02834
TEE	H.G.	3,175	0,03175	0,891309356	20	441	0,035	0,7	366
VÁLVULA DE BOLA						0,00590			0,53381
VALVOLA DE BOLA	H.G	2,54	0,0254	1,392670869	150	551	0,036	5,4	619
NUDO						0,00590		0,21	0,02135
Nobo	H.G	2,54	0,0254	1,392670869	6		0,036	6	265
TEE						0,00590			0,07117
	H.G	2,54	0,0254	1,392670869	20	551	0,036	0,72	549
CODO ESTÁNDAR DE						0,00590			0,10676
90°	H.G.	2,54	0,0254	1,392670869	30	551	0,036	1,08	324
CODO ESTÁNDAR DE						0,00590			0,10676
90°	H.G.	2,54	0,0254	1,392670869	30	551	0,036	1,08	324
CODO ESTÁNDAR DE						0,00590			0,10676
90°	H.G.	2,54	0,0254	1,392670869	30	551	0,036	1,08	324
CODO ESTÁNDAR DE						0,00590			0,10676
90°	H.G	2,54	0,0254	1,392670869	30	551	0,036	1,08	324
CODO ESTÁNDAR DE						0,00590			0,10676
90°	H.G	2,54	0,0254	1,392670869	30	551	0,036	1,08	324
CODO ESTÁNDAR DE						0,00590			0,10676
90°	H.G	2,54	0,0254	1,392670869	30	551	0,036	1,08	324
CODO ESTÁNDAR DE						0,00590			0,10676
90°	H.G	2,54	0,0254	1,392670869	30	551	0,036	1,08	324
CODO ESTÁNDAR DE						0,00590			0,10676
90°	H.G	2,54	0,0254	1,392670869	30	551	0,036	1,08	324
TEE	H.G	2,54	0,0254	1,392670869	20	0,00590	0,036	0,72	0,07117

						551			549
NUDO						0,00590		0,21	0,02135
NODO	H.G	2,54	0,0254	1,392670869	6	551	0,036	6	265
VÁLVULA DE BOLA						0,00590			0,53381
VALVOLA DE BOLA	H.G.	2,54	0,0254	1,392670869	150	551	0,036	5,4	619
TEE						0,00472			0,02834
TEE	H.G.	3,175	0,03175	0,891309356	20	441	0,035	0,7	366
TEE						0,00472			0,02834
TEE	H.G.	3,175	0,03175	0,891309356	20	441	0,035	0,7	366
TEE						0,00472			0,02834
I EE	H.G.	3,175	0,03175	0,891309356	20	441	0,035	0,7	366
TEE						0,00472			0,02834
TEE	H.G.	3,175	0,03175	0,891309356	20	441	0,035	0,7	366
CODO ESTÁNDAR DE						0,00019		0,79	0,07858
90°	H.G.	2,54	0,0254	1,392670869	30	685	0,0265	5	961
VÁLVULA DE BOLA						0,00019		3,97	0,39294
VALVOLA DE BOLA	H.G.	2,54	0,0254	1,392670869	150	685	0,0265	5	803
									4,21204

# CÁLCULO DE PÉRDIDAS DE CARGAS TRAMO #8

# PÉRDIDAS DE CARGAS POR FRICCIÓN

	MATERIA	DIÁMETR	DIÁMET	LONGITU	LONGITU	VELOCIDA		ε (m	ε relativ			
	L	O (cm)	RO (m)	D (cm)	D (m)	D (m/s)	Reynolds	(m m)	a	f	hf (m)	
		o (em)	RO (III)	D (cm)	D (III)	<b>D</b> (III/5)	regionas	0,00	0,0001	0,0	0,0223	
SUCCIÓN DE LA	PVC	2,54	0,0254	16,8	0,168			5	9685	25	7485	
BOMBA									0,00	0,0001	0,0	0,0293
	PVC	2,54	0,0254	22	0,22				5	9685	25	0039
											0,00	0,0001
	PVC	2,54	0,0254	10,5	0,105	1.6293776	21811,61159	5	9685	25	8428	
						1,02/3/70	21011,01137	0,00	0,0001	0,0	0,1092	
	PVC	2,54	0,0254	82	0,82			5	9685	25	1056	
									0,00	0,0001	0,0	0,0273
	PVC	2,54	0,0254	20,5	0,205			5	9685	25	0264	
									0,0059	0,0	0,0149	
	H.G.	2,54	0,0254	7,8	0,078			0,15	0551	36	5918	
DES CARGA DE									0,0047	0,0	0,0102	
LA BOMBA	H.G.	3,175	0,03175	17,2	0,172			0,15	2441	34	0864	
									0,0047	0,0	0,0097	
	H.G.	3,175	0,03175	16,5	0,165			0,15	2441	34	9318	
						1,04280166			0,0047	0,0	0,0220	
	H.G.	3,175	0,03175	37,2	0,372		17449,28927	0,15	2441	34	7916	
									0,0047	0,0	0,0218	
	H.G.	3,175	0,03175	36,8	0,368			0,15	2441	34	4175	
									0,0047	0,0	0,1181	
	H.G.	3,175	0,03175	199	1,99			0,15	2441	34	1164	
	H.G.	3,175	0,03175	12,9	0,129			0,15	0,0047	0,0	0,0076	

]								2441	34	5648
								0,0047	0,0	0,0078
H.G.	3,175	0,03175	13,2	0,132			0,15	2441	34	
								0,0047	0,0	0,0073
H.G.	3,175	0,03175	12,3	0,123			0,15	2441	34	
								0,0047	0,0	0,0078
H.G.	3,175	0,03175	13,3	0,133			0,15	2441	34	
II C	2 175	0.02175	12.0	0.120			0.15	0,0047	0,0	0,0076
H.G.	3,175	0,03175	12,9	0,129			0,15	2441	34	
H.G.	2 175	0.02175	12.2	0.122			0,15	0,0047 2441	0,0	0,0078 3454
n.G.	3,175	0,03175	13,2	0,132			0,13	0,0047	0,0	0,0073
H.G.	3,175	0,03175	12,3	0,123			0,15	2441	34	
11.0.	3,173	0,03173	12,3	0,123			0,13	0,0047	0,0	0,0076
H.G.	3,175	0,03175	12,9	0,129			0,15	2441	34	
								0,0047	0,0	0,0078
H.G.	3,175	0,03175	13,3	0,133			0,15	2441	34	9389
								0,0029	0,0	0,0005
H.G.	5,08	0,0508	9,9	0,099			0,15	5276	33	4389
								0,0029	0,0	0,0004
H.G.	5,08	0,0508	7,8	0,078			0,15	5276	33	2852
								0,0029	0,0	0,0005
H.G.	5,08	0,0508	10,2	0,102	0,407344398	10905,8058	0,15		33	
					,			0,0029	0,0	0,0054
H.G.	5,08	0,0508	99	0,99			0,15			
								0,0029	0,0	0,0005
H.G.	5,08	0,0508	9,8	0,098			0,15	5276	33	
	<b>5</b> .00	0.0500	= 0	0.670			0.15	0,0029	0,0	0,0004
H.G.	5,08	0,0508	7,9	0,079			0,15	5276	33	3401

								0,0029	0,0	0,000		
H.G.	5,08	0,0508	9,8	0,098			0,15	5276	33	3839		
								0,0047	0,0	0,0078		
H.G.	3,175	0,03175	13,3	0,133					0,15	2441	34	9389
					1,04280166	17449,28927		0,0047	0,0	0,0079		
H.G.	3,175	0,03175	13,4	0,134	1,04200100	1744),20)27	0,15	2441	34	5325		
								0,0047	0,0	0,0068		
H.G.	3,175	0,03175	11,6	0,116			0,15	2441	34	849		
							0,00	0,0001	0,0	0,0398		
PVC	2,54	0,0254	73	0,73	1,629377594	21811,61159	5	9685	25	2296		
										0,5392		
										3078		

SUCCIÓN DE LA		MATERIA	DIÁMETR	DIÁMETR	VELOCIDA	Le/				hm
BOMBA	ACCESORIO	L	O (cm)	O (m)	D (m/s)	D	ε/D	Ft	K	(m)
	VÁLVULA DE BOLA							0,0		0,5074
	VIIEVEET BEBOEN	PVC	2,54	0,0254	1,6293776	150		25	3,75	2954
	NUDO							0,0		0,0202
	1,020	H.G .	2,54	0,0254	1,6293776	6		25	0,15	9718
	CODO ESTÁNDAR 90°							0,0		0,1014
DES CARGA DE		PVC	2,54	0,0254	1,6293776	30		25	0,75	8591
LA BOMBA	TEE							0,0		0,0676
	TEE	H.G.	2,54	0,0254	1,6293776	20		25	0,5	5727
	CODO ESTÁNDAR 90°							0,0		0,0565
	CODO ESTINADAMA 90	H.G.	3,175	0,03175	1,04280166	30		34	1,02	3333
	VÁLVULA CHECK	HIERRO						0,0		0,1884
	VALVOLA CILECK	FUNDIDO	3,175	0,03175	1,04280166	100		34	3,4	4445

MANUA DE CLODO	HIERRO					0,0		0,6407
VÁLVULA DE GLOBO	FUNDIDO	3,175	0,03175	1,04280166	340	34	11,56	1112
CODO ESTÁNDAR 90°						0,0		0,0565
CODO ESTANDAR 90	H.G.	3,175	0,03175	1,04280166	30	34	1,02	3333
NUDO						0,0		0,0113
NODO	H.G.	3,175	0,03175	1,04280166	6	34	0,204	0667
CODO ESTÁNDAR 45°						0,0		0,0301
CODO ESTANDAR 43	H.G.	3,175	0,03175	1,04280166	16	34	0,544	5111
CODO ESTÁNDAR 90°						0,0		0,0565
CODO ESTANDAR 90	H.G.	3,175	0,03175	1,04280166	30	34	1,02	3333
TEE						0,0		0,0376
1 DD	H.G.	3,175	0,03175	1,04280166	20	34	0,68	8889
TEE						0,0		0,0376
1 LL	H.G.	3,175	0,03175	1,04280166	20	34	0,68	8889
TEE						0,0		0,0376
1 LL	H.G.	3,175	0,03175	1,04280166	20	34	0,68	8889
TEE						0,0		0,0376
1 DD	H.G.	3,175	0,03175	1,04280166	20	34	0,68	8889
TEE						0,0		0,0376
1 DD	H.G.	3,175	0,03175	1,04280166	20	34	0,68	8889
TEE						0,0		0,0376
122	H.G.	3,175	0,03175	1,04280166	20	34	0,68	8889
TEE						0,0		0,0376
1 EE	H.G.	3,175	0,03175	1,04280166	20	34	0,68	8889
CODO ESTÁNDAR DE						0,0		0,0083
90°	H.G.	5,08	0,0508	0,407344398	30	33	0,99	7259
VÁLVULA DE	HIERRO					0,0		0,0022
COMPUERTA	FUNDIDO	5,08	0,0508	0,407344398	8	33	0,264	3269
NUDO	H.G	5,08	0,0508	0,407344398	6	0,0	0,198	0,0016

						33	3	7452
TEE						0,0	)	0,0055
I EE	H.G	5,08	0,0508	0,407344398	20	33	0,66	8172
TEE						0,0	)	0,0055
122	H.G.	5,08	0,0508	0,407344398	20	33	0,66	8172
NUDO						0,0		0,0016
	H.G.	5,08	0,0508	0,407344398	6	33	-, -	7452
VÁLVULA DE	HIERRO					0,0		0,0022
COMPUERTA	FUNDIDO	5,08	0,0508	0,407344398	8	33	0,264	3269
CODO ESTÁNDAR DE						0,0	)	0,0083
90°	H.G	5,08	0,0508	0,407344398	30	33	0,99	7259
TEE						0,0	)	0,0376
	H.G.	3,175	0,03175	1,04280166	20	34	0,68	8889
TEE						0,0	)	0,0376
	H.G.	3,175	0,03175	1,04280166	20	34	0,68	8889
TEE						0,0	)	0,0376
	H.G.	3,175	0,03175	1,04280166	20	34	· ·	8889
TEE						0,0	)	0,0376
	H.G.	3,175	0,03175	1,04280166	20	34	0,68	8889
CODO ESTÁNDAR DE						0,0	)	0,1014
90°	H.G.	2,54	0,0254	1,6293776	30	25	,	8591
VÁLVULA DE BOLA						0,0	)	0,5074
, in the second second	H.G.	2,54	0,0254	1,6293776	150	2:	3,75	2954

2,7962

Anexo 7: Guía para prácticas experimentales.

# UNIDAD DE PÉRDIDAS DE PRESIÓN

#### TEMA:

• Pérdidas de carga totales

#### **OBJETIVO GENERAL:**

 Determinar las pérdidas por fricción y pérdidas por accesorios de un tramo determinado.

#### **MATERIALES:**

- Cronómetro
- Cubeta aforada o probeta

#### **PROCEDIMIENTO**

# Pérdidas de cargas por fricción (hf)

- Establecer el material y diámetro de tubería del tramo, en el caso que existan dos o más tramos diferentes ya sea en diámetro o material se calcula su valor independiente.
- 2. Determinar la longitud de cada tramo.
- 3. Mediante la ecuación de continuidad obtenemos la velocidad del fluido.
- 4. Determinar el número de Reynolds, previamente obtener la viscosidad cinemática del agua para las condiciones a las que se realiza la práctica.
- 5. Calcular la rugosidad relativa ( $\epsilon$ /Di). Previamente obtener la rugosidad absoluta  $\epsilon$  (tabla 2).
- 6. Mediante el diagrama de Moody (anexo 1) obtenemos el coeficiente de fricción f que va en función del N° de Reynolds y la rugosidad relativa.
- 7. Determinar las pérdidas de carga por fricción para el tramo establecido con la ecuación de Darcy-Weisbach.
- 8. Para obtener la pérdida de carga por fricción se realiza la sumatoria de cada pérdida por sección de tubería en el tramo escogido.
- 9. Si se desea obtener la pérdida de carga por fricción del sistema hidráulico se realizara la sumatoria de las pérdidas por fricción para cada tramo.

#### Pérdidas de cargas por accesorios

El procedimiento para calcular la pérdida de carga que causan los diferentes accesorios de un sistema es:

- Establecer el material y diámetro de tubería del tramo, en el caso que existan dos o más tramos diferentes ya sea en diámetro o material se calcula su valor independiente.
- 2. Mediante la ecuación de continuidad obtenemos la velocidad del fluido.
- 3. Con ayuda de la tabla 4 encontrar (Le/Di) para cada válvula o accesorio.
- 4. Para la tubería de cualquier material donde está unido el accesorio de análisis:
  - a. Calcular la rugosidad relativa (ε/Di) del tubo.
  - b. Mediante el diagrama de Moody (anexo 1) obtenemos el coeficiente de fricción f que va en función del N° de Reynolds y la rugosidad relativa.
- 5. Determinar el coeficiente de resistencia (K):

$$K = f_T$$
 (Le/Di).

6. Calcular pérdida de carga por accesorios:

$$hm = K \frac{\vec{V}^2}{2g}.$$

Una vez obtenidos todos estos cálculos se procede a determinar la pérdida total:

$$h = (hf + hm)$$

Además se calcula el diferencial de presión entre cada trayectoria:

$$\Delta P = P_2 - P_1 = L_b(\gamma_b - \gamma_a)$$

Siendo:

- $L_b$ = Longitud del diferencial observado en la columna de mercurio
- $\gamma_b$  = Peso específico de mercurio
- $\gamma_a$  = Peso específico del agua

Una vez obtenido el resultado en la columna, cerrar las válvulas de entrada de agua al diferencial para que se estabilice la medida.

Se puede comparar el resultado observando el diferencial en la columna de mercurio

$(L_b)$ que está en cm Hg.	
Fórmulas	
Ec. de continuidad	$A_1 \vec{V}_2 = A_2 \vec{V}_2$
Área	$A = \pi r^2$
N° Reynolds	$Re = rac{ec{V}_{prom} \ D}{\mu}$ $arepsilon_r = rac{arepsilon}{D}$
Rugosidad relativa	$\varepsilon_r = \frac{\varepsilon}{D}$
Ec. de Darcy-Weisbach para pérdidas de	$L = \int_{0}^{\infty} L \vec{V}^{2}$
carga por fricción	$hf = f \frac{L}{D} \frac{\vec{V}^2}{2g}$
Coeficiente de resistencia (K)	$K = f_T \left( \frac{Le}{Di} \right)$
Pérdida de carga por accesorios	$hm = K \frac{\vec{V}^2}{2g}$
Pérdida de carga total	h = (hf + hm)
Diferencial de presión	$\Delta P = L_m(\gamma_b - \gamma_a)$
Resultados	
Velocidad desconocida	$\vec{V}_2 = m/s$
Área	$A = m^2$
Rugosidad	$\varepsilon = mm$
Rugosidad relativa	$\frac{\varepsilon}{Di} = adimensional$
Coeficiente de resistencia	K = adimensional
Pérdida de carga por fricción	hf = m
Pérdida de carga por accesorios	hm = m
Pérdida de carga total	h = m
Diferencial de presión	$\Delta P = mm \ Hg$
Observaciones	1

# **Observaciones**

- Este procedimiento se realiza para cada tramo establecido o escogido, en caso que se realice sólo por tramo.
- > Si se requiere determinar la pérdida de carga por todo el sistema hidráulico se

suman los resultados de cada uno de los tramos evaluados.

Diríjase con los manuales de operación y mantenimiento para el desarrollo de las prácticas.

# UNIDAD MEDIDORA DE FLUJO

# **TEMA:**

• Tipo de flujo mediante Número de Reynolds

#### **OBJETIVO GENERAL:**

 Calcular el número de Reynolds para establecer el tipo de flujo que circula por la tubería.

# **MATERIALES:**

Cronómetro

#### **PROCEDIMIENTO**

- 1. Llenar el tanque de alimentación hasta el aforo volumétrico.
- 2. Abrir la válvula de compuerta totalmente para dar paso al flujo.
- 3. Cerrar la válvula de paso.
- 4. Encender la bomba (ON), comienza a recircular el flujo.
- 5. Llenar hasta el aforo determinado para calcular el caudal promedio Qm.
- 6. Apagar el equipo (OFF)
- 7. Cálculo del caudal promedio:
  - a. Colocar un tapón en cualquiera de los dos recipientes ya sea en el de 25 litros o en el de 12 litros, cuando la salida del equipo empiece a llenar el tanque inmediatamente tomar el tiempo de llenado hasta un aforo determinado. Repetir éste paso mínimo 5 veces para obtener un valor más real.
  - b. Usar la fórmula de caudal que relaciona Volumen/tiempo.
- 7. Calcular la velocidad del flujo  $\vec{V}$ 
  - a. Previo a esto necesitamos determinar el área de la sección transversal, ésta se calcula obteniendo el diámetro de salida de la descarga del equipo.
  - b. Una vez obtenida el área y caudal se puede usar la fórmula de  $\vec{V}$  para determinarla.
- 8. Calcular el N° Reynolds:
  - a. Para determinar el N° de Reynolds mediante la fórmula  $Re = \frac{\overline{V}_{prom}D}{\mu}$ ,

- es necesario tener el valor de la viscosidad cinemática del fluido con que se realiza la práctica en éste caso agua.
- b. Con ayuda de la tabla en el anexo 2 se busca la viscosidad dinámica y la densidad de acuerdo a la temperatura a la que se encuentra el agua, en caso de no visualizar el valor de temperatura deseado se realiza una interpolación.
- c. Para obtener el valor de la viscosidad cinemática se multiplica por la densidad del fluido.
- d. El diámetro usado en la fórmula es el de salida del equipo y el valor de la velocidad  $(\vec{V})$  se divide para  $2(\vec{V}_{prom})$ .
- e. Determinando todos estos datos se procede a reemplazar en la fórmula y si observa el valor: N° Reynolds menor a 2300 flujo laminar; mayor a 4000 flujo turbulento, zona de transición debe ser mayor a 2300 y menor a 4000.

$A = \pi r^2$				
$\vec{V} = \frac{Q}{A}$				
$ec{V}_{prom} = rac{ec{V}}{2}$				
$Re = \frac{\vec{V}_{prom} D}{\mu}$				
$y = \frac{(y_{2-}y_1)}{(x_{2-}x_1)}(x_{2-}x) + y_1$				
<u> </u>				
A=m <sup>2</sup>				
$\vec{V} = m/s$				
$\vec{V}_{prom} = m/s$				
Re = adimensional				

# Observaciones

Diríjase con los manuales de operación y mantenimiento para el desarrollo de las prácticas.

# UNIDAD MEDIDORA DE FLUJO

# **TEMA:**

• Velocidad del fluido de acuerdo al diámetro de reducción en el equipo.

#### **OBJETIVO GENERAL:**

Determinar la velocidad del fluido por cada diámetro de reducción interna (1"
 -3/4" - 1/2") que se encuentra en la unidad medidora de flujo.

#### **MATERIALES:**

Cronómetro

#### **PROCEDIMIENTO**

- 1. Llenar el tanque de alimentación hasta el aforo volumétrico.
- 2. Abrir la válvula de compuerta totalmente para dar paso al flujo.
- 3. Cerrar la válvula de paso.
- 4. Encender la bomba (ON), comienza a recircular el flujo.
- 5. Llenar hasta el aforo determinado para calcular el caudal promedio Qm.
- 6. Apagar el equipo (OFF)
- 7. Cálculo del caudal promedio:
  - a. Colocar un tapón en cualquiera de los dos recipientes ya sea en el de 25 litros o en el de 12 litros, cuando la salida del equipo empiece a llenar el tanque inmediatamente tomar el tiempo de llenado hasta un aforo determinado. Repetir éste paso mínimo 5 veces para obtener un valor más real.
  - b. Usar la fórmula de caudal que relaciona Volumen/tiempo.
- 8. Calcular la velocidad del flujo  $\overrightarrow{V_1}$ 
  - a. Previo a esto necesitamos determinar el área de la sección transversal, ésta se calcula obteniendo el diámetro de salida de la descarga del equipo.
  - b. Una vez obtenida el área y caudal se puede usar la fórmula de  $\overrightarrow{V_1}$  para determinarla.
- 9. Calcular la velocidad del flujo  $\overrightarrow{V_2}$ 
  - a. Se necesita el área de la sección transversal de la reducción interna del

equipo ya se 1 pulg – 2,54cm, <sup>3</sup>/<sub>4</sub> pulg. – 1,905cm y <sup>1</sup>/<sub>2</sub> pulg – 1,27cm.

b. Con ayuda de la ecuación de la continuidad  $A_1 \vec{V}_1 = A_2 \vec{V}_2$ , obtenemos  $\vec{V}_2$  despejando de la fórmula.

# Fórmulas

Caudal	$Q = \frac{volumen}{tiempo}$
Área	$A = \pi r^2$
Velocidad	$\vec{V} = \frac{Q}{A}$
Ecuación de la Continuidad	$A_1 \vec{V}_1 = A_2 \vec{V}_2$
Resultados	
Caudal	$Q = \frac{m^3}{s}$
Área	m <sup>2</sup>
Velocidad	$\vec{V} = \frac{m}{}$

# Observaciones

Diríjase con los manuales de operación y mantenimiento para el desarrollo de las prácticas.

S

## UNIDAD MEDIDORA DE FLUJO

## TEMA:

 Cálculo de las velocidades del fluido en las ubicaciones de los manómetros mediante la ecuación de Bernoulli.

## **OBJETIVO GENERAL:**

 Determinar la velocidad que posee el fluido en cada una de las ubicaciones de la unidad medidora de flujo mediante la ecuación de Bernoulli.

## **MATERIALES:**

Cronómetro

## **PROCEDIMIENTO**

- 1. Llenar el tanque de alimentación hasta el aforo volumétrico
- 2. Abrir la válvula de compuerta totalmente para dar paso al flujo.
- 3. Cerrar la válvula de paso.
- 4. Encender la bomba (ON), comienza a recircular el flujo.
- 5. Cálculo del caudal promedio:
  - a. Colocar un tapón en cualquiera de los dos recipientes ya sea en el de 25 litros o en el de 12 litros, cuando la salida del equipo empiece a llenar el tanque inmediatamente tomar el tiempo de llenado hasta un aforo determinado. Repetir éste paso mínimo 5 veces.
  - b. Usar la fórmula de caudal que relaciona Volumen/tiempo.
- 6. Calcular la velocidad del flujo  $\overrightarrow{V_1}$  utilizando el diámetro de la tubería en el cual se encuentre instalado el manómetro.
  - a. Previo a esto necesitamos determinar el área de la sección transversal de la tubería en cuestión.
  - b. Una vez obtenida el área y caudal se puede usar la fórmula de  $\overrightarrow{V_1}$  para determinarla.
- 7. Calcular la velocidad del flujo  $\overline{V_2}$  utilizando la ecuación de Bernoulli para lo cual:
  - a. Se considera el valor de la presión del fluido indicada en el manómetro.

- b. Se despeja el valor de  $\overline{V_2}$  de la ecuación de Bernoulli y se realizan los cálculos.
- 8. Se realizan los cálculos de las velocidades, en los puntos en los que se encuentren ubicados los manómetros

Fórmulac	Εń		lac
----------	----	--	-----

Caudal	$Q = \frac{volumen}{tiempo}$
Área	$A = \pi r^2$
Velocidad	$\vec{V} = \frac{Q}{A}$
Ecuación de Bernoulli	$P_1 + \frac{\overrightarrow{V_1}^2 \rho}{2} + z_1 = P_2 + \frac{\overrightarrow{V_2}^2 \rho}{2} + z_2$
Velocidad (Fórmula de Bernoulli)	$\vec{V}_2 = \sqrt{\frac{2\left(P_1 + \frac{\vec{V}_1^{*2}\rho}{2} - P_2\right)}{\rho}}$
Resultados	
Caudal	$Q = \frac{m^3}{s}$
Área	A=m <sup>2</sup>
Velocidad	$\vec{V} = \frac{m}{s}$

# Observaciones

Velocidad (Ecuación de Bernoulli)

Diríjase con los manuales de operación y mantenimiento para el desarrollo de las prácticas.

 $\vec{V}_2 = m/s$ 

## UNIDAD MEDIDORA DE FLUJO

## **TEMA:**

 Determinación de la velocidad de descarga (m/s) por medio de distintos diámetros – Ley de Torricelli

## **OBJETIVO GENERAL:**

• Establecer la velocidad de descarga y el caudal de los tanques contenedores con varios diámetros de salida (¾ pulg, ½ pulg).

## **MATERIALES:**

- Cronómetro
- Reducciones de ½ y ¾

## **PROCEDIMIENTO**

- 1. Llenar el tanque de alimentación hasta el aforo volumétrico.
- 2. Abrir la válvula de compuerta totalmente para dar paso al flujo.
- 3. Cerrar la válvula de paso.
- 4. Encender la bomba (ON), comienza a recircular el flujo.
- 5. Llenar hasta el aforo determinado para calcular el tiempo de descarga en cada contenedor:
  - a. Colocar un tapón en cualquiera de los dos recipientes ya sea en el de
     25 litros o en el de 12 litros, llenar hasta un aforo escogido.
- 6. Apagar el equipo (OFF).
- 7. Retirar el tapón y simultáneamente con ayuda de un cronómetro tomar el tiempo de descarga de volumen para determinar el caudal experimental.
- 8. Usar la fórmula de caudal (V/t) para determinar el volumen descargada por unidad de tiempo. Realizar mínimo 5 veces para obtener un promedio
- 9. Se realiza los pasos anteriores para cada división del contenedor cambiando los diámetros de salida de los mismos por ¾ y ½ pulgada.

Fó	rmul	las
T.O.	шш	us

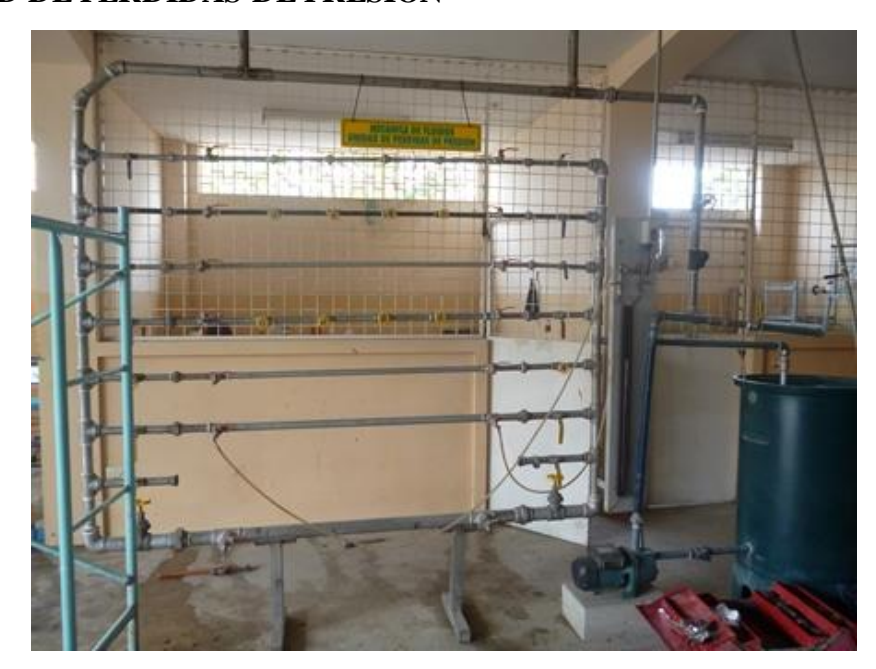
Caudal  $Q = \frac{volumen}{tiempo}$ 

Velocidad mediante el Teorema de Torricelli	$\sqrt{2.g.h}$
Área	$A = \pi r^2$
Resultados	
Caudal	$\frac{m^3}{s}$
Velocidad mediante el Teorema de	m/s
Torricelli	mys
Área	$m^2$
Observaciones	
Diríjase con los manuales de operación	y mantenimiento para el desarrollo de las

prácticas.

# **Anexo 8: Evidencias**

# UNIDAD DE PÉRDIDAS DE PRESIÓN



Unidad Pérdidas de Presión antes del rediseño



Revisión de trayectorias



Revisión Trayectoria 7



Corrosión interna de las trayectorias



Ajuste de accesorios



Revisión de válvulas toma muestras obstruidas



Revisión de válvulas toma muestras obstruidas



Revisión de válvulas toma muestras obstruidas



Fuga del nudo o unión



Lavado del tanque de alimentación



Toma de medidas para elaboración de diagrama y aforo



Riel donde estaba inicialmente el diferencial de presión



Parte posterior del diferencial de presión antes del rediseño



Parte posterior del diferencial de presión luego del rediseño



Accesorios para el diferencial de presión



Diferencial de presión luego del rediseño



Mercurio nuevo para el diferencial de presión





Diferencial de presión con mercurio luego del rediseño



Unidad de pérdidas de presión luego del rediseño



# UNIDAD MEDIDORA DE FLUJO



Unidad Medidora de Flujo antes del rediseño



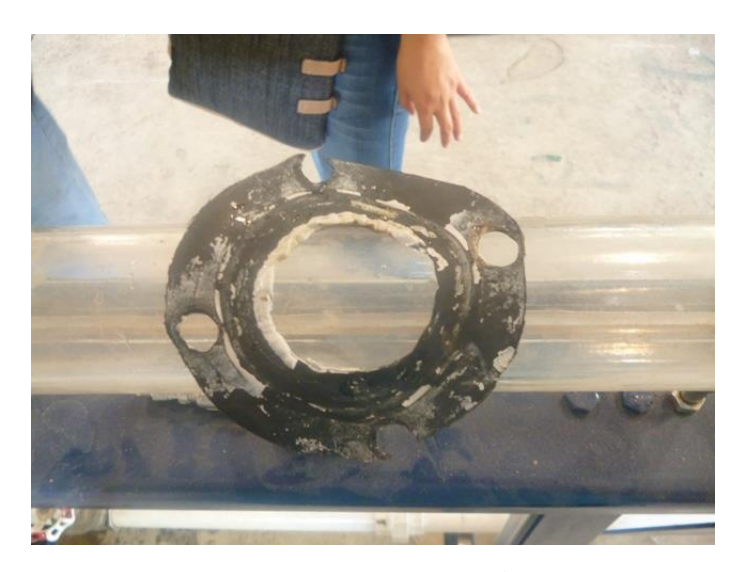
Unidad Medidora de Flujo antes del rediseño



Revisión de empaques y bridas



Revisión de empaques y bridas



Empaques antes del rediseño



Flujómetro instalado



Manómetros instalados



Realizando las prácticas



Realizando las prácticas



Aforando los contenedores



# **Anexo 9: Presupuesto**

TEMA DE TESIS PREVIO A LA OBTENCIÓN DEL TÍTULO DE INGENIERO QUÍMICO:

"REDISEÑO DE LOS SISTEMAS HIDRODINÁMICOS DIDÁCTICOS DEL LABORATORIO DE OPERACIONES UNITARIAS DE LA ESCUELA DE INGENIERÍA QUÍMICA, DE LA FACULTAD DE CIENCIAS MATEMÁTICAS, FÍSICAS Y QUÍMICAS, DE LA UNIVERSIDAD TÉCNICA DE MANABÍ"

ENTIDAD: UNIVERSIDAD TÉCNICA DE MANABÍ

POSTULANTES: Anchundia Anchundia Diego Alfredo, Mora Suárez Emilia

Nathaly

Ítem	Descripción	Precio Total
1	Compra de materiales	\$ 1925.20
2	Internet	\$ 70.00
3	Transporte	\$ 253.00
4	Alimentación	\$ 180.00
5	Sustentación	\$ 100.00
6	Impresión de Tesis	\$ 180.00
7	Imprevistos	\$ 85.00
	TOTAL	\$ 2793.20

Son: Dos mil setecientos noventa y tres 20/100 dólares.

Anchundia Anchundia Diego	Mora Suárez Emilia

# Anexo 10: Cronograma

#### CRONOGRAMA DE ACTIVIDADES REALIZADAS

"REDISEÑO DE LOS SISTEMAS HIDRODINÁMICOS DEDÁCTICOS DEL LABORATORIO DE OPERACIONES UNITARIAS DE LA ESCUELA DE INGENIERÍA QUÍMICA, DE LA FACULTAD DE CIENCIAS MATEMÁTICAS, FÍSICAS Y QUÍMICAS, DE LA UNIVERSIDAD TÉCNICA DE MANABÍ"

**ENTIDAD:** Universidad Técnica de Manabí

AUTORES: Anchundia Anchundia Diego Alfredo, Mora Suárez Emilia Nathaly

																	PL	ΑZ	0	EN	<b>\$</b> 1	EM.	AN	IA\$																
ÍTEM	ACTIVIDADE\$		Ju	mic	•		1	Juli	io		1	Ag	oșt	0	\$	ept	ie m	br	e	0	ctu	br	e	N	ovi	em	br	e	Di	icie	m	bre	9	Enero				Fel	bre	ro
		1	2	3	4	1	1 2	2	3	4	1	2	3	4	1	2	3		4	1	2	3	4	1	2	3	3	4	1	2	3		4	1 2	: 3	3 4	1 1	1	2	3
1	Recolección de Información																																							
2	Elaboración del Anteproyecto de Investigación																																							
3	Observar los sistemas hidrodinámicos existentes en el Laboratorio																																							
4	Diagnosticar el estado de los sistemas hidrodinámicos																																							
5	Presentación del primer avance																																							
6	Determinar las deficiencias existentes en los sistemas hidrodinámicos mediante prácticas experimentales																																							
7	Rediseño de los sistemas hidrodinámicos																																							

8	Instalación y adecuación de sistemas hidrodinámicos																	
9	Elaboración de diagramas e instructivos																	
10	Elaboración de los manuales de operación																	
11	Presentación del Segundo avance																	
12	Establecer prácticas experimentales aplicadas a sistemas hidrodinámicos																	
13	Aplicación de una práctica experimental para verificar del correcto funcionamiento de los equipos																	
14	Presentación del Tercer avance																	
15	Corrección del trabajo final de tesis																	
16	Solicitud de fecha para sustentación																	
17	Sustentación del tema de tesis																	